

172345

T.C.
SELÇUK ÜNİVERSİTESİ
FEN BİLİMLERİ ENSTİTÜSÜ

**LPG DÖNÜŞÜMÜ YAPILMIŞ BİR MOTORUN SOĞUKTA İLK
HAREKETİNİ KOLAYLAŞTIRICI SİSTEMİN
TASARIMI VE İMALATI**

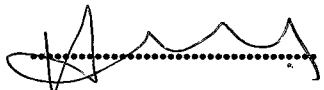
ÖZGÜR SOLMAZ

**YÜKSEK LİSANS TEZİ
MAKİNA EĞİTİMİ
(OTOMOTİV)
ANABİLİM DALI**

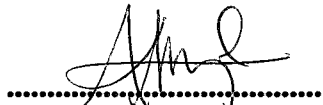
Bu tez 05.01.2006 tarihinde aşağıdaki jüri tarafından oybirliği / oyçokluğu ile
kabul edilmiştir



**Prof. Dr. Süleyman YALDIZ
(Üye)**



**Yrd. Doç. Dr. Hakan IŞIK
(Danışman)**



**Yrd Doç. Dr. Ali KAHRAMAN
(Üye)**

**YÜKSEK LİSANS TEZİ
(MAKİNA EĞİTİMİ BÖLÜMÜ)**

028262012001

Özgür SOLMAZ

Danışman: Yrd. Doç. Dr. Hakan IŞIK

ÖZET
Yüksek Lisans Tezi

**LPG DÖNÜŞÜMÜ YAPILMIŞ BİR MOTORUN SOĞUKTA İLK
HAREKETİNİ KOLAYLAŞTIRICI SİSTEMİN
TASARIMI VE İMALATI**

Özgür SOLMAZ
Selçuk Üniversitesi
Fen Bilimleri Enstitüsü
Makine Eğitimi
(Otomotiv)
Anabilim Dah

Danışman : Yrd. Doç. Dr. Hakan IŞIK

2005, 85 Sayfa

Jüri:
Prof. Dr. Süleyman YALDIZ

Yrd. Doç. Dr. Hakan IŞIK

Yrd. Doç. Dr. Ali KAHRAMAN

Bu çalışmada LPG dönüşümü yapılmış bir motorun soğukta ilk hareketini kolaylaştırıcı sistemin tasarımı ve imalatı yapılmıştır. Deneylerde LPG'yi yakıt olarak kullanan taşıtların soğukta ilk hareketini kolaylaştırmak için geliştirilen ısıtma sisteminin performansı araştırılmış ve LPG sisteminde dolaşan motor soğutma suyu ve LPG'nin sıcaklıklarındaki değişimler izlenilmiştir ve değerlendirilmiştir. Bu amaçla, 4 silindirli su soğutmalı bir benzinli motor LPG yakıtı ile çalışabilecek şekilde modifiye edilmiştir. Çalışmada farklı çevre sıcaklıklarında ve ısıtma sistemi devrede / devrede değil iken olmak üzere toplam 25 adet deney yapılmıştır.

Elde edilen sonuçlara göre, tasarlanan ısıtma sistemi devrede değil iken 0 °C'nin altındaki çevre sıcaklıklarında motorun LPG ile ilk harekete geçmediği görülmüştür. Fakat ısıtma sistemi devrede olduğunda, sıcaklık kontrol cihazının ayarı 50 °C'ye ayarlı olduğunda ve çevre sıcaklığı -10 °C olduğu durumda motorun 5 sn'lik süre sonunda ilk harekete geçtiği gözlenmiştir.

Anahtar Kelimeler: LPG, soğukta ilk hareket, motor soğutma suyu sıcaklığı.

ABSTRACT
Master Thesis

**DESIGN AND CONSTRUCTION OF A SYSTEM
TO EASE THE START OF A LPG TRANSFORMED ENGINE IN COLD
WEATHER CONDITIONS.**

Özgür SOLMAZ
Selcuk University

**Graduate School of Natural and Applied Sciences Department of Machinery
Education**

Supervisor : Assoc. Prof. Dr. Hakan IŞIK

2005, 85 Pages

Jury
Prof. Dr. Süleyman YALDIZ

Assoc. Prof. Dr. Hakan IŞIK

Assoc. Prof. Dr. Ali KAHRAMAN

In this study, a system to ease the start of a LPG transformed engine in cold weather conditions is designed and produced. Performance of heating system developed to ease the cold start for the vehicles with engines using LPG is observed, temperature changes of engine cooling fluid flowing through LPG system and LPG is monitored and evaluated experimentally. For this purpose, 4 cylinder water cooled gasoline engine is modified to work with LPG fuel. In this study, 25 experiments are conducted while heating system is on/off, and with different environment temperatures.

According to experiment results it is observed that when designed heating system is off, engine also does not start with LPG at temperature levels below 0 °C. On the other hand, when heating system is on, control device is adjusted to 50 °C and environment temperature is -10 °C, the engine start is observed after 5 seconds.

Key Words: LPG, cold weather start, temperature of engine cooling.

ÖNSÖZ

LPG'nin ucuz olmasından ve ülkemizdeki ekonomik durumdan dolayı bir çok benzinle çalışan taşit LPG yakıt sistemi ile modifiye edilmiştir. Birinci kuşak LPG yakıt sistemi ile modifiye edilmiş taşıtların kış aylarında ilk harekete geçirilmesi oldukça zor olmakta ve motorun ilk harekete geçirilmesinden sonraki ilk 5-10 dakika sürücülere zor anlar yaşatmaktadır. Birinci kuşak LPG yakıt sistemi ile modifiye edilmiş taşıtların bu dezavantajının giderilmesi amacıyla geliştirilen ısıtma sisteminin deneyleri sonucunda bu problemin giderildiği görülmüştür.

Çalışmalarım sırasında büyük desteğini gördüğüm danışmanım Yrd. Doç. Dr. Hakan IŞIK'a, deneysel çalışmalarımın her aşamasında bilimsel desteğini esirgemeyen Selçuk Üniversitesi Teknik Eğitim Fakültesi Öğretim Üyesi Prof. Dr. Faruk ÜNSAÇAR'a ve Selçuk Üniversitesi Teknik Eğitim Fakültesi Öğretim Elemanı Öğr. Gör. Recai KUŞ'a, deneysel çalışmalarım sırasında yardımlarından dolayı S.Ü.T.E.F. Otomotiv Anabilim Dalı Arş. Gör. Gürol UÇAR'a, deneyleşimde kullandığım malzemenin temini için gerekli maddi desteği veren Selçuk Üniversitesi Bilimsel Araştırma Projeleri Birimi'ne, çalışmalarım sırasında manevi desteğini hiçbir zaman esirgemeyen değerli eşim Aynur SOLMAZ'a ve Selçuk Üniversitesi Teknik Eğitim Fakültesi'ndeki mesai arkadaşlarına teşekkür ederim.

Konya, 2005

Özgür SOLMAZ

İÇİNDEKİLER

| | |
|--|-------------|
| ÖZET | i |
| ABSTRACT | ii |
| ÖNSÖZ | iii |
| İÇİNDEKİLER | iv |
| ŞEKİL LİSTESİ | vi |
| ÇİZELGE LİSTESİ | viii |
| KISALTMALAR ve SEMBOLLER LİSTESİ | ix |
| 1. GİRİŞ | 1 |
| 2. KAYNAK ARAŞTIRMASI | 4 |
| 3. SIVILAŞTIRILMIŞ PETROL GAZI (LPG) | 9 |
| 3.1. LPG'nin Çeşitleri | 10 |
| 3.2. LPG'nin Temel Özellikleri | 11 |
| 4. MOTORLU TAŞITLARDA KULLANILAN LPG SİSTEMLERİ | 15 |
| 4.1. Sistemin Elemanları | 15 |
| 4.2. LPG Sistemleri | 16 |
| 4.2.1. Birinci Nesil LPG Sistemleri | 16 |
| 4.2.2. İkinci Nesil LPG Sistemleri | 18 |
| 4.2.3. Üçüncü Nesil LPG Sistemleri | 19 |
| 5. LPG BUHARLAŞTIRICISI (Regülatör) | 20 |
| 6. MATERİYAL ve METOT | 23 |
| 6.1. Materyal | 23 |
| 6.1.1. Deney Motoru Teknik Özellikleri | 24 |
| 6.1.2. Deney Tesisatı | 24 |
| 6.1.3. Tasarlanan Isıtıcı Sistemi | 26 |
| 6.2. Deneylerde Kullanılan Ölçü Aletleri | 29 |
| 6.2.1. K/J Termometre | 29 |
| 6.2.2. Manometre | 30 |
| 6.2.3. LPG Terazisi | 30 |
| 6.3. Metot | 30 |
| 6.3.1. Regülatörün Isı Geçişi Hesabı | 31 |

| | |
|------------------------------------|----|
| 7. ARAŞTIRMA SONUCLARI ve TARTIŞMA | 34 |
| 8. TASARLANAN ISITMA SİSTEMİ | 54 |
| 9. SONUÇ ve ÖNERİLER | 55 |
| 10. KAYNAKLAR | 57 |
| EKLER | 60 |

ŞEKİL LİSTESİ

| Şekil No | Sayfa No |
|--|----------|
| Şekil 3. 1: Propan ve bütanın kimyasal yapısı | 11 |
| Şekil 3.2: Sıcaklığa göre değişen propan ve bütan karışım eğrisi | 13 |
| Şekil 3.3: LPG'nin çiyleşme eğrileri | 14 |
| Şekil 4.1: LPG yakıt sisteminin araçtaki yerleşimi..... | 16 |
| Şekil 4.2: Birinci nesil LPG dönüşüm sisteminin şematik gösterimi | 17 |
| Şekil 4.3: İkinci nesil LPG dönüşüm sisteminin şematik gösterimi | 18 |
| Şekil 4.4: Üçüncü nesil LPG dönüşüm sisteminin şematik gösterimi | 19 |
| Şekil 5.1: Basınç regülatörünün kesit görünüşü..... | 21 |
| Şekil 6.1: Klima odasının genel görünüşü | 23 |
| Şekil 6.2: Deney tesisatının şematik resmi | 25 |
| Şekil 6.3: Deney tesisatının genel görünüşü | 26 |
| Şekil 6.4.: Tasarlanan ısıtma plakası imalat resmi | 27 |
| Şekil 6.5: Isıtıcı modülün genel görünüşü | 27 |
| Şekil 7.1: 8,5 °C çevre sıcaklığında ısıtma sistemi kapalı iken yapılan deney eğrileri | 34 |
| Şekil 7.2: 6,5 °C çevre sıcaklığında ısıtma sistemi devrede iken yapılan deney eğrileri | 35 |
| Şekil 7.3: 8 °C çevre sıcaklığında ısıtma sistemi devrede iken yapılan deney eğrileri | 36 |
| Şekil 7.4: 10 °C çevre sıcaklığında ısıtma sistemi devrede iken yapılan deney eğrileri | 37 |
| Şekil 7.5: 10 °C çevre sıcaklığında ısıtma sistemi devrede değil iken yapılan deney eğrileri | 38 |
| Şekil 7.6: 5 °C çevre sıcaklığında ısıtma sistemi devrede iken yapılan deney eğrileri | 39 |
| Şekil 7.7: 5 °C çevre sıcaklığında ısıtma sistemi devrede değil iken yapılan deney eğrileri | 39 |
| Şekil 7.8: 0 °C çevre sıcaklığında ısıtma sistemi devrede iken yapılan | |

| | |
|---|----|
| deney eğrileri | 40 |
| Şekil 7.9: 0 °C çevre sıcaklığında ısıtma sistemi devrede değil iken yapılan deney eğrileri | 41 |
| Şekil 7.10: -5 °C çevre sıcaklığında ısıtma sistemi devrede iken yapılan deney eğrileri | 42 |
| Şekil 7.11: -5 °C çevre sıcaklığında ısıtma sistemi devrede değil iken yapılan deney eğrileri | 42 |
| Şekil 7.12: -10 °C çevre sıcaklığında ısıtma sistemi devrede iken yapılan deney eğrileri | 43 |
| Şekil 7.13: -10 °C çevre sıcaklığında ısıtma sistemi devrede değil iken yapılan deney eğrileri | 43 |
| Şekil 7.14: -5,3 °C çevre sıcaklığında ısıtma sistemi devrede değil iken yapılan deney eğrileri | 45 |
| Şekil 7.15: -3,5 °C çevre sıcaklığında ısıtma sistemi devrede değil iken yapılan deney eğrileri | 46 |
| Şekil 7.16: -2 °C çevre sıcaklığında ısıtma sistemi devrede değil iken yapılan deney eğrileri | 46 |
| Şekil 7.17: -2,3 °C çevre sıcaklığında ısıtma sistemi devrede iken yapılan deney eğrileri | 47 |
| Şekil 7.18: -6 °C çevre sıcaklığında ısıtma sistemi devrede iken yapılan deney eğrileri | 48 |
| Şekil 7.19: -12 °C çevre sıcaklığında sıcaklık kontrol cihazı 30 °C'ye ayarlı iken yapılan deney eğrileri..... | 49 |
| Şekil 7.20: -5,8 °C çevre sıcaklığında sıcaklık kontrol cihazı 40 °C'ye ayarlı iken yapılan deney eğrileri..... | 50 |
| Şekil 7.21: -8,8 °C çevre sıcaklığında sıcaklık kontrol cihazı 50 °C'ye ayarlı iken yapılan deney eğrileri..... | 51 |
| Şekil 7.22: -10,1 °C çevre sıcaklığında sıcaklık kontrol cihazı 50 °C'ye ayarlı iken yapılan deney eğrileri..... | 52 |
| Şekil 7.23: -11,1 °C çevre sıcaklığında sıcaklık kontrol cihazı 50 °C'ye ayarlı iken yapılan deney eğrileri..... | 53 |
| Şekil 8.1: Tasarlanan ısıtma sisteminin şematik görünüşü | 54 |

ÇİZELGE LİSTESİ

| Çizelge No | Sayfa No |
|---|-----------------|
| Çizelge 3.1: LPG çeşitlerinin özellikleri | 11 |
| Çizelge 3.2: Propan ve bütanın fiziksel ve kimyasal özellikleri | 12 |
| Çizelge 3.3: Avrupa ülkelerindeki yaz ve kış aylarında LPG içerisindeki propan ve bütanın oranları | 13 |
| Çizelge 6.1: Deney motoru teknik özellikleri | 24 |
| Çizelge 6.2: Isıtıcı elemanın teknik özellikleri | 28 |
| Çizelge 6.3: Sıcaklık kontrol cihazının teknik özellikleri | 28 |
| Çizelge 6.4: K/J Termometre teknik özellikleri | 29 |
| Çizelge 6.5: -5.8°C çevre sıcaklığında sıcaklık kontrol cihazı 40°C ' ye ayarlı iken yapılan deney sonuçlarına göre hesaplanan Q_{su} , Q_{LPG} ve $Q_{\text{kayıplar}}$ | 33 |

KISALTMALAR VE SİMGELER

Kısaltmalar:

| | |
|-----------------|-------------------------------|
| LPG | : Sıvılaştırılmış petrol gazı |
| LNG | : Sıvılaştırılmış doğalgaz |
| CNG | : Sıkıştırılmış doğalgaz |
| NO _x | : Azot oksitler |
| HFK | : Hava fazlalık katsayısı |
| EKÜ | : Elektronik kontrol ünitesi |

Simgeler:

| | |
|----------------|-------------------------|
| Q | : Isı (kcal) |
| m | : Kütle (kg) |
| C _p | : Özgül ısı (kcal/kg.K) |
| ΔT | : Sıcaklık farkı (K) |
| T | : Sıcaklık (°C) |

1. GİRİŞ

Sınırlı olan petrol kaynaklarının yakın gelecekte buji ile ateşlemeli motorların yakīt gereksinimini karşılayamayacağı tahmin edilmektedir. Ayrıca motorlar, şehirlerdeki hava kirliliğinin de en önemli kaynağıdır [Bayraktar ve Durgun 2004].

Günümüzde şehirlerin artan hava kirliliği, tüm gelişmiş ülkelerin önemli sorunlarından birisi durumuna gelmiştir. Bu kirlenmede, şehir içi ulaşımında kullanılan taşıtların çıkardıkları zararlı egzoz emisyonlarının önemli bir payı bulunmaktadır. LPG, karışımın oluşturulması, dağıtım ve yanma kontrolü kolay olan ideal bir yakıt olarak bilinir. LPG, karmaşık ve pahalı ekipmanlar gerektirmeksizin oldukça temiz yanın bir yakıttır [Schoenmaker 1996].

Artan hava kirliliği nedeniyle birçok ülkede özellikle şehir içi ulaşımında LPG bugün için en çok tercih edilen alternatif yakıt durumundadır. Ülkemizde de özellikle büyük kentlerde hava kirliliği artmakta yaz aylarındaki hava kirliliğinin yaklaşık %55'i motorlu araçlardan kaynaklanmaktadır [İçingür ve ark. 1998, Ayhaner 1995]. Kısa vadede alternatif yakıtlar olarak; LPG, Alkoller ve CNG, 2010 yılı sonrası için; hidrojen, biyokütle, yakıt hücresi gibi yakıtlar gündemeđedir [Çelik ve Akay 2000, Polat 1999].

ABD'de ilk aracın 1913 yılında LPG ile çalıştığı, 1920'li yıllarda aynı ülkede LPG'nin evsel kullanımda yayıldığı bilinmektedir. Ülkemizde LPG 1990'lı yıllarda alternatif bir motor yakıtı olarak kullanılmıştır [Aktay 2002, Çelik ve Akay 2000].

Gaz yakıtlar yoğunluklarının düşük olması nedeniyle sıkıştırılarak sıvı halde depolanabilmektedir. Bu özelliklerinden dolayı motorlu taşıtlarda alternatif yakıt olarak tercih edilmektedir [Salman ve ark. 1998].

İçten yanmalı motorlarda benzin, motorin gibi geleneksel yakıtlar kullanılmaktadır. Motorlarda kullanılan alternatif yakıtlar ise şu şekilde sınıflandırılmaktadır;

- Sıvılaştırılmış petrol gazı (LPG),
- Sıvılaştırılmış doğalgaz (LNG),
- Sıkıştırılmış doğalgaz (CNG),
- Alkol içeren yakıtlar (Metanol (metil alkol), etanol (etil alkol) ve diğer alkollerin saf veya %70'den az olmayan karışımıları),
- Hidrojen,
- Elektrik,
- Biyolojik maddelerden üretilen alkol olmayan yakıtlar: soya yağı, ayçiçek yağı, diğer bitkisel yağ esaslı yakıtlar.

Alternatif yakıtlarda önemli olan enerji güvenliği ve hava kalitesidir. Ülkemizde en yaygın olarak kullanılan alternatif yakıt sıvılaştırılmış petrol gazı (LPG)'dır [Dinler ve Yücel 2002].

Bu çalışmada, buji ile ateşlemeli birinci kuşak LPG sistemi ile çalışan bir motorda, düşük çevre sıcaklığında motorun ilk çalışma esnasında oluşan çalışma zorluğunun giderilmesi amaçlanmıştır. Bu amaçla, LPG sistemine ek bir kit geliştirilmiştir. Deneyler esnasında sistemden gerekli sıcaklık ve basınç ölçümünün alınabilmesi için bir masa üzerine monte edilmiştir. Masa üzerinde oluşturulan sistem Murat 124 marka otomobile monte edilmiştir. Taşının motor soğutma suyu ve motor yağı değiştirilerek sistemin çalıştırılması sağlanmıştır. Çevre sıcaklığı şartlarında kurulan sistemde deneyler yapılmıştır. Deneylerde, motorun ilk çalışma esnasından, çalışma rejimine kadar geçen süre içerisindeki (yaklaşık olarak 25-30 dakika) sabit röllanti devrinde ve farklı çevre sıcaklıklarında kitin giriş ve çıkış sıcaklıkları, regülatörün giriş ve çıkış sıcaklıkları ve motor soğutma suyunun giriş ve çıkış sıcaklıkları incelenmiştir. Çevre sıcaklığının 0 °C'nin altına düşmemesinden dolayı, motor ve LPG sistemi gerekli olan düşük hava şartlarının oluşturulabilmesi için bir klima odasına yerleştirilmiştir. Klima odasında -10 °C, -5 °C, 0 °C, 5°C ve 10 °C

çevre sıcaklıklarında deneyler tekrarlanmıştır. Bu deneylerde ölçülen sıcaklık değerlerinin yanında ayrıca ısıtma sistemi devrede iken ve devrede değil iken yapılan deneylerde motorun marş a basılma süreleri ölçülmüştür. Yapılan deneyler sonucunda, geliştirilen ısıtma sisteminin sıcaklık kontrol cihazının 20 °C olarak ayarlanması durumunda 0°C, 5°C, 10°C çevre sıcaklıklarında motorun ilk harekete geçmesini kolaylaştırdığı, 0 °C'nin altındaki çevre sıcaklıklarında motorun LPG ile ilk harekete geçmediği görülmüştür. Deneylere sıcaklık kontrol cihazının ayarının 30 °C'ye, 40 °C'ye ve 50 °C'ye arttırılması ile devam edilmiştir. -10 °C çevre sıcaklığında yapılan deneylerde sıcaklık kontrol cihazı 50 °C'ye ayarlı olduğu durumda motorun 5 sn gibi kısa bir sürede ilk harekete geçtiği 30 °C ve 40 °C sıcaklıklarda bu sürenin biraz daha fazla olduğu gözlenmiştir.

2. KAYNAK ARAŞTIRMASI

Selim (2005), çift yakıtlı motorlarda gaz yakıtı tipinin motor parametreleri üzerine etkisini incelemiştir. Çalışmalarında doğal emişli, dört zamanlı, Ricardo E6 motoru kullanmıştır. Bu motorun yakıtı olarak dizel + LPG veya dizel + metan kullanılmıştır. Deneyler sonucunda bulunan motor parametreleri gaz yakıtının tipi, sıkıştırma oranı, motor yükü, yakıt püskürme avansı, püskürtülen yakıtın kütlesi ve motor hızıdır. Her bir çalışma şartlarındaki veriler verilen maksimum basınç artış oranında, yanma gürültüsünde, ortalama basınç analiz edilmiştir. Sonuç olarak, gaz yakıtının tipinin motorun çalışmasının ve tasarım parametrelerinin yanma gürültüsünü etkilediğini bulmuşlardır.

Weilenmann ve arkadaşları (2005), dizel ve benzin motorunun farklı sıcaklıklarda soğuk çalışma emisyonlarını incelemiştir. $+23^{\circ}\text{C}$, -7°C ve -20°C sıcaklıkta şasi dinamometresi testleri yapmışlardır. Sonuçta soğuk çalışma esnasındaki ekstra emisyonların sürüsü şartlarına bağlı olduklarını bulmuşlardır. Deneylerde Euro-1, Euro-2, Euro-3 standartlarına uyan yakıtları kullanmışlar ve bunların sonuçlarını mukayese etmişlerdir.

Price ve arkadaşları (2004), bir LPG evaporatörünün (regülatör) termodinamik performansını Ford Focus marka taşıtáta değişik motor çalışma aralıklarında hesaplamışlardır. Testler iki farklı çalışma sıcaklığında gerçekleştirilmiştir. Bununla birlikte benzinden gaza geçiş sıcaklıklarını incelemiştir. Maksimum motor çıkış gücünü elde etmek için yaklaşık olarak 300 kW'lık termik enerjiye ihtiyaç duyulmaktadır. Aynı zamanda LPG bileşiminin motor performansı üzerine etkisini de çalışmışlar ve benzer ısıl değerlere sahip minimal yakıt bileşimlerini bulmuşlardır. Evaporatörün girişindeki ve çıkışındaki motor soğutma suyu sıcaklığını da tartışmışlardır. Çünkü motor soğutma suyu sıcaklıkları arasındaki fark, evaporatör içindeki LPG'ye transfer edilen ısıl enerjinin miktarının hesaplanması için gereklidir. Maksimum güçte enerji dengesinde kullanılan ΔT 'yi 6 K bulmuşlardır.

Yoong ve Watkins (2004), LPG bileşiminin fiziksel ve kimyasal özelliklerini, ani buharlaşma modelinin gelişimini ve yanmanın laminer alevlenme modeli uygulamasını yapmışlardır. Sprey yanmasının simülasyonu için denk oranlarda karışım ele alınarak gerçekleştirilmiştir. Aynı zamanda oldukları 3 model için çözüm prosedürlerini ortaya koymuşlar ve geliştirilen modeli test etmişlerdir. Buharlaşmalı ve buharlaşmasız LPG spreyleri çok sayıda simülasyon yapmak suretiyle test edilmiştir. Ani parlaması LPG spreyleri de iyi simüle edebilmek için gösterilmiştir.

Demirbaş (2002), taşımacılıkta alternatif yakıt olarak kullanılan doğalgaz, LPG ve hidrojenin yakıt özelliklerini çalışmıştır. Daha az karbonlu olan LPG daha temiz yandığından yağ kirliliğinin ve motor aşıntısının azaldığını, bazı segment ve yatakların ömrünü uzattığını tespit etmişlerdir. Aynı zamanda yüksek oktanlı LPG motor vuruntusundan kaynaklanan aşınmayı da minimize etmektedir.

Dinler ve Yücel (2002), yaptıkları çalışmalarında, 2 farklı motor kullanılarak LPG'nin egzoz emisyonuna olan etkilerini deneyel olarak incelemiştir. Deneylerde silindir hacimleri farklı iki benzinli motor kullanılarak LPG için emisyon deneyleri yapılmıştır. Motorların her ikisine de aynı marka LPG dönüşüm kiti monte edilmiştir. Emisyon deneyleri 40 dev/sn sabit motor hızında motor yükü %0 (yüküz), %100 (tam yük) arasında %20 değiştirilerek yapılmıştır. Her iki motor önce benzin ile çalıştırılmış daha sonra LPG ile çalıştırılarak emisyon deneyleri yapılmıştır. Deney sonuçları grafikler halinde sunulmuştur. Sonuçta, gerek benzin ile gerekse LPG ile çalışmada egzoz emisyonları hava fazlalık katsayısına bağlı olarak değişim gösterdiğini bulmuşlardır.

Soruşbay (2002), yaptığı çalışmasında, benzin motorlu taşıtların LPG kullanımına dönüşümünü standartlarda tanımlanan kirletici egzoz gazları emisyonları ve karbondioksit emisyonu açısından değerlendirilmiştir. Kyoto Protokolü çerçevesinde, karayolu taşıtlarından kaynaklanan sera gazlarının

kontrolünde LPG uygulamalarının kısa dönemdeki önemi vurgulanmıştır. LPG yakıt ekonomisi ve fiyat politikaları bakımından ayrıca değerlendirilmiştir.

Yamin ve Badran (2002), özellikle genişleme prosesinde motorun ısı kaybını azaltmak için çalışma yapmışlardır. Çalışmalarında benzinli motorlarda yakıt olarak, benzine alternatif olacak birçok alternatif yakıt arasından LPG'yi kullanmışlardır. Karışım oranı, sıkıştırma oranı, bujinin yeri ve farklı hızlardaki yanma süresinin ısı kayipları üzerine etkisini incelemiştir.

Chen ve arkadaşları (2001), bir dizel motorda yakıt olarak LPG' nin homojen ön karışımı üzerine çalışmışlardır. Bu çalışmalarında yanmayı ve tutuşmayı kontrol etmek için az miktardaki dimetil esteri LPG'nin içine karıştırmışlardır. Yanma üzerine yapılan deneysel ve analitiksel çalışmalarla, motor performansı ve egzoz karakteristiklerinin deneyleri yapılmıştır. Bu deneylerde, dizel motorlarında kullanılan LPG'nin problemleri ve kullanım imkanları incelenmiştir. Sonuçta, motorun geniş bir yük aralığında yüksek bir verimle çalışabileceği ve NO_x emisyonunun azaltılabileceği gösterilmiştir.

Emen (2000), yaptığı yüksek lisans çalışmasında 1994 model Lada Samara marka aracı şasi dinamometresinde değişik devir kademelerinde teste tabi tutmuştur. Kararlı rejimde önce benzinli daha sonra LPG'li sistem aynı şartlar oluşturularak 70 km/h ve 90 km/h hız kademelerinde motorun gücünü ve yakıt sarfiyatını belirlemek için deneyler yapmıştır. Sonuçta LPG'li motorun gücünde, benzinli motora göre düşme görüldüğünü ve LPG'li motorun yakıt tüketiminin benzin ve dizel motorlara oranla daha düşük çıktığını belirtmiştir.

Yücel ve Dinler (2000), 6° ateşleme avansı değerinde LPG'nin ve katalitik konvertörün motor performansı ve egzoz emisyonlarına olan etkisini incelemiştir. Sonuçlar kurşunsuz benzinle yapılan deneylerinin sonuçlarıyla karşılaştırmışlardır. motor performans parametreleri; motor torku, mil gücü, mil özgül yakıt tüketiminin değişimlerini grafikler şeklinde vermişlerdir. LPG ile yapılan deneylerde motor mil veriminin daha yüksek olduğu bulunmuştur.

Vasiliev ve arkadaşları (1999), son derece önemli bir problem olarak içten yanmalı motorlarda mars durumunda ön ısıtma için ısı depolama cihazının gelişimi üzerine çalışmışlardır. Çalışmalarında ısı depolama maddesinin katı sıvı faz değişiminde ısı enerjisinin alışverişinin etkileri üzerine çalışan termal akümülatör tartışılmıştır. Çalışmaların deneysel kısmında, ısı depolama cihazı için simülasyon şartları, laboratuvar kurulumu tartışılmış ve laboratuvar deneylerinin sonuçları verilmiştir. Toplanan verilerin bir analizi ve karbüratörlü bir motor için ön ısıtma cihazının tam skala testlerini vermişlerdir. Sonuçta teorik sonuçları karşılaştırmak için bir deney seti tasarlamışlardır.

Salman ve arkadaşları (1998), yaptıkları çalışmada, sivilaşırılmış petrol gazi (LPG) ve benzin ile çalışan taşıtları şasi dinamometresi üzerinde yol şartları simule edilerek teste tabi tutmuşlardır. Test sırasında egzoz emisyonları ve tekerlek güçlerini ölçmüştür. Her iki yakıt kullanımında egzoz emisyonlarını ve taşit performanslarını karşılaştırmışlardır.

Çetinkaya (1998), yapmış olduğu çalışmada sivilaşırılmış petrol gazının (LPG) özelliklerini araştırmıştır. Bu çalışmada taşıtlarda LPG kullanımının yaygın olduğu ülkeler, yakıt seçiminde dikkate alınan kriterler, LPG'nin kimyasal özellikleri, motor yakıtı olarak LPG'nin avantaj ve dezavantajları ele alınmıştır. Sonuçta, gaz yakıtların, karışımının oluşturulması, dağıtım, ateşlenmesi ve yanmasının kontrolüne en az zorluk gösteren yakıtlar olmaları ve egzoz emisyonları bakımından daha az kirletici olmaları sebebiyle ideal yakıtlar olduğunu, gelecekte tüm motorların %20 kadarının tek yakıtlı LPG motorları olacağını ve LPG'nin avantajlarından tam anlamıyla yararlanılabilmesi, motora en uygun dönüşüm sisteminin kullanılması ile sağlanabileceği belirtilmiştir.

Bayındır ve arkadaşları (1997), LPG'nin ülkemizdeki yerli otomobillerde alternatif yakıt amaçlı kullanımı, motor karakteristiklerine ve egzoz emisyonlarına etkisini deneySEL olarak araştırmışlardır. Deneylerde benzinli motor kullanılmış, motor önce benzinle çalıştırılarak kararlı rejime geçirilmiş, rejim altında egzoz gazi

emisyonları ve yakıt tüketimi ölçülmüştür. Daha sonra motor aynı koşullarda LPG ile çalıştırılarak aynı parametreler ölçülmüş ve elde edilen değerleri benzinle elde edilen değerlerle karşılaştırılmışlardır.

3. SİVILAŞTIRILMIŞ PETROL GAZI (LPG)

Sıvılaştırılmış petrol gazı ve doğal gaz gibi, normal atmosferik koşullarda gaz halinde bulunan yakıtlara gaz yakıtlar denilmektedir. Gaz yakıtlar, depolama hacmini küçültmek amacıyla, orta ve yüksek basınçlarda ($\approx 20\text{-}200$ bar) sıkıştırılarak sıvılaştırılmaktadır (LPG ve LNG veya CNG gibi). Sıvılaştırılmış petrol gazı, genellikle propan, bütan, izobütan ve az miktardaki propilen ve bütilenden oluşan bir karışımındır [Çetinkaya 1998].

Türkiye'de daha çok mutfaklarda ve bu arada ısınma, aydınlatma ve sanayiimizin birçok kesimlerinde kullanılan, dünyada ve özellikle de ABD'de otomotiv sanayiinde araçlarda enerji elde etmede, havalandırma cihazlarının çalıştırılmasında, petrol kuyuları sondaj donanımlarına güç elde etmede karşımıza çıkan LPG; Propan (C_3H_8) ve bütanın (C_4H_{10}) belli oranlardaki karışımından oluşan ve *Liquefied Petroleum Gases* kelimelerinin baş harfleri ile ifade edilen sıvılaştırılmış bir petrol gazıdır. Dünyadaki LPG üretiminin %61'i doğal gaz, %39'u ise rafineri üretiminden elde edilmektedir [Anonim 2000].

LPG 'de bulunan az miktardaki propilen ve bütilen ise, petrol rafinerilerinde diğer hidrokarbonların parçalanması esnasında elde edilen iki önemli kimyasal hammaddedir. LPG, dolum tesislerinde tüplere doldurularak doğrudan tüketiciye sunulmakta, doğal gaz şebekesine bağlı olmayan evlerde, endüstriyel tesislerde ve taşılarda kullanılmaktadır [Çetinkaya 1998].

LPG kokusuz olduğundan, kaza ve sızıntı durumlarında gazın hissedilebilmesi için, tüketiciye ulaştırılmadan önce, yasal bir zorunluluk olarak kokulandırılmakta, kokulandırıcı olarak etil markup (C_2H_5SH) kullanılmaktadır [Anonim 2000].

Kokulandırmadaki standart koşul, havadaki gaz konsantrasyonu % 1 'e ulaştığında, normal bir insanın kokuyu hissedeceği düzeydir. LPG, teneffüs edilmesi

halinde zehirsizdir. Özgül ağırlığı havadan fazla olduğundan, kaçak olan kapalı ortamlarda dibe çöker ve içerisindeki havayı kovarak havasızlığa yol açar [Çetinkaya 1998].

3.1. LPG'nin Çeşitleri

Gaz karışımında bulunan ana hidrokarbon bileşenine göre;

- a. Ticari propan: Başlıca propan (C_3H_8) ve propilen (C_3H_6)’den meydana gelen fiziki metotlarla sıvılaştırılabilen gaz karışımıdır. Uçuculuğu yüksektir. Özellikle soğuk iklimli bölgelerde, evlerde, ticari ve endüstriyel amaçlı kullanımlara uygundur. Kütlece %95 saflikta olup düşük devirli motorlar için uygundur.
- b. Ticari bütan: Başlıca bütan (C_4H_{10}) ve bütilen (C_4H_8)’den meydana gelen fiziki metotlarla sıvılaştırılabilen gaz karışımıdır. Uçuculuğu yüksektir. İliman iklimli bölgelerde ve buharlaşma problemi olmayan sanayi kuruluşlarında kullanılır. Kütlece %95 safliktadır.
- c. Ticari propan-butan karışımı: Bu karışım, ticari propan ve ticari bütan karışımından meydana gelen gazdır. Uçuculuğu orta seviyededir. Karışım nispetleri geniş aralıklarda olabileceğinden belirli ihtiyaçları karşılayabilecek yakıt elde edilebilir. Evlerde, ticari ve endüstriyel amaçlı kullanımlarda zaman ve iklim şartlarındaki uygulamalara göre elverişli özelliklerde yakıt elde edilmesi içinde uygundur.
- d. Özel hizmet propanı: Coğunlukla içten yanmalı motorlarda vuruntusuz çalışmayı sağlayan hidrokarbondur. Kütlece %98 safliktadır. Orta devirli ve vuruntusuz çalışması gereken motorlar içindir. Bu gazlara ait özellikler çizelge 3.1 ‘de gösterilmiştir [İçengür ve ark. 1998].

Çizelge 3.1. LPG çeşitlerinin özelliklerini [Çetinkaya 1998]

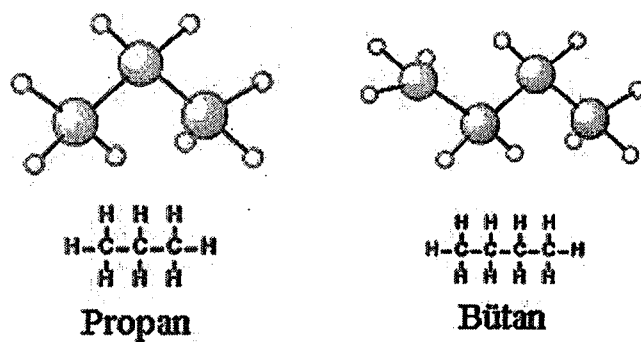
| Özellikler | Ticari Propan | Ticari Bütan | Ticari PB Karışımlı | Öz.Hizmet Propanı |
|--|--|---|--------------------------|--|
| Max. Buhar basıncı, (kPa) | | | | |
| 20°C | 930 | 103 | - | 950 |
| 55°C | 2070 | 462 | - | 2070 |
| Sıvı haldeki LPG'nin nispi yoğunluğu (suya göre, 15,6°C/15,6°C) (kg/dm ³) | 0,509 ⁽¹⁾ | 0,582 ⁽¹⁾ | 0,5474 min 0,5728 max | 0,509 ⁽²⁾ |
| Buhar halindeki LPG'nin nispi yoğunluğu (havaya göre), 15,6°C'de | 1,52 ⁽¹⁾ | 2,01 ⁽¹⁾ | - | 1,52 ⁽¹⁾ |
| Tutuşma sıcaklığı (havada) | 493-549 | 482-538 | - | 493-549 |
| Buharlaşmadan sonraki toplam ısıtma değeri; sıvı fazında (kJ/kg) gaz fazında (kJ/m ³) | 50020 ⁽¹⁾ 93470 ⁽¹⁾ | 49140 ⁽¹⁾ 121280 ⁽¹⁾ | - | 50020 ⁽²⁾ 93470 ⁽²⁾ |

(1) Tolerans ±%5'dir.

(2) Tolerans ±%2'dir.

3.2.LPG'nin Temel Özellikleri

LPG kimyasal yapı ve özellikleri bakımından parafinler (alkanlar) ve olefinler grubu içinde yer alır. LPG'yi oluşturan propan ve bütanın fiziksel ve kimyasal özellikleri Çizelge 3.2. de, propan ve bütanın kimyasal yapısı şekil 3.1 'de görülmektedir.



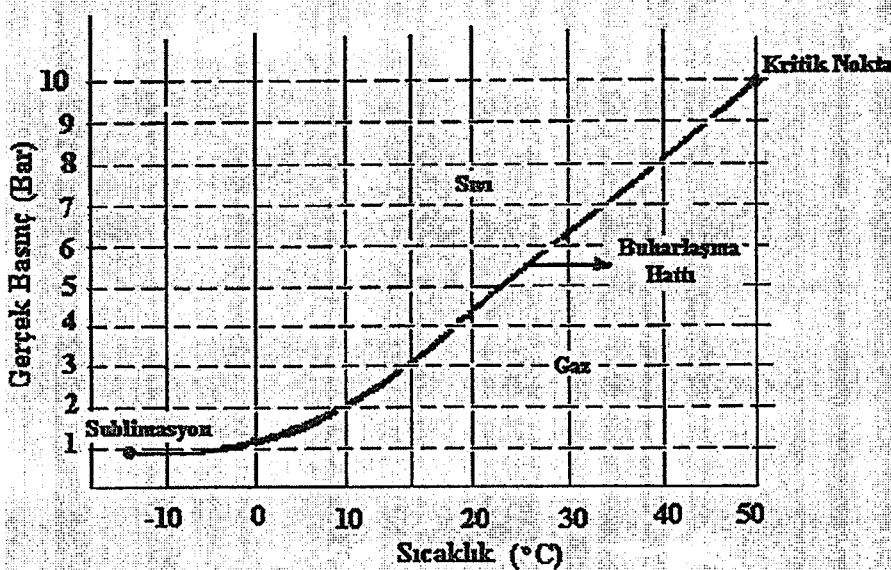
Şekil 3.1. Propan ve bütanın kimyasal yapısı

Çizelge 3.2. Propan ve bütanın fiziksel ve kimyasal özellikleri [Başer 1998]

| Özellikler | Propan | Bütan |
|--------------------------------|----------|-------------|
| Kimyasal Formülü | C_3H_8 | C_4H_{10} |
| Moleküler ağırlığı | 44 | 58 |
| Özgül Ağırlığı (kg/l.) | 0.51 | 0.58 |
| Kaynama Noktası (°C) | -43 | -0.5 |
| Alt Isıl Değeri (kcal/kg) | 11070 | 10920 |
| Tutuşma Noktası (°C) | 510 | 490 |
| Tutuşma Sınırları (hacimsel %) | 2.1-9.5 | 1.5-8.5 |
| Yanma Hızı (cm/s) | 32 | 32 |

Bütan ve propanın belirleyici temel özelliklerinden biri (ki bu kullanım alanlarını da belirler) buhar basıncıdır. Yani sıvının kapalı hacimdeki, buhar ile dengede olduğu basınçtır. EK-1 ‘de propan ve bütan karışımlarının sıcaklığına bağlı buhar basıncı eğrileri verilmiştir. Örneğin bütanın 0 °C sıcaklığındaki buhar basıncı 0.2 bar ve 15 °C sıcaklıkta 1.05 bar’dır. Propanın 0 °C sıcaklığındaki buhar basıncı ise 4 bardır. Yazın aynı sıcaklıkta bütan karışım oranlarının değişmesi basınç üzerinde belirgin farklılıklara neden olur. Isı arttıkça basınç artar ve LPG ’nin sıvı halindeki hacminde büyük değişikliklere neden olur. Böylece, sıvı halindeki LPG ile dolu olan bir ortamda ısı arttıkça basıncında artmasına ve içinde bulunduğu tankın patlamasına neden olur [Anonim 2000].

Bütan ve propan arasındaki diğer ayırcı özellik ise kaynama noktası sıcaklığıdır. Sıvı fazdan, gaz faza geçikleri sıcaklık derecesidir. Propan -43 °C’de sıvı faza geçerken, bütan 0 °C’de sıvı faza geçmektedir. Bu özelliğinden dolayı soğuk havalarda daha yüksek propan oranına sahip karışımlara gereksinim duyulur. Böylece gaz fazına dönüşüm kolaylaştırılır. Türkiye’de hava sıcaklığı bölgeden bölgeye değişeceğinden motorlu taşıtlarda kullanılan Sıvılaştırılmış Petrol Gazi karışımının tüm koşullara uygun olacak şekilde ayarlanması gerekmektedir.



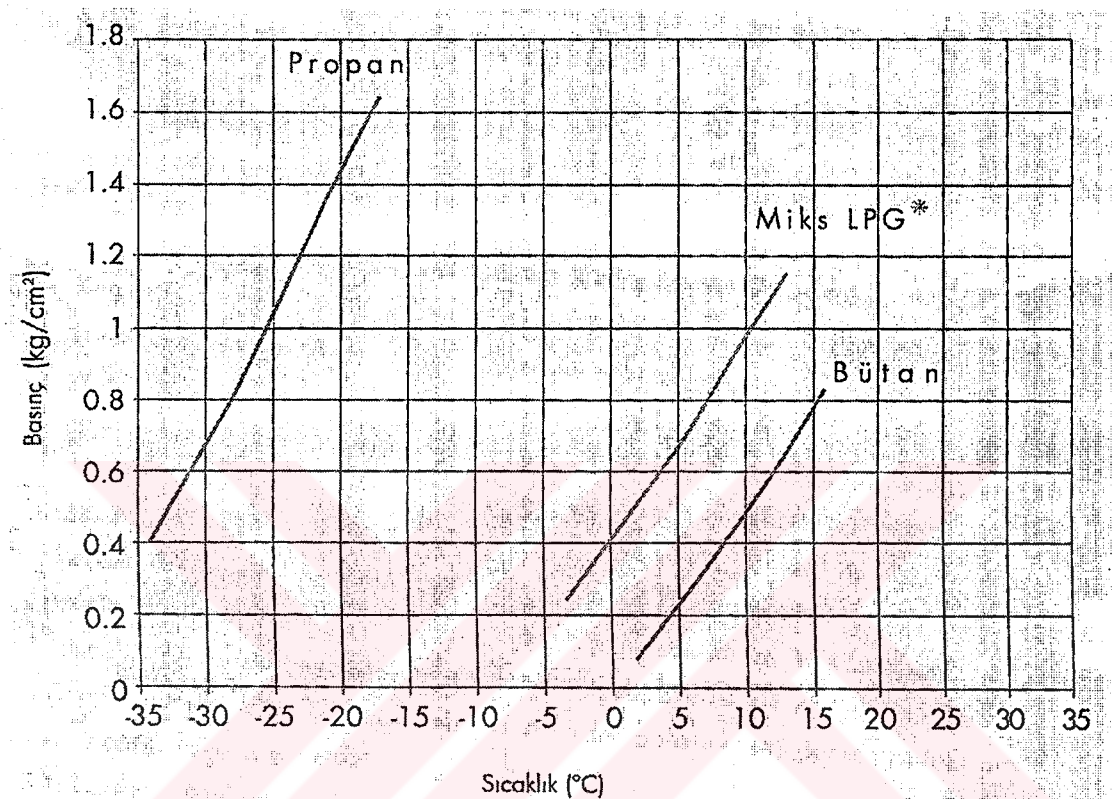
Şekil 3.2. Sıcaklığa göre değişen propan ve bütan karışım eğrisi [Ciniviz 2001].

Dünyada LPG, otomobillerde özellikle Avrupa ülkelerinde, Amerika'da ve Japonya'da yaygın olarak kullanılmaktadır. Avrupa ülkelerinde otomobillerde kullanılan LPG'nin propan ve bütan karışım oranları çizelge 3.3' de verilmiştir.

Cizelge 3.3. Avrupa ülkelerindeki yaz ve kış aylarında LPG içerisindeki propan ve bütan oranları [Ciniviz 2001]

| Ülke Adı | Propan / Bütan Oranları (%) | |
|-----------|-----------------------------|---------|
| | Yaz | Kış |
| Türkiye | 30 / 70 | 50 / 50 |
| Almanya | Propan | Propan |
| Danimarka | 30 / 70 | 70 / 30 |
| İngiltere | Propan | Propan |
| Avusturya | 20 / 80 | 80 / 20 |
| Hollanda | 30 / 70 | 70 / 30 |
| İsveç | Propan | 50 / 50 |
| İsviçre | Propan | Propan |

LPG'ye basınç uygulandığında hacmi içerisindeki bütan ve propan yüzdelerine bağlı olarak 230 ile 267 kat küçülür. Normal şartlarda gaz halinde bulunan LPG'nin, belirli bir basınç değerinde sıvılaşmaya başladığı sıcaklık değerine “çaprazlaşma (sıvılaşma) sıcaklığı” denir.



Şekil 3.3. LPG'nin çaprazlaşma eğrileri [Aydın ve ark. 1995]

Şekil 3.3' de görüldüğü gibi $1 \text{ kg}/\text{cm}^2$ basınç altında propan -25°C 'de, bütan 20°C 'de, miks LPG ise 10°C 'de çaprazlaşmeye başlar. Bu durumda basıncı $1 \text{ kg}/\text{cm}^2$ olan LPG, sıcaklığının 10°C 'nin altına düşmesi durumunda çaprazlaşır. Gaz fazının sıvı fazına göre yaklaşık 270 kat daha fazla hacme sahip olması nedeniyle sıvı LPG'nin tüketim noktasına ulaşması gaz ekipmanlarının görevlerini tam olarak yapamamasına neden olur. Bu nedenle LPG sistemi, yukarıdaki grafik yardımıyla gazın çaprazlaşmeyeceği basınç-sıcaklık değerleri dikkate alınarak kurulur. Propan için çaprazlaşma sıcaklıkları çok düşük olduğundan, propan kullanılan sistemlerde çok düşük sıcaklıklarda bile çaprazlaşma problemiyle karşılaşılmaz [Aydın ve ark. 1995].

4. MOTORLU TAŞITLARDA KULLANILAN LPG SİSTEMLERİ

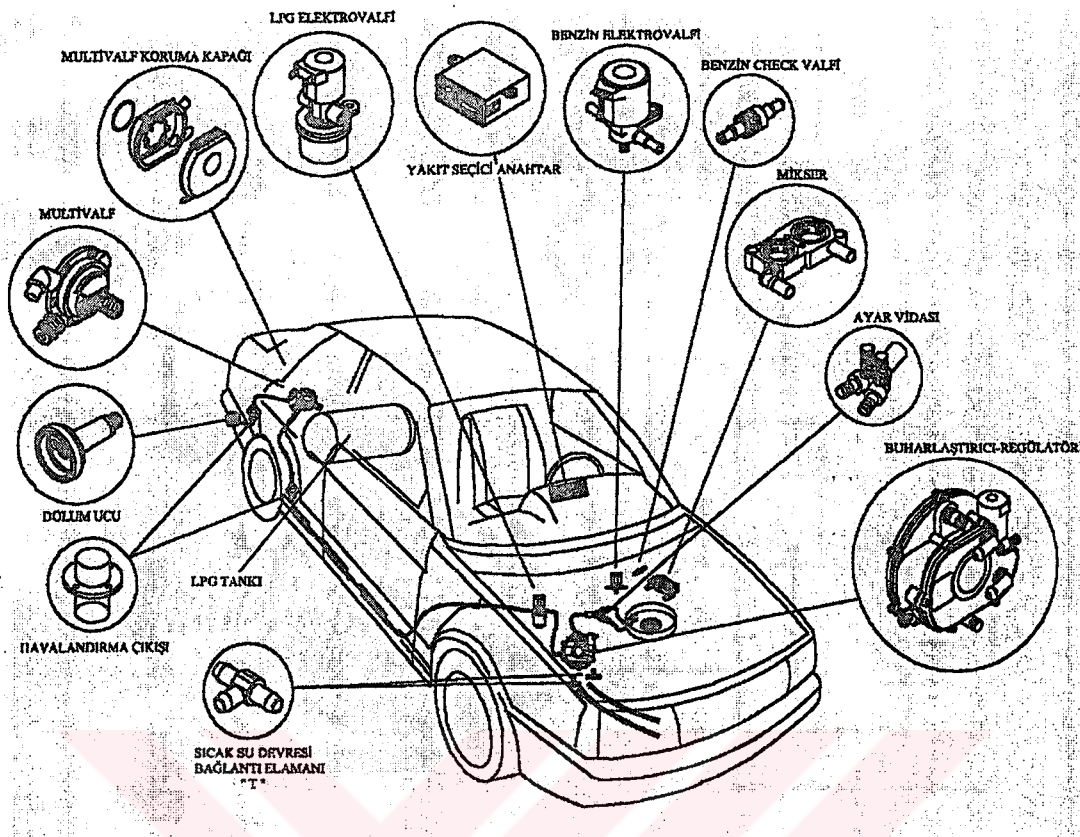
4.1. Sistemin Elemanları

LPG sistemi genelde 3 ana bölümden oluşmaktadır. Bunlar;

- Yakıt deposu (LPG deposu),
- Basınç Regülatörü,
- Miktar ayarlayıcısı ve karıştırma tertibatı.

Fakat sıvılaştırılmış petrol gazi kullanmak için dönüşüm yapılan taşılarda kullanılan LPG dönüşüm sisteminin ana elemanları şunlardır;

- LPG tankı,
- Multivalf (çokluvalf),
- Yakıt seçici anahtar,
- LPG elektrovalfi,
- Benzin elektrovalfi,
- LPG buharlaştırıcı (regülatör, basınç düşürücü, vaporizer),
- Gaz ayar vidası,
- Karıştırıcı (mikser),
- İletim elemanları,



Şekil 4.1. LPG yakıt sisteminin araçtaki yerlesimi [Anonim 2000]

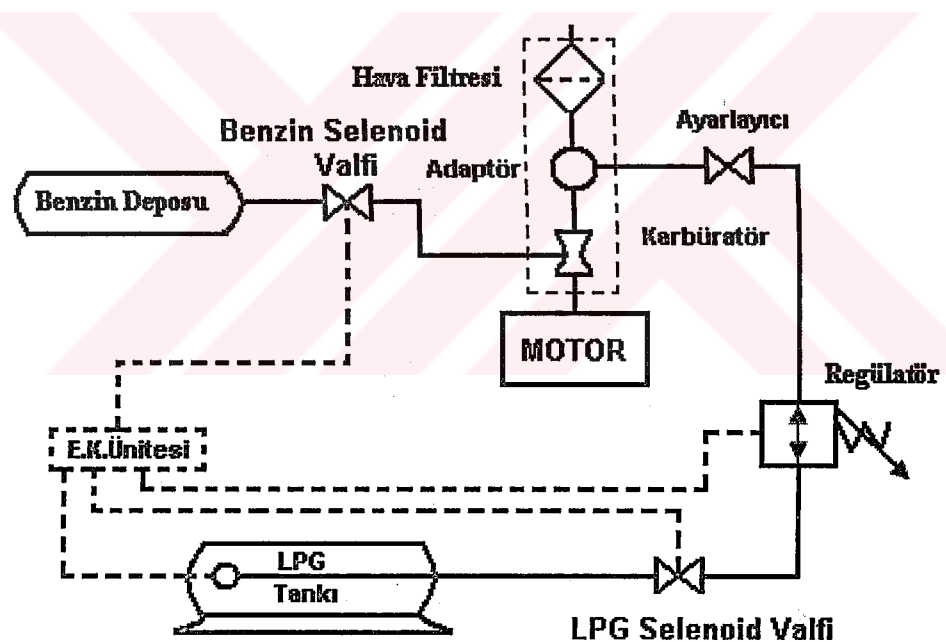
4.2. LPG Sistemleri

Benzinli motorların aynı zamanda LPG ile çalışmalarını sağlayacak dönüşüm sistemleri birinci, ikinci ve üçüncü nesil dönüşüm sistemleri olmak üzere üç grupta toplanmaktadır.

4.2.1. Birinci Nesil LPG Sistemleri

Birinci nesil LPG dönüşüm sistemleri en basit olan sistemlerdir. Bu sistemlerde açık devreli LPG donanımı kullanılmaktadır. Yakıt deposundan sıvı

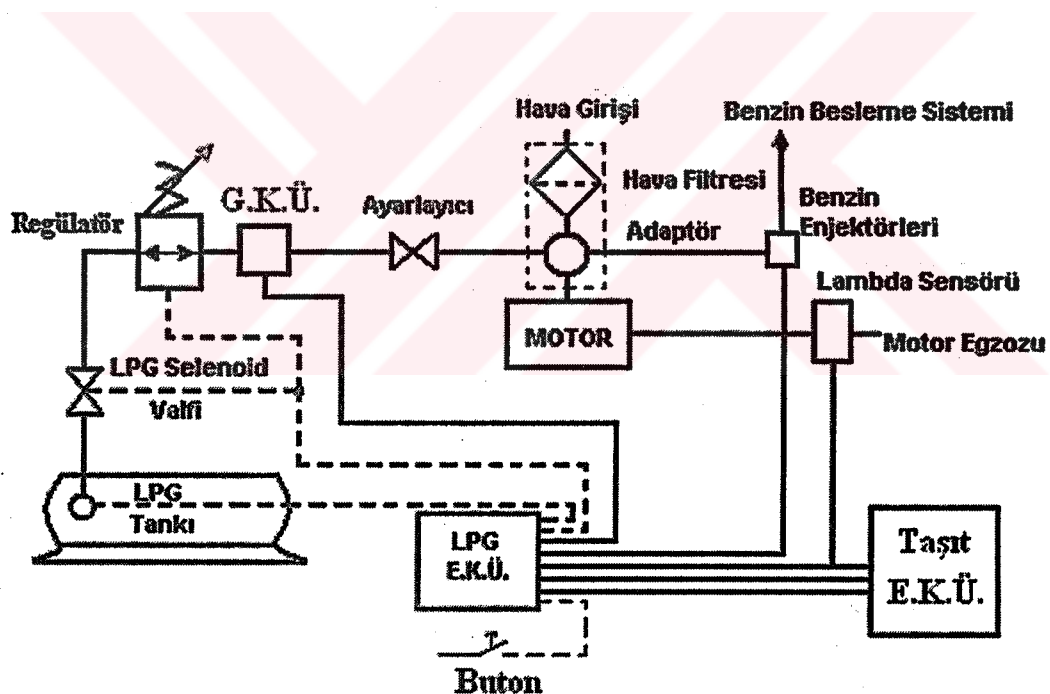
halde alınan yakıt, bir regülatör ve buharlaştırıcı yardımıyla emme manifoldunda yer alan bir gaz karıştırıcıya gönderilerek hava ile karıştırıldıktan sonra silindirlere yollanmaktadır. Bu sistem karbüratörlü benzin motorlarının dönüşümünde kullanılmaktadır. Birinci nesil LPG sistemleri regülatörün diyaframı ayarlamak için aldığı sinyale göre vakumlu veya elektronik olarak 2'ye ayrılmaktadır [Dinler 2001]. Birinci nesil dönüşüm sistemlerinin en büyük dezavantajı motor yükü arttıkça giderek zenginleşen karışım oranına neden olmasıdır. Bu tür açık devreli sistemlerde hava fazlalık katsayısı (HFK) gaz karbüratörünün sağladığı sınırlar dahilinde değişmekte ve kapalı devre kontrolü yapılmadığı için HFK'yi sabit tutmak mümkün olmamaktadır. Bu nedenle $HFK=1$ 'de çalışarak ve 3 yolu katalitik dönüştürücü kullanarak en son emisyon sınırlarını (EURO 93 ve EURO 96) sağlamak böyle bir sistemle olanaksızdır [Anonim 2000].



Şekil 4.2. Birinci nesil LPG dönüşüm sisteminin şematik gösterimi

4.2.2. İkinci Nesil LPG Sistemleri

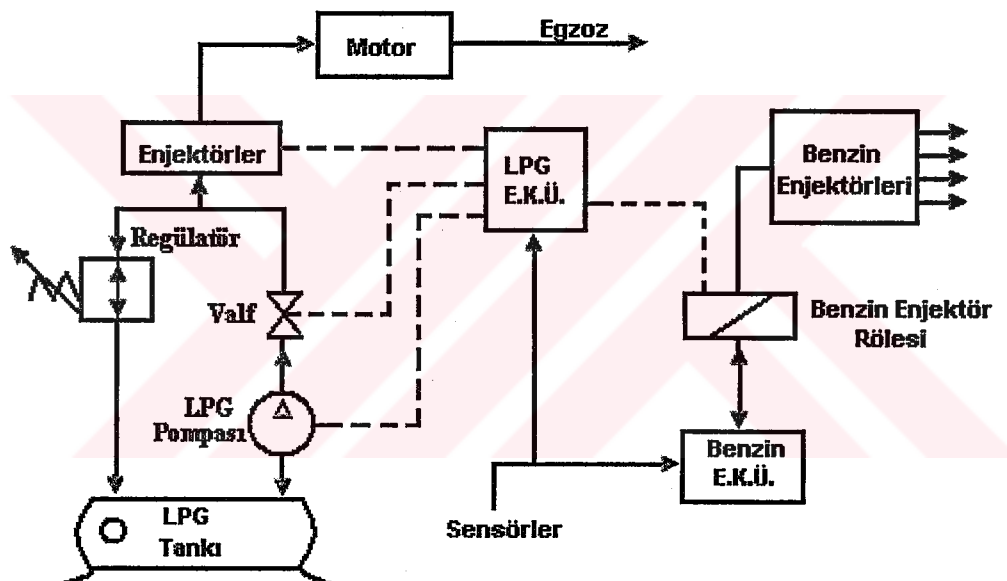
İkinci nesil LPG dönüşüm sistemleri kapalı devreli LPG donanımı kullanırlar. Kapalı devre sistemlerinde egzoz gazı içinde bulunan oksijen miktarı ölçülecek, elektronik kontrol ünitesi yardımıyla yakıt miktarı regülatörde uygun şekilde düzeltilmektedir. Böylece hava fazlalık katsayısı stokiyometrik değerde tutabilmekte ve egzoz sistemine eklenen katalitik konvertör yardımıyla EURO 93 ve hatta EURO 96 emisyon sınırları sağlanabilmektedir [Anonim 2000]. Orjinalinde yakıt enjeksiyon sistemi bulunan taşıtlara uygulanan bu dönüşüm sisteminde ek olarak bir lambda (λ) sensörü, devir sayısı, gaz kelebeği konumu, motor sıcaklığı gibi motor parametreleri için sinyalleri değerlendiren bir elektronik kontrol ünitesi ve gaz debisini değiştiren debi ayar valfi bulunmaktadır [Dinler 2001].



Şekil 4.3. İkinci nesil LPG dönüşüm sisteminin şematik gösterimi

4.2.3. Üçüncü Nesil LPG Sistemleri

Üçüncü nesil LPG dönüşüm sistemleri pek yaygın olarak kullanılmamaktadır. Bu sistem çok noktadan benzin enjeksiyonlu sisteme benzemektedir. Bu sistemde sıvı haldeki LPG, emme supabı üzerine püskürtüldüğü için yakıtın büyük bir miktarı silindire sıvı halde girmektedir. Birinci ve ikinci nesil dönüşüm sistemleri uygulanmış araçlarda LPG'nin gaz halde silindire girmesinden dolayı volumetrik verimdeki kayıplar neticesinde güçteki %2-5 oranındaki azalma üçüncü nesil LPG dönüşüm sistemlerinde görülmemektedir [Anonim 2000].



Şekil 4.4. Üçüncü nesil LPG dönüşüm sisteminin şematik gösterimi

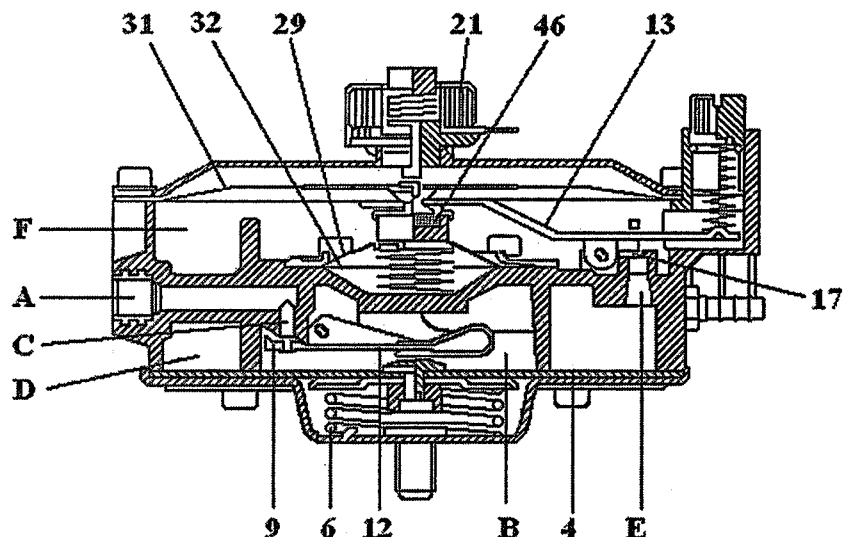
5. LPG BUHARLAŞTIRICISI (REGÜLATÖR)

Regülatör motora sıvı fazda gelen yüksek basınçlı LPG'yi genleştirerek gaz fazına çevirirken, motorun tükettiği yakıt miktarını sağlayacak şekilde düzenlenmiş bir besleme basıncı sağlar. LPG'nin sıvı fazdan gaz fazına geçerken gerek duyduğu ısı motor soğutma suyundan sağlanmaktadır.

Basınç düşürme ve regülasyon iki kademe ile yapılmaktadır. Birinci kademe LPG buharlaştırılıp basıncı 1,45-1,65 bara düşürür. İkinci kademe çıkışında ise gaz yakıt sağlanmaktadır. Bu kademenin çıkış basıncı, motorun dönmeye sayısı ve gaz kelebeği açıklığının belirlediği gaz yakıt debisini sağlayacak şekilde değişir.

Basınç regülatörü, motor çalışmadığı sürece motora olan gaz akışını önleyecektir, soğukta ilk harekette ise gerekli zenginlikte yakıt/hava karışımını sağlayacak ek donanımlara sahip olmalıdır. Bu ikinci kademe giriş supabına kumanda ederek ek gaz akışı sağlayan elektriksel kumandalı bir zenginleştirici ile sağlanmaktadır.

Basınç regülatörü, basınç regülasyon işini gövde içinde bulunan ve eksenel yönde hareketli membran ve supaplar ile sağladığından, bunların taşıtın ivmelerinden etkilenmemesi için, motor bülmesi içinde ekseni hareket yönüne dik kalacak şekilde monte edilmelidir. Seviyesi radyatör su seviyesinin mümkün mertebe altında kalmalıdır [Aktay 2002].



| | | |
|-----------------------------|--------------------------------|----------------------------|
| A : Besleme kanalı | 4 : Birinci kademe zarı | 21 : Elektromekanik şalter |
| B : Basınç indirgeme bölümü | 6 : Yay | 29 : Zar |
| C : Besleme ağızı | 9 : Çek valf | 31 : İkinci kademe zarı |
| D : Birinci kademe bölümü | 12 : Birinci kademe manivelası | 32 : Yay |
| E : Memə | 13 : İkinci kademe manivelası | 46 : Miknatıs |
| F : İkinci kademe bölümü | 17 : İkinci kademe valfi | |

Şekil 5.1. Basınç regülatörünün kesit görünüşü [Aydın ve Kaştaş 1999]

Yakıt tankından basınçlı olarak gelen sıvı LPG selenoid valften (A) besleme kanalı aracılığı ile birinci kademe basınç indirgeme bölümünde (B) girer. Burada basınç 0,45-0,65 bar civarında olacak kadar azalır. Besleme ağızına (C) yakın manivela (12)'ya bağlı bulunan birinci kademe zarı (4) üzerindeki gazın oluşturduğu basınçtan yararlanmak suretiyle basınç indirgenmesi olmaktadır.

Birinci kademe basınç indirgeme bölümündeki basınç önceden belirlenen seviyeyi aşlığında zar (4) kalibre edilmiş yayı (6) harekete geçirerek, birinci kademe manivelasının (12) hareket etmesini ve bu hareketin besleme ağızında (C) bulunan çek valfe (9) transferine neden olur. Gazın genleşmesinden dolayı oluşan ısı kaybını karşılamak için motor soğutma sistemindeki su, birinci kademe basınç indirgeme bölümünden (B) içinde dolaştırılır. Memeden (E) geçen LPG valf (17) tarafından düzenlenerek ikinci kademedeki bölüme (F) geçer. Bölüm, karbüratörde

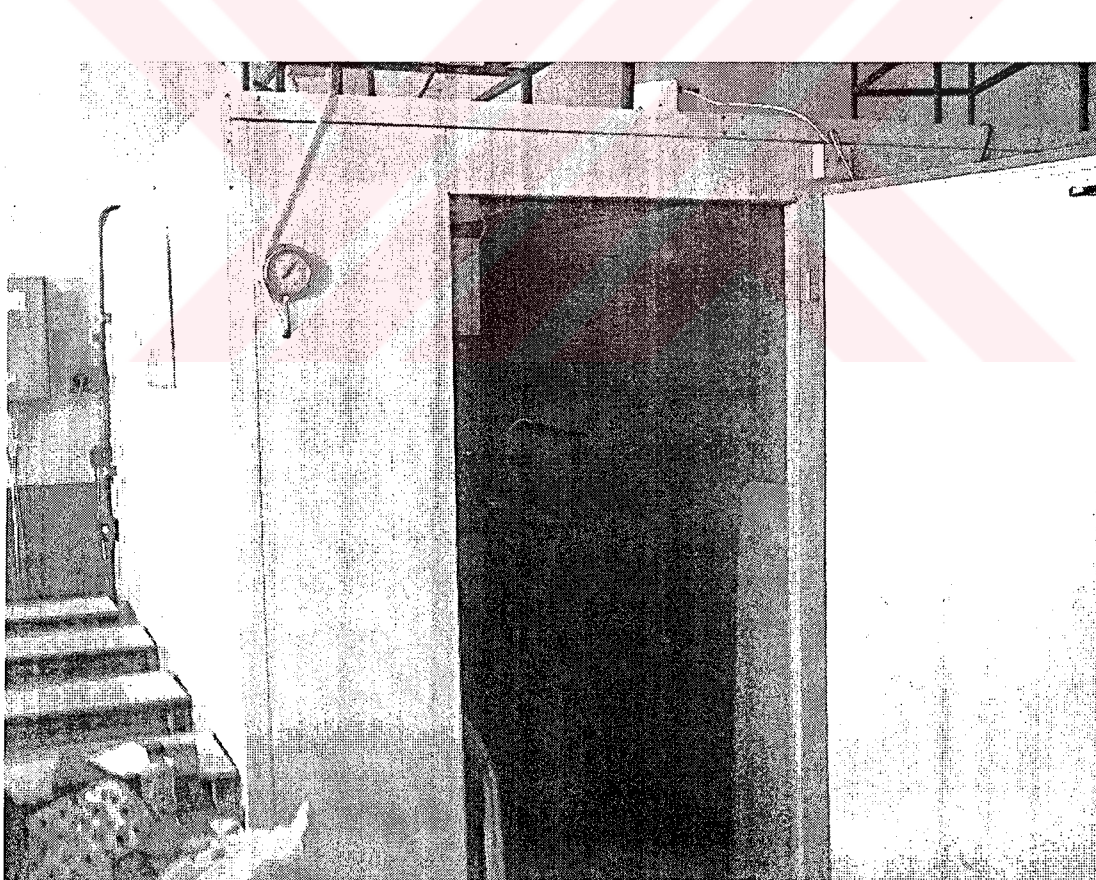
bulunan karıştırıcıya bağlıdır ve çalışan motorun oluşturduğu endüksiyona reaksiyon verir. İkinci kademe zarı (31) bu endüksiyondan dolayı basınç azaltıcının merkezine doğru içeriye girer. Bu hareket, ikinci kademe valfinin (17) sabitleştirdiği ikinci kademe manivelasının (13) hareket etmesini ve gazın birinci kademeden ikinci kademeye geçmesini sağlar. Tersi olarak da karıştırıcının içindeki vakum kaybolduğunda, ikinci kademe zarından (31) ters bir basınç oluşur. Manivelanın hareketi ile gazın geçmesi önlenir.

Motor çalışmadığında, yay (32) manivela üzerine etki yaparak valfin (17) mükemmel bir şekilde gaz geçirmezliğini temin eder. Motor çalıştığında ise yay (32), karbüratör kelebeğinde oluşan basınç düşmesinden dolayı emilen zar (29) tarafından yuvasına itilir. Zara (29) mıknatıs (46) dahil edilmiştir. Motor çalıştırıldığında mıknatıs ikinci kademe manivelası (13) üzerinde anlık çekme oluşturur ve fazla miktarda gazın geçmesini sağlar [Aktay 2002].

6. MATERİYAL ve METOT

6.1. Materyal

Deneysel ilk olarak Selçuk Üniversitesi, Teknik Eğitim Fakültesi, Makine Eğitimi Bölümü, Taşıt Bakım Laboratuarında yapılmıştır. Yeterli soğuk hava şartlarının sağlanamamasından dolayı deneyle Selçuk Üniversitesi, Teknik Bilimler Meslek Yüksekokulu, İklimlendirme ve Soğutma Laboratuarında bulunan klima odasında devam edilmiştir. Deneysel Murat 124 model bir otomobile birinci nesil LPG dönüşüm sistemi monte edilerek yapılmıştır. Deneyselin yapıldığı yer olan İklimlendirme ve Soğutma Laboratuarındaki klima odasının genel görünüşü şekil 6.1'de görülmektedir.



Şekil 6.1. Klima odasının genel görünüşü

6.1.1. Deney Motoru Teknik Özellikleri

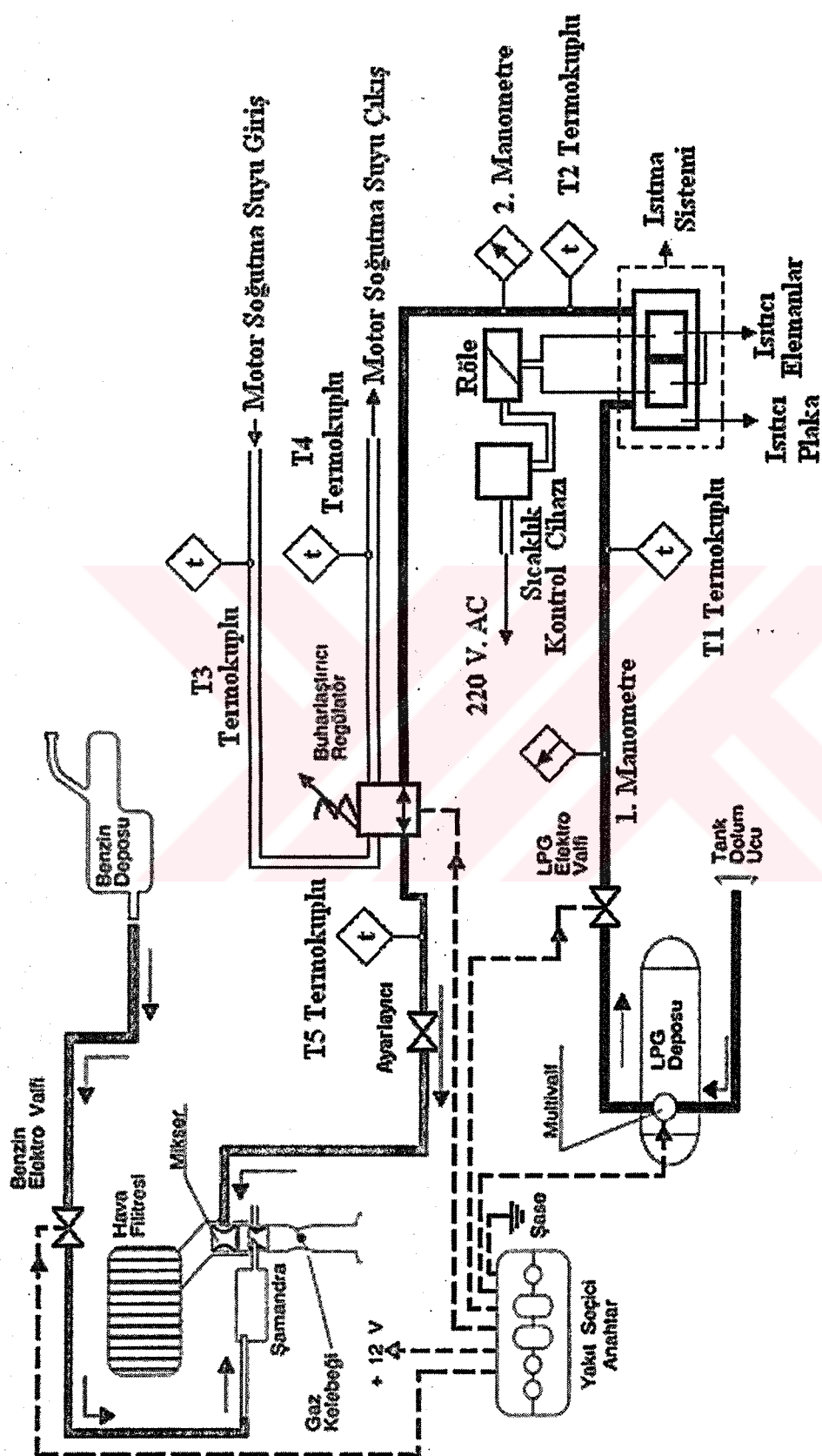
Deneylerde kullanılan motorun teknik özellikleri çizelge 6.1.'de verilmiştir.

Çizelge 6.1. Deney motoru teknik özellikleri.

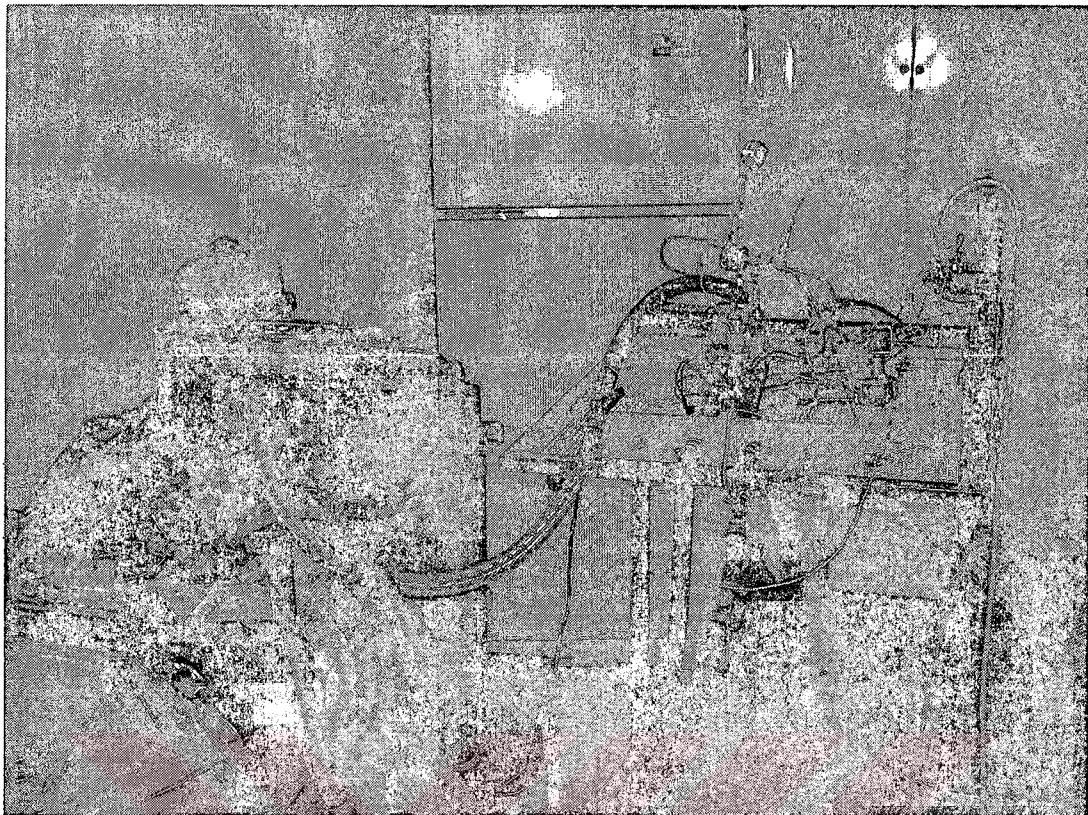
| | |
|-----------------------|------------------------|
| Markası | : Murat 124 |
| Motor Tipi | : I Tipi |
| Çalışma Prensibi | : 4 Zamanlı |
| Silindir Sayısı | : 4 |
| Silindir Çapı | : 73 mm. |
| Strok | : 71.50 mm. |
| Toplam silindir hacmi | : 1197 cm ³ |
| Sıkıştırma Oranı | : 8.8/1 |
| Maksimum Güç | : 60 HP (5600 dev/dk.) |
| Ateşleme Sırası | : 1 – 3 – 4 – 2 |
| Soğutma Sistemi | : Su |
| Yağlama | : Basınçlı Yağlama |

6.1.2. Deney Tesisatı

Deneyler esnasında yapılan ölçümlerin daha rahat alınabilmesi için bir deney masası tasarlanmıştır. Tasarlanan deney masasının üzerine LPG dönüşüm sistemi ve ölçü aletleri monte edilmiştir. Deney tesisatının şematik resmi şekil 6.2'de, deney tesisatının genel görünüşü şekil 6.3'de verilmiştir.



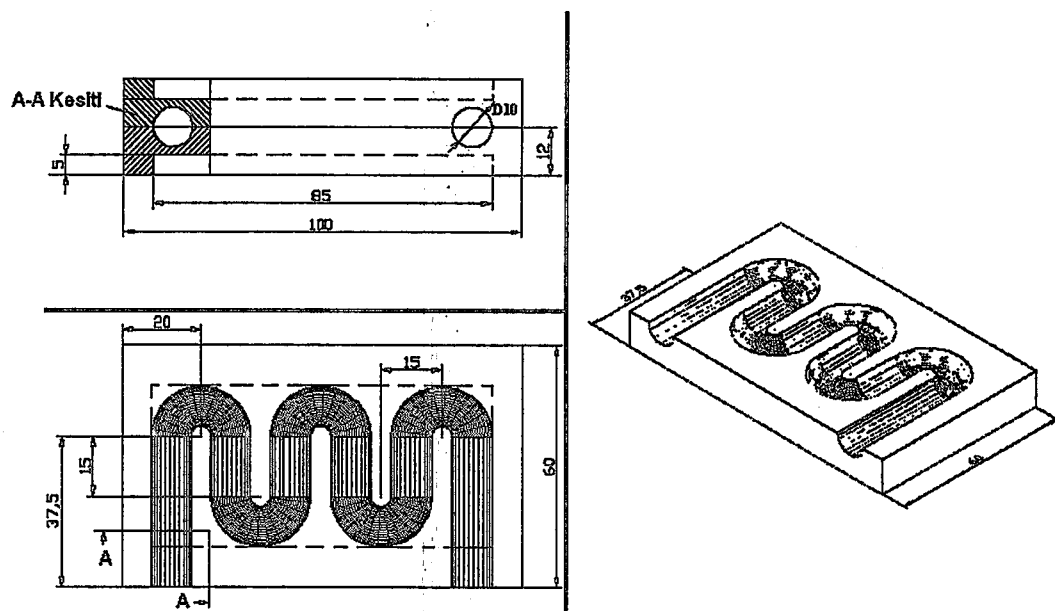
Şekil 6.2. Deney tesisatının şematik resmi



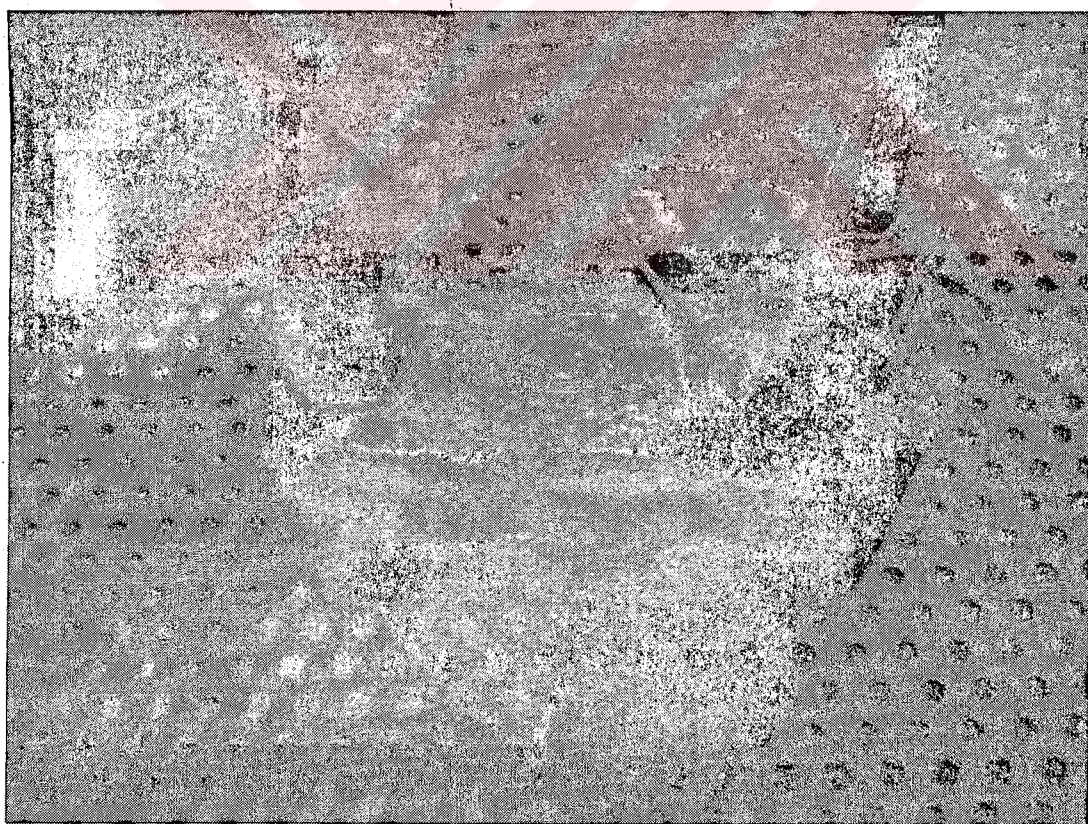
Şekil 6.3. Deney tesisatının genel görünüşü

6.1.3. Tasarlanan Isıtma Plakası

Regülatör ile gaz selenoid valfi arasına yerleştirilen ve depodan gelen LPG'yi ısıtarak regülatöre gönderen cihaz ısıtma sistemi olarak adlandırılmaktadır. Isıtma plakası bakır malzemeden şekil 6.4 'de görülen ölçülerde dikey işleme tezgahlarında imal edilmiştir. Isıtma plakası ile ilgili imalat şekilleri ve ölçülerleri şekil 6.4 ve şekil 6.5 'de görülmektedir.



Şekil 6.4. Tasarlanan ısıtma plakasının imalat resmi (ölçüler mm'dir)



Şekil 6.5. Isıtma sisteminin genel görünüşü

Isıtma plakasının dış yüzeylerine 4 tane ısıtıcı eleman yerleştirilmiştir. Isıtıcı elemanlar klemens yardımıyla dışında paralel olarak bağlanarak bir röle yardımıyla baryadan gelen akım ile beslenmektedir. Sıcaklık kontrol cihazının sensör girişine bir termokupl yerleştirilmiştir. Termokuplun algılayıcı ucu ısıtıcı eleman ile bakır malzeme arasına yerleştirilerek, ısıtıcı elemanın kontrolü hassas olarak sağlanmaktadır. Isıtıcı elemanın teknik özellikleri çizelge 6.2'de, sıcaklık kontrol cihazının teknik özellikleri çizelge 6.3'de verilmiştir.

Çizelge 6.2. Isıtıcı elemanın teknik özellikleri

| | |
|---|------|
| Maksimum akım (A) | 5 |
| Maksimum güç (W) | 42.8 |
| Maksimum gerilim (V) | 15.4 |
| Oluşturduğu sıcaklık farkı (ΔT °C) | 67 |

Çizelge 6.3. Sıcaklık kontrol cihazının teknik özellikleri.

| | |
|-------------------------|--|
| Cihaz Türü | Proses Kontrol Cihazı |
| Fiziksel Özellikler | 48mm*48mm*76mm |
| Ağırlık | Yaklaşık olarak 0,15 kg. |
| Çalışma Ortam Sıcaklığı | -15 °C ile +55 °C arasında |
| Çalışma Periyodu | Sürekli |
| Besleme Voltajı ve Güçü | 100-240 Vac 50/60 Hz. (-%1,5 / +%10)AC 6VA |
| Proses Girişleri | Üniversal giriş TC, RTD, DC Voltaj/Akım |
| Termokupl Giriş Tipleri | Parametrelerden seçilebilir L, J, K, R, S, T, B, E, N, C |
| Doğruluk | Tam ölçeğin ±0,25%'i termokupl |
| Okuma Sıklığı | Saniyede 3 okuma |
| Standart Röle Çıkışları | 2 adet 5 A |
| Proses Göstergesi | 10 mm kırmızı 4 dijит LED gösterge |
| Ayar östergesi | 8 mm yeşil 4 dijит LED gösterge |

6.2. Deneylerde Kullanılan Ölçü Aletleri

6.2.1. K/J Termometre

Sıcaklık ölçümlerinde K tipi termokupl ve K/J tipi termokupplarla ölçüm yapabilen termometre kullanılmıştır. K/J termometrenin teknik özellikleri çizelge 6.4'de, görünüş şekli şekil 6.6'da verilmiştir.

Çizelge 6.4. K/J Termometre teknik özellikleri

| | |
|-------------------------|---|
| Cihaz Türü | CHY 503 K/J Termometre |
| Fiziksel Özellikler | 192mm*91mm*52.5mm |
| Ağırlık | 365 g. |
| Ortam Şartları | -20 °C ile 60 °C arasında sıcaklıklarda |
| Çalışma Ortam Sıcaklığı | -0 °C ile +50 °C arasında |
| Çalışma Aralığı | Sürekli |
| Besleme Voltajı | 9 V Pil |
| Termokupl Giriş Tipleri | Parametrelerden seçilebilir K, J |
| Kararlılık | 0.1 °C veya 0.2 °F |
| Doğruluk | ±(0.3 °C) –50 °C ile 1370 °C arasında |
| Okuma sıklığı | Saniyede 1 okuma |
| Gösterge | 4 ½ dijital LCD gösterge |

6.2.2. Manometre

Sıvı haldeki LPG'nin ısıtılması ile basıncının yüksek değerlere çıktığı bilindiği için sistem basıncının devamlı olarak izlenebilmesi ve tehlike anının görülebilmesi için ısıtıcı modülün giriş ve çıkışına bir barometre yerleştirilmiştir. Barometre 0-12 bar basıncı ölçen analog bir cihazdır.

6.2.3. LPG Terazisi

Deneylerde motorun tükettiği LPG miktarını belirlemek için Çeba marka, tartım aralığı min 2 kg. max 150 kg olan 100 gr. hassasiyetli dijital terazi kullanılmıştır.

6.3. Metot

Deneyler sabit motor devrinde (1000 dev/dak) yapılmıştır. Deneylere başlamadan önce motor ayarları yapılmış, motor yağı ve soğutma suyu değiştirilmiştir. Klima odasında yapılan deneyler süresince çevre sıcaklığı sabit tutulmaya çalışılmıştır. Bu yüzden klima odasının kapısı içten ısı yalıtım malzemeleri ile kaplanmıştır. Ölçümlere çevre sıcaklığı istenen değerlere ulaşıldığında başlanmıştır. Bir sonraki deney süresine kadar motor dirlendirilmiş ve çevre sıcaklığı tekrar düşürülmüştür.

Deneyler esnasında alınan sıcaklık değerleri 1'er dakika aralıklarla alınmıştır. Deney sonuçlarına göre oluşturulan eğrilerde ölçülen 5 sıcaklık değerinin karşılaştırılması için hepsi bir şekil üzerinde gösterilmiştir. Şekillerde bulunan sıcaklık değerleri şunları ifade etmektedir.

- T₁: Isıtma modülünden önce gazın sıcaklığı
- T₂: Isıtma modülünden sonra gazın sıcaklığı
- T₃: Motor soğutma suyunun regülatöre giriş sıcaklığı
- T₄: Motor soğutma suyunun regülatörden çıkış sıcaklığı
- T₅: Gazın karbüratöre giriş sıcaklığı

Deneysel öncelikle motor çalışma sıcaklığının tespiti ve deney tesisatının çalışmasından oluşan aksaklıların görülmesi için çevre sıcaklığında ve atölye ortamında yapılmıştır. Daha sonra sabit çevre sıcaklığının sağlanabilmesi ve düşük çevre sıcaklıklarına ulaşabilmek için klima odasında deneylere devam edilmiştir.

Tasarlanan ısıtıcı modülün performansının görülebilmesi için her deney başlangıcında motorun marş basma süresine dikkat edilmiştir. Deneysel ısıtıcı modül devrede ve devrede değil iken olmak üzere 2 ayrı tipte yapılmıştır.

6.3.1. Regülatörün İşı Geçişi Hesabı

Regülatör içerisinde motor soğutma suyu ile LPG arasında ısı geçisi olmaktadır. Bir sistemde kayıplar ihmali edildiğinde alınan ısının verilen ısuya teorik olarak eşit olması gerekmektedir. Regülatör içerisinde, motor soğutma suyundan ısı alınmakta ve LPG'ye ısı verilmektedir.

$$Q_{Su} = Q_{LPG} + Q_{Kayiplar}$$

$$Q = m * C_p * \Delta T$$

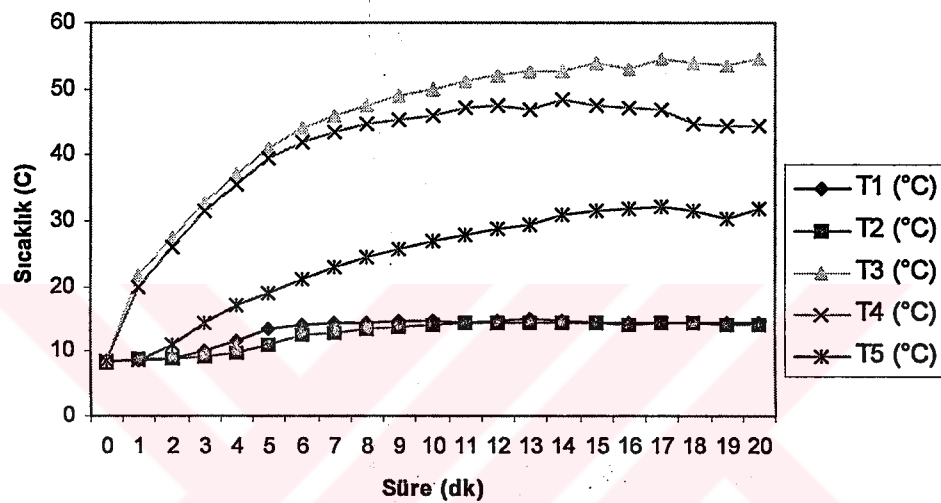
Yapılan deneysel sonuçlarda regülatörün giriş ve çıkışındaki motor soğutma suyu sıcaklıkları ile regülatörün LPG giriş ve çıkışındaki sıcaklık değerleri ölçülmüştür. Ayrıca her deney süresince motorun tükettiği LPG miktarı deney süresince yaklaşık olarak 1 kg olarak ölçülmüştür. Dakikada tüketilen LPG miktarı ise 40 g olarak hesaplanmıştır. Deneysel bittikten sonra regülatör içerisinde geçen

soğutma suyu miktarı da 1000 dev/dak ‘da dakikada 900 g. olarak ölçülmüştür. LPG’yi oluşturan propanın özgül ısısı (C_p) 2.512 kcal/kg., bütanın özgül ısısı (C_p) 2.386 kcal/kg. ‘dir [Anonim 2000]. Deneylerde kullanılan LPG’nin %30 propan ve %70 bütan karışımı olduğundan dolayı, ağırlıksal olarak LPG’nin özgül ısısı hesaplandığında 2.4238 kcal/kg olarak bulunmuştur. Soğutma suyunun özgül ısısı (C_p) 4.181 kcal/kg’dır [Van Wylen ve ark. 1986]. Deneyler süresince LPG’nin ve soğutma suyunun sıcaklık değerleri ölçülmüştür. -5.8 °C çevre sıcaklığında sıcaklık kontrol cihazı 40 °C’ye ayarlı iken yapılan deney sonuçları (EK-23) ele alındığında hesaplanan Q_{su} , Q_{LPG} ve $Q_{Kayıplar}$ çizelge 6.5’de görülmektedir.

Çizelge 6.5’de -5.8 °C çevre sıcaklığında sıcaklık kontrol cihazı 40 °C’ye ayarlı iken yapılan deney sonuçlarına göre hesaplanan Q_{su} , Q_{LPG} ve $Q_{Kayıplar}$ değerleri görülmektedir. Değerler incelendiğinde deneyin başlangıcında kayıpların fazla olduğu görülmektedir. Başlangıçta kayıpların fazla çıkışının sebebi regülatörün içerisindeki parçaların sıcaklıkları düşük olduğu için önce parçalar ısınmakta LPG’ye ısı verilememektedir. Parçalar ısındıktan sonra ise LPG’ye ısı verilmektedir. Bunun sonucu olarak da zaman ilerledikçe kayıplar azalmaktadır. Ayrıca Q_{LPG} ilk 4 dakika boyunca (-) eksi değerler olarak görülmektedir. Bu da bize ilk 4 dakika boyunca LPG’den ısı çekildiğini göstermektedir. Zaman ilerledikçe Q_{su} azalmakta, Q_{LPG} artmakta ve sistem dengelenmektedir.

7. ARAŞTIRMA SONUÇLARI ve TARTIŞMA

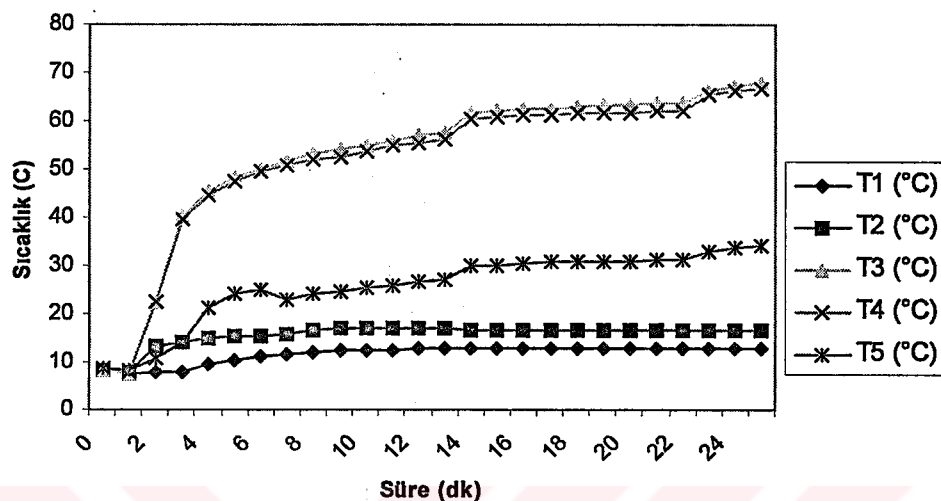
Kurulan deney tesisi atölye içerisinde ilk deney 8.5°C çevre sıcaklığında ısıtma sisteminin çalışmadığı durumda yapılmıştır. Bu çevre sıcaklığında yapılan deney sonuçları ve eğrileri EK-2'de görülmektedir.



Şekil 7.1. 8.5°C çevre sıcaklığında ısıtma sistemi kapalı iken yapılan deney eğrileri.

Şekil 7.1'de 8.5°C çevre sıcaklığında yapılan deney sonuçlarına göre çizilmiş eğriler görülmektedir. Deney sırasında ısıtma sistemi çalışmamaktadır. Sistem çalışmadığı içinde T_1 ve T_2 sıcaklıklarını yaklaşık olarak birbirine eşittir. Motor soğutma suyunun giriş ve çıkış sıcaklıklarını gösteren T_3 ve T_4 sıcaklıkları ise yaklaşık olarak $55-60^{\circ}\text{C}$ değerlerinde sabitlenmektedir. T_5 sıcaklığı ise başlangıçta artmakta fakat 15 dakika sonra sabitlenmektedir. İlk deney sonucuna göre yapılacak deneylerin süresini 25- 30 dakika olmasına karar verilmiştir. Çünkü motor suyunun sıcaklığı 20 dakika boyunca incelenmiş ve 20. dakikada motor soğutma suyunun sabitlendiği görülmüştür.

İkinci deney ısıtma sistemi devrede iken 6.5°C çevre sıcaklığında yapılmıştır. 6.5°C çevre sıcaklığında yapılan deneyin sonuçları EK-3'de görülmektedir. Bu deney sonuçlarına göre çizilen eğriler şekil 7.2'de görülmektedir.

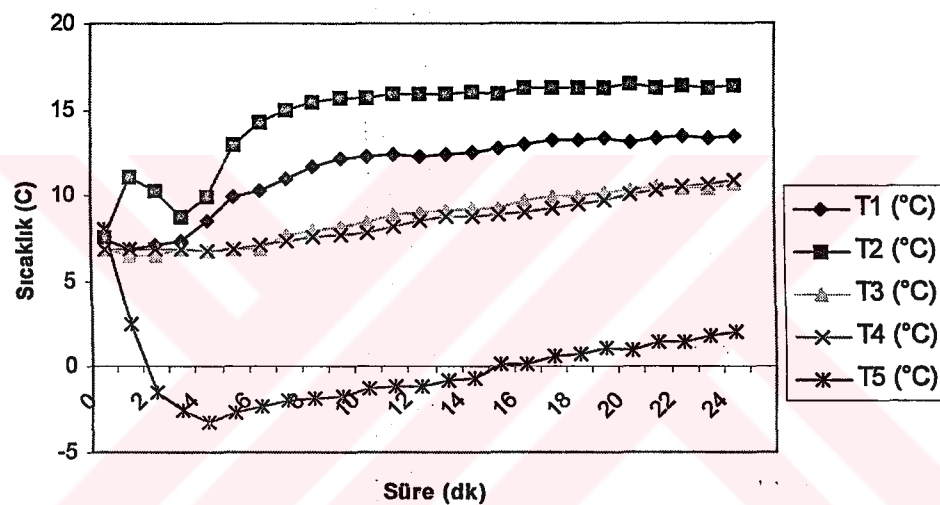


Şekil 7.2 6.5°C çevre sıcaklığında ısıtma sistemi devrede iken yapılan deney eğrileri

Şekil 7.2'de 6.5°C çevre sıcaklığında ısıtma sistemi devrede iken yapılan deneyin sonuçlarına göre çizilen eğriler görülmektedir. Isıtma sistemi 20°C sıcaklığı ayarlanmış durumda ve deney süresince çalışmaktadır. T_1 ve T_2 sıcaklıklarını arasında 2. dakikada başlayıp deney süresince devam eden yaklaşık 4°C 'lik bir fark bulunmaktadır. T_1 ve T_2 sıcaklıklarını arasında oluşan bu fark ısıtma sisteminden kaynaklanmaktadır. T_3 ve T_4 sıcaklıklarını arasındaki fark ise yaklaşık 2°C 'dir. T_5 'in ise bir önceki deneyde olduğu gibi önce arttığı daha sonra sabitlendiği görülmektedir. İlk 3 dakika süresince T_2 gazın regülatöre giriş sıcaklığı, T_5 gazın karbüratöre giriş sıcaklığından büyük olduğu görülecektir. Bu süre esnasında gaz ısıtma sistemi tarafından ısıtılmakta fakat regülatörde gaza ısı verileceğine gazdan ısı çekilmektedir. 3. dakikadan sonra motor soğutma suyundan gaza ısı verilebilmektedir. Ayrıca motor soğutma suyu sıcaklığının ilk deneye göre daha hızlı artığı görülmektedir. Çünkü motorun ilk çalışması esnasında motor soğutma

suyundan ısı çekilmemekte ve gaz regülatöre sıcak geldiği içinde soğutma suyuna ısı vermektedir.

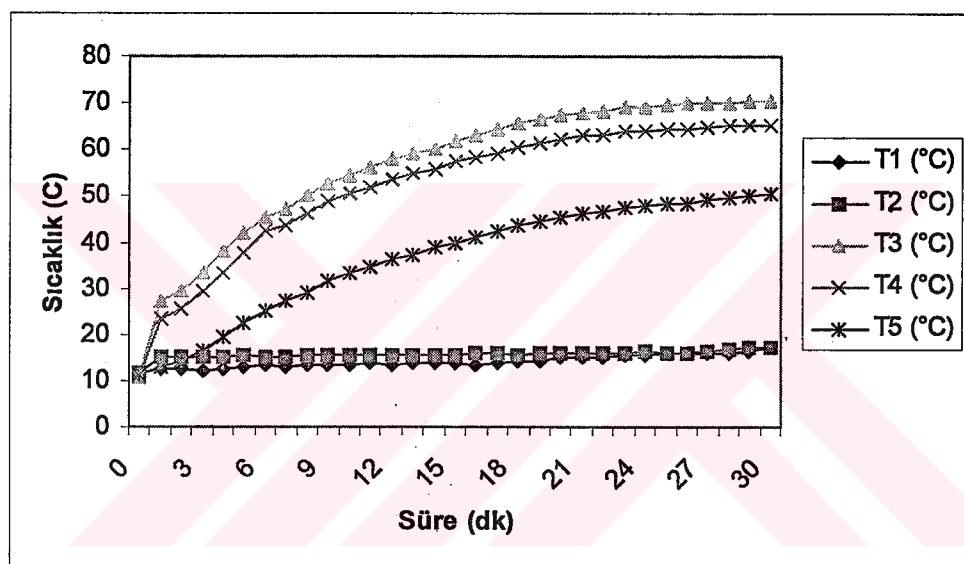
Bu deney sonuçlarına göre deneyler birkaç kere daha tekrarlanmıştır. EK-4, EK-5 ve EK-6'da bulunan deney sonuçları birinci ve ikinci deneylerde yapılan deneylerle aynı ortamlarda yapılmıştır. EK-4'de bulunan deney sonuçları 8°C çevre sıcaklığında deney tesisatında yaşanan bir aksaklıktan dolayı motor soğutma suyunun regülatörün içerisinde dolaşmadığı durumda bulunmuştur. Bu deney sonuçlarına göre çizilen eğriler şekil 7.3'de görülmektedir.



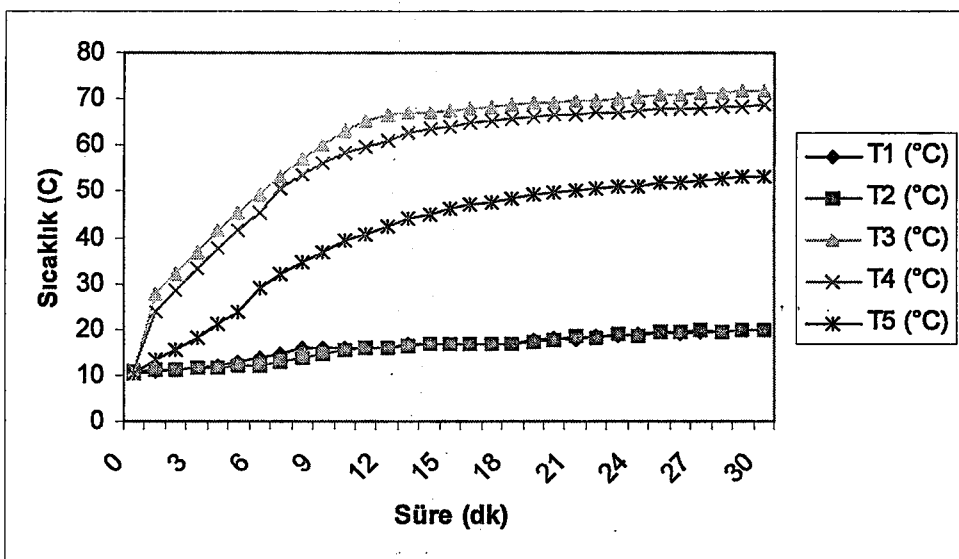
Şekil 7.3. 8°C çevre sıcaklığında ısıtma sistemi devrede iken yapılan deney eğrileri

Şekil 7.3'de 8°C çevre sıcaklığında ısıtma sistemi devrede iken yapılan deney sonuçları görülmektedir. Fakat motor soğutma suyu regülatör içerisinde dolaşmamaktadır. Bu yüzden T_3 ve T_4 sıcaklıklarları arasında fark yoktur ve deney süresince sabit kalmaktadır. T_1 ve T_2 sıcaklıklarları arasındaki fark yine $3-4^{\circ}\text{C}$ fakat T_5 noktasındaki gaz ilk 5 dakika boyunca soğumakta daha sonra ısınmaktadır. Bu da gazın regülatör içerisinde buharlaşması esnasında önce soğuduğunu daha sonra ısındığını göstermektedir.

Tekrarlanan deney sonuçlarına göre çevre sıcaklığının günden güne değişmesi ve çevre sıcaklığının eksİ deİerlere düşmemesinden dolayı egriler arasında tam bir yorum yapılamamaktadır. Bu yüzden deneylere Teknik Bilimler Meslek Yüksekokulu İklimlendirme ve Soğutma laboratuarında bulunan klima odasında devam edilmiştir. Böylece çevre sıcaklığı eksİ deİerlere indirilebilecek ve yapılan sistemin faydaları daha iyi görülecektir. Ayrıca ısıtma sistemi devrede ve devrede değil iken yapılan deney sonuçları arasındaki farkta görülebilecektir. Çevre sıcaklığını istediğimiz değere ayarlananın mümkün olmasından dolayı deneylerin -10, -5, 0, 5, 10 °C çevre sıcaklıklarında yapılmasına karar verilmiştir.

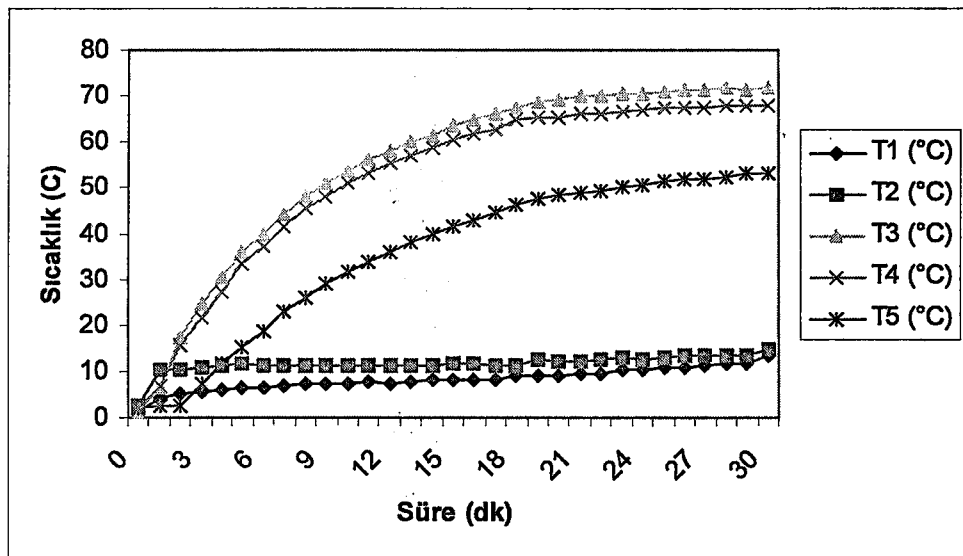


Şekil 7.4. 10 °C çevre sıcaklığında ısıtma sistemi devrede iken yapılan deney egrileri

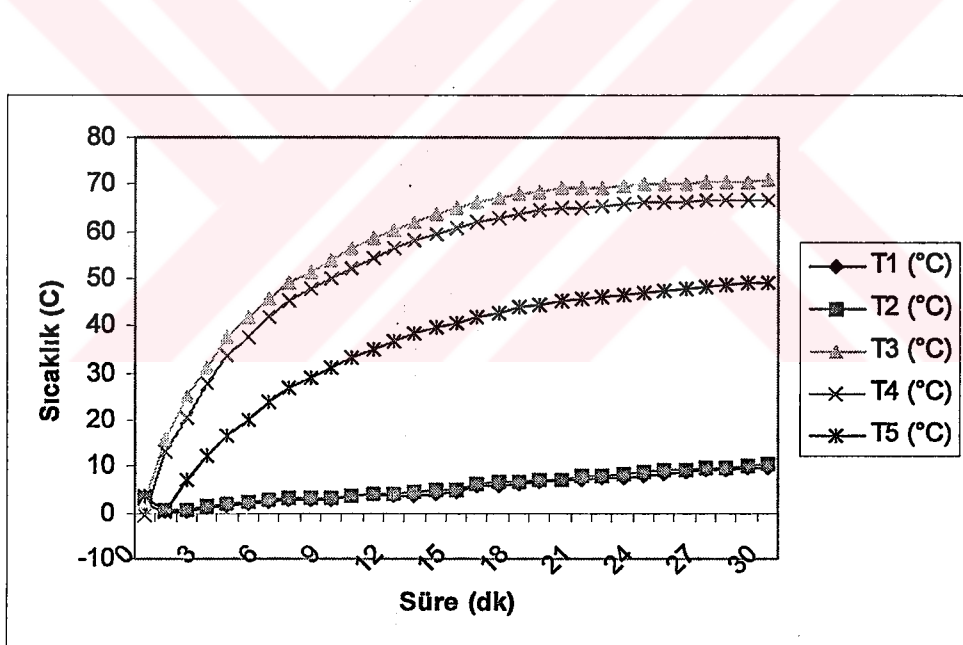


Şekil 7.5. 10 °C çevre sıcaklığında ısıtma sistemi devrede değil iken yapılan deney eğrileri

Şekil 7.4 +10 °C çevre sıcaklığında ısıtma sistemi devrede iken, şekil 7.5 ısıtma sistemi devrede değil iken bulunan deney sonuçlarına göre çizilen eğrilerdir. Şekil 7.4 ve şekil 7.5 ‘deki eğriler incelendiğinde eğrilerin şekil 7.1 ve şekil 7.2.’ye benzediği fakat daha kararlı eğrilerin elde edildiği görülmektedir. Şekil 7.4’de T_1 ve T_2 sıcaklıklarını arasındaki farkın süre ilerledikçe azaldığı görülmektedir. Bunun sebebi klima odasındaki ortamın kapalı olması ve motorun çalışırken oluşturduğu ısının, klimanın çektığı ısından daha fazla olmasıdır. Motor çalıştıkça ortam ısınmakta ve artan çevre sıcaklığından dolayı T_1 sıcaklığı artmaktadır. Isıtma sisteminin sıcaklığı sabit olduğundan T_2 sıcaklığı deneyin başlamasıyla birlikte sabitlenmekte fakat T_1 sıcaklığı çevreden aldığı ısıyla yavaş yavaş artarak T_2 sıcaklığına gelmektedir. Ayrıca bu deneyin başlangıcında sistemin sağladığı faydayı görmek amacıyla motorun marş basılma süresine de bakılmıştır. Isıtma sistemi devrede değil iken motorun 30 sn. marş basılması sonucunda çalıştığı, ısıtma sistemi devrede iken bu sürenin 25 sn.’ye indiği gözlenmiştir. +10 °C çevre sıcaklığında yapılan deneylerin sonuçları EK-7 ve EK-8 ‘de görülmektedir.



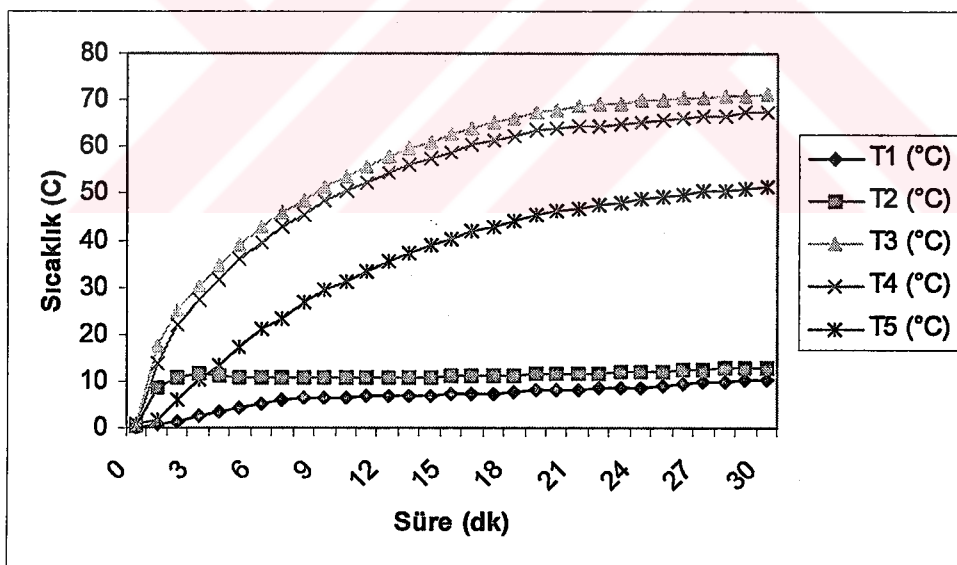
Şekil 7.6. 5 °C çevre sıcaklığında ısıtma sistemi devrede iken yapılan deney eğrileri



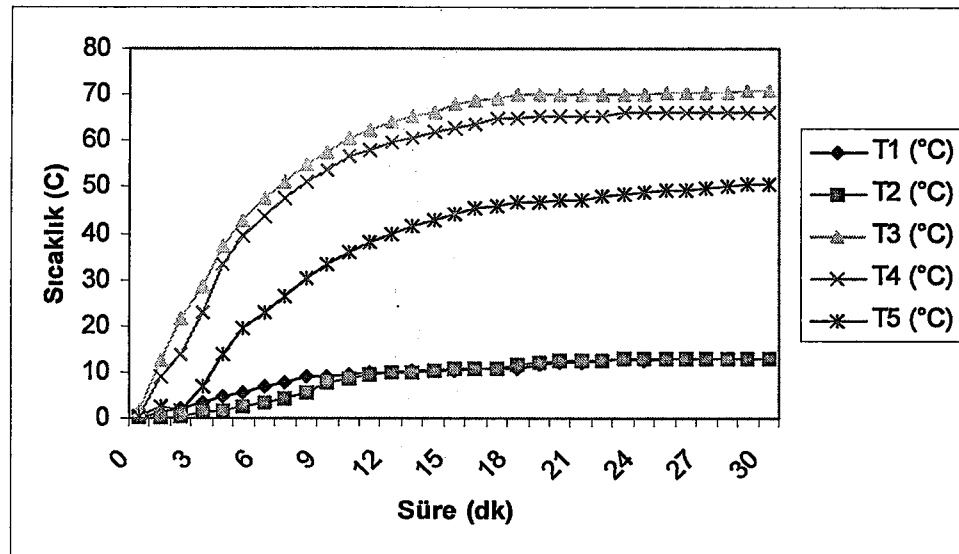
Şekil 7.7. 5 °C çevre sıcaklığında ısıtma sistemi devrede değil iken yapılan deney eğrileri

Şekil 7.6 +5 °C çevre sıcaklığında ısıtma sistemi devrede iken, şekil 7.7 ısıtma sistemi devrede değil iken bulunan deney sonuçlarına göre çizilen eğrilerdir. Şekil 7.6 incelendiğinde T_1 ve T_2 sıcaklıklarını arasındaki farkın $+10\text{ }^{\circ}\text{C}$ sıcaklıkta

yapılan deneye göre daha fazla olduğu görülmektedir. T_1 eğrisi yine çevreden aldığı ısısıyla artmakta fakat daha düşük değerden başladığı için T_2 değerini deney süresince yakalayamamaktadır. Bu eğride gazın motor suyuna verdiği ısı açıkça görülmektedir. Deneyin başlangıcıyla birlikte geçen ilk 2 dakika boyunca motor soğutma suyu, gazın regülatöre giriş sıcaklığından düşüktür. Ayrıca gazın regülatörden çıkış sıcaklığı 5 dakika da gazın regülatöre giriş sıcaklığına eşit olmaktadır. Bu da gazın 5 dakika boyunca motor soğutma suyuna ısı verdiği göstermektedir. Şekil 7.7 incelediğinde ısıtma sistemi çalışmadığı için T_1 ve T_2 sıcaklıklarının eşit olduğu görülmektedir. T_3 ve T_4 sıcaklıkları arasındaki farkın deney başlangıcında $5\text{ }^{\circ}\text{C}$, süre ilerledikçe farkın $4\text{ }^{\circ}\text{C}$ ye düştüğü görülmektedir. Motor soğutma suyunun girişyle çıkışı arasındaki bu fark gaz tarafından emilmektedir. $5\text{ }^{\circ}\text{C}$ sıcaklıkta yapılan bu iki deneydeki en önemli nokta ısıtma sistemi devrede değil iken motorun LPG yakıt ile çalıştırılamaması, ilk hareketin benzin ile yapılmasıdır. Fakat ısıtma sistemi çalıştırılarak yapılan deneyde ise motorun 20 sn'de LPG ile çalışmasıdır. $5\text{ }^{\circ}\text{C}$ çevre sıcaklığında yapılan deneylerin sonuçları EK-9 ve EK-10'da görülmektedir.

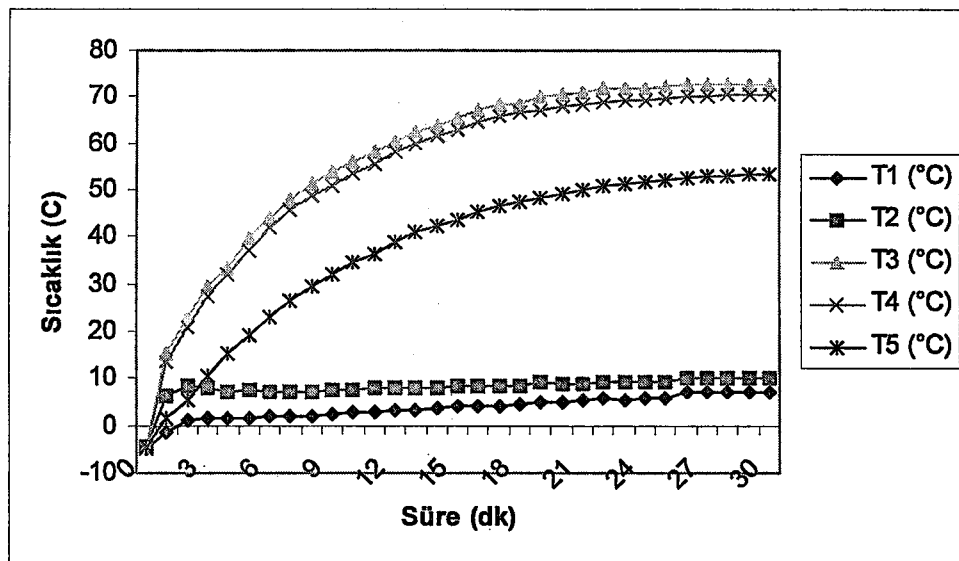


Şekil 7.8. $0\text{ }^{\circ}\text{C}$ çevre sıcaklığında ısıtma sistemi devrede iken yapılan deney eğrileri

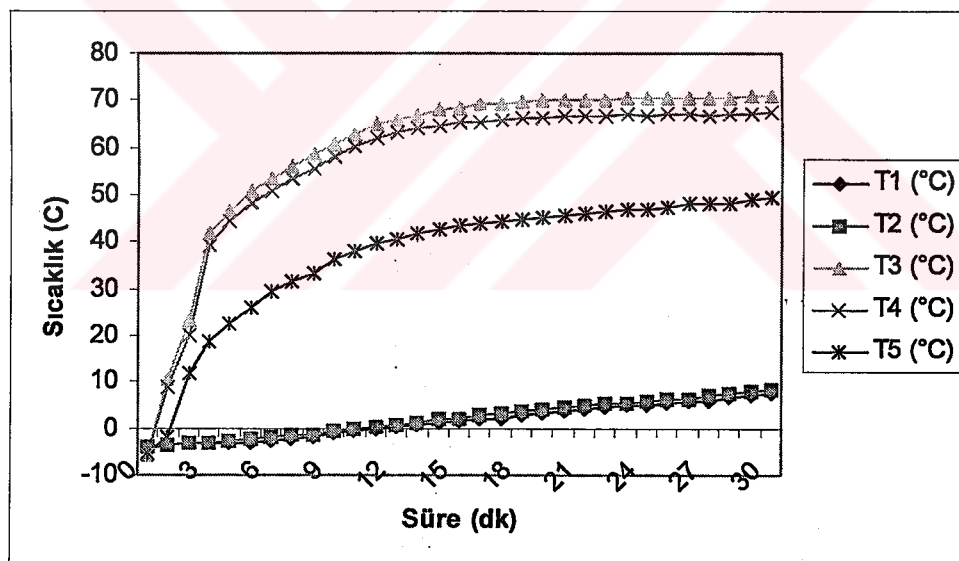


Şekil 7.9. 0 °C çevre sıcaklığında ısıtma sistemi devrede değil iken yapılan deney eğrileri

Şekil 7.8, 0 °C çevre sıcaklığında ısıtma sistemi devrede iken, şekil 7.9 ısıtma sistemi devrede değil iken bulunan deney sonuçlarına göre çizilen eğrilerdir. Şekil 7.8 incelendiğinde T_1 ve T_2 sıcaklıklarları arasındaki farkın biraz daha arttığı görülmektedir. T_2 ve T_5 sıcaklıklarının eşitlenmesi esnasında geçen sürede kısalmıştır. T_2 eğrisi incelendiğinde başlangıçta sıcaklığın ani olarak arttığı daha sonra bir tepe noktası oluşturarak çok az azalarak sabitlendiği görülmektedir. T_1 sıcaklığı da deney süresince artmaktadır. Bu artış çevre sıcaklığındaki artıştan kaynaklanmaktadır. Motorun çalışma süresi incelendiğinde ısıtma sistemi devrede değilken motorun LPG ile çalıştırılamadığı, fakat ısıtma sistemi devrede iken motorun 40 sn'de LPG ile çalıştırıldığı gözlenmiştir. 0 °C çevre sıcaklığında yapılan deneylerin sonuçları EK-11 ve EK-12'de görülmektedir.



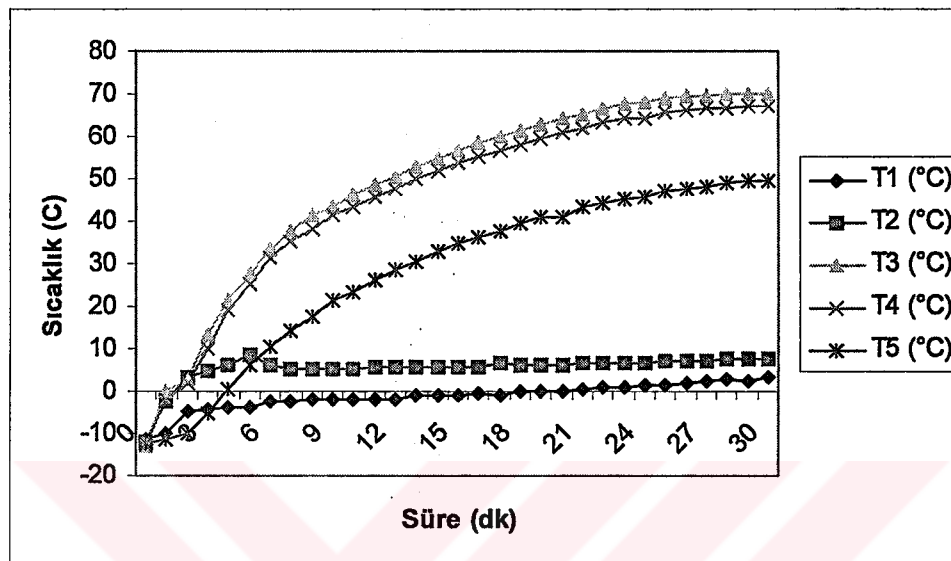
Şekil 7.10. -5°C çevre sıcaklığında ısıtma sistemi devrede iken yapılan deney eğrileri



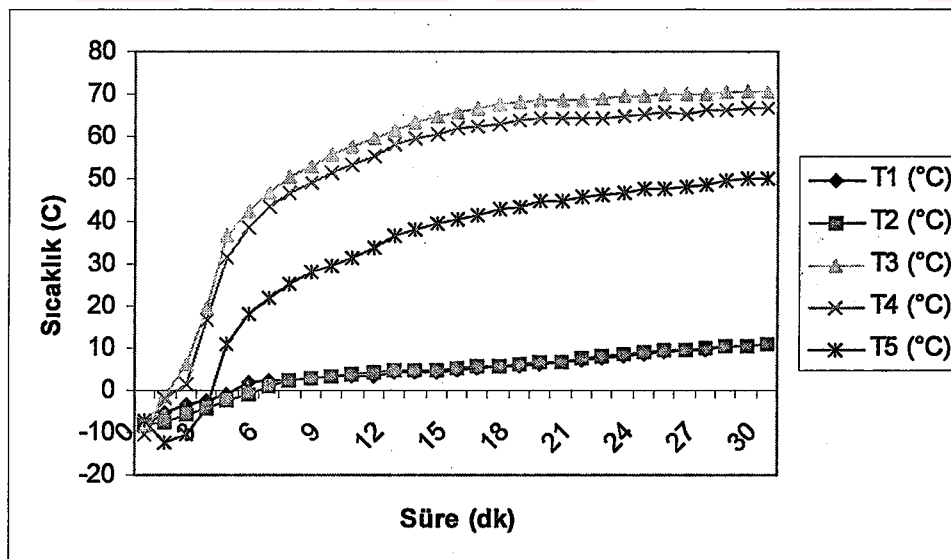
Şekil 7.11. -5°C çevre sıcaklığında ısıtma sistemi devrede değil iken yapılan deney eğrileri

Şekil 7.10 -5°C çevre sıcaklığında ısıtma sistemi devrede iken, Şekil 7.11 ısıtma sistemi devrede değil iken bulunan deney sonuçlarına göre çizilen eğrilerdir. Şekil 7.10 incelendiğinde T_2 ve T_5 sıcaklıklarının eşitlenmesi esnasında geçen

sürenin daha da kısalıldığı görülmektedir. Motorun çalışma süresi incelendiğinde ısıtma sistemi devrede değilken ve devrede iken motorun LPG ile çalıştırılamadığı görülmüştür. -5°C çevre sıcaklığında yapılan deneylerin sonuçları EK-13 ve EK-14'de görülmektedir.



Şekil 7.12. -10°C çevre sıcaklığında ısıtma sistemi devrede iken yapılan deney eğrileri

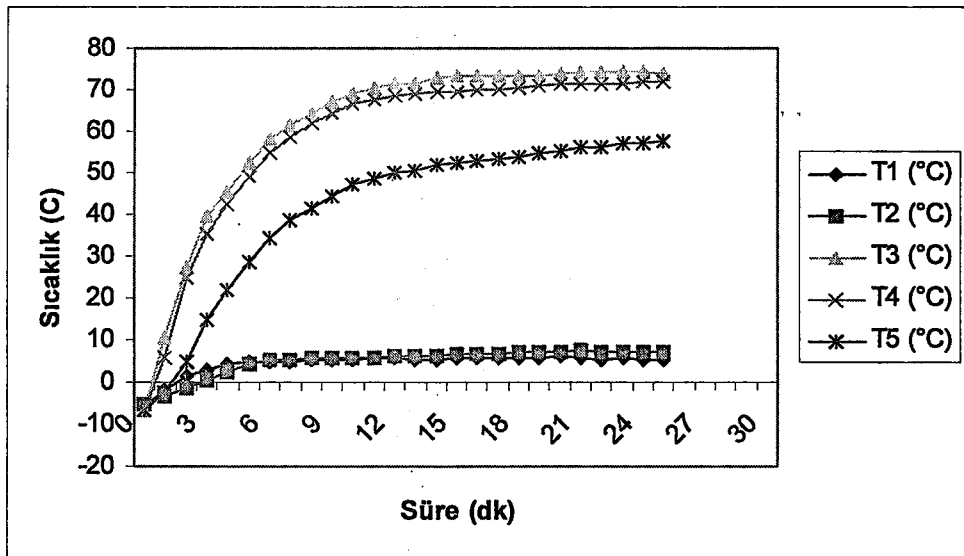


Şekil 7.13. -10°C çevre sıcaklığında ısıtma sistemi devrede değil iken yapılan deney eğrileri

Şekil 7.12, -10 °C çevre sıcaklığında ısıtma sistemi devrede iken, şekil 7.13 ısıtma sistemi devrede değil iken bulunan deney sonuçlarına göre çizilen eğrilerdir. Şekil 7.12 incelendiğinde T_2 ve T_5 sıcaklıklarının eşitlenmesi esnasında geçen sürenin arttığı görülmektedir. Ayrıca T_1 sıcaklığının çok hızlı bir şekilde artması sonucu çevre sıcaklığından dolayı oluşan kayıpların arttığını göstermektedir. Motor ilk çalıştırma esnasında her iki durumda da LPG yakıtı ile çalıştırılamamıştır. Motor benzinle çalıştırılıp çalışmasına LPG ile devam edilerek değerler alınmıştır. -10 °C çevre sıcaklığında yapılan deneylerin sonuçları EK-15 ve EK-16'da görülmektedir.

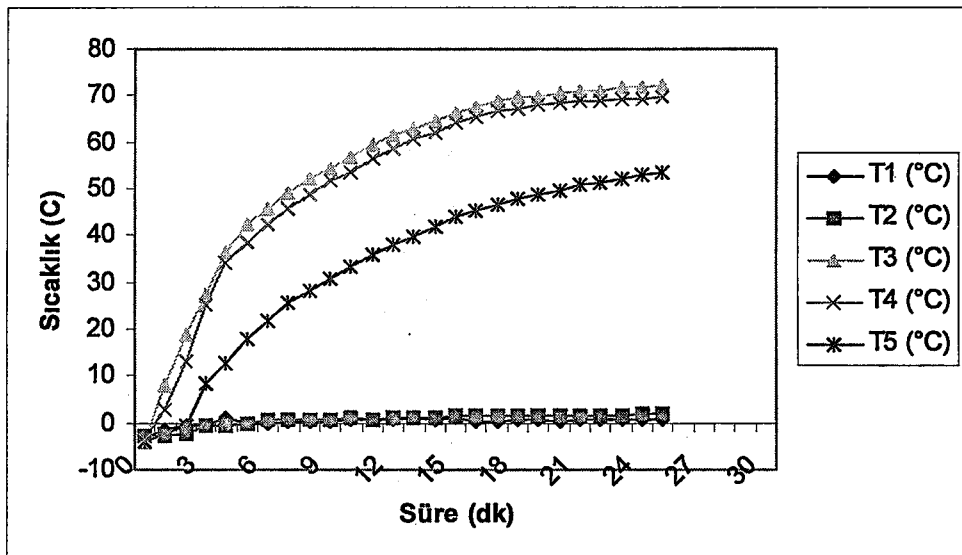
Yapılan bu deneyler sonucunda 0 °C'nin altındaki çevre sıcaklığı şartlarında oluşan kayıpların arttığı görülmüştür. Bu yüzden LPG deposunun ısısının sabit tutulabilmesi için deponun soğutucu içeresine yerleştirilmesine boru bağlantılarının ısı yalıtımı yapılmasına ve klima odasının kapısından oluşan ısı kayıplarının azaltılması için kapının içерiden ısı yalıtım malzemesi ile kaplanması karar verilmiştir. Böylelikle deney esnasında oluşacak ısı kayıpları daha düşük değerlere indirilebilecektir. Ayrıca 0 °C'nin altındaki hava şartlarında motorun LPG ile çalıştırılabilmesi için ısıtıcı elemanların sıcaklığını kontrol eden sıcaklık kontrol cihazının sıcaklık ayarının kademeli olarak arttırılmasına karar verilmiştir.

Deney şartlarında yapılan bu değişikliklerden sonra şartların yeterli olup olmadığınnın anlaşılması için deney başlangıç sıcaklığı -5.3°C , -3.5°C ve -2°C olan 3 deney yapılmıştır. Üç deneyde de LPG deposunun yerleştirildiği soğutucunun sıcaklığı -10°C 'de sabit tutulmuştur.

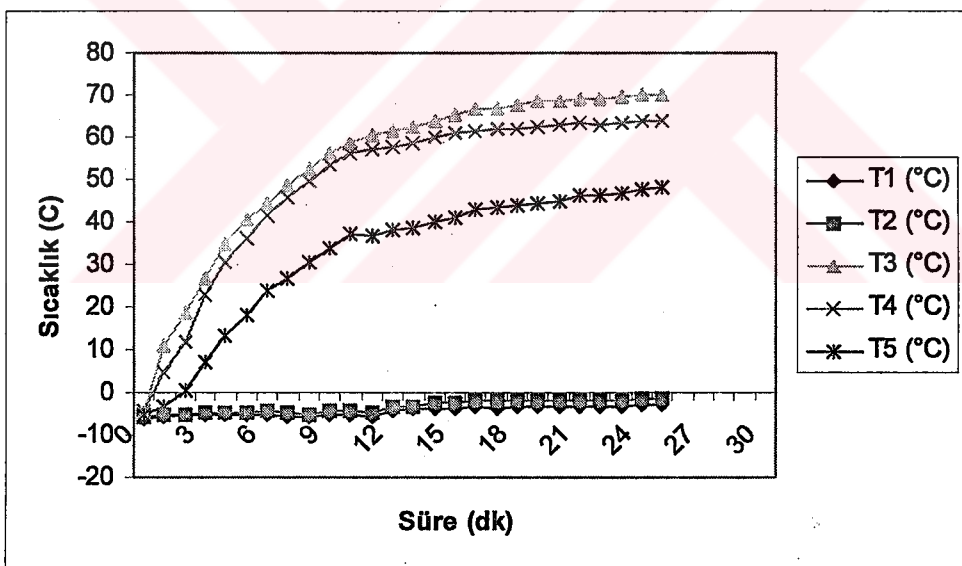


Şekil 7.14. -5.3°C çevre sıcaklığında ısıtma sistemi devrede değil iken yapılan deney eğrileri

Şekil 7.14'deki eğrilerin elde edildiği deneyde ısıtma sistemi devrede değildir. Bu yüzdende T_1 ve T_2 sıcaklıklarını birbirine eşittir. Fakat T_1 ve T_2 sıcaklıklarını deney süresince sabit kalması gerekirken ilk başlangıç esnasında yine bir artış vardır. LPG deposunun içinde bulunduğu soğutucunun sıcaklığı -10°C 'de sabit olmasına rağmen T_1 ve T_2 sıcaklıklarının yükselmesinin sebebinin LPG deposu ile ısıtma sistemi arasındaki bakır borunun yalıtılmamasından kaynaklanmaktadır. Bu deney sonucuna göre LPG deposu ile ısıtma sistemi arasında bulunan bakır borunun ısı yalıtım malzemesiyle kaplanması karar verilmiştir. $-5,3^{\circ}\text{C}$ çevre sıcaklığında yapılan deneyin sonuçları EK-17'de görülmektedir.



Şekil 7.15. $-3.5\text{ }^{\circ}\text{C}$ çevre sıcaklığında ısıtma sistemi devrede değil iken yapılan deney eğrileri

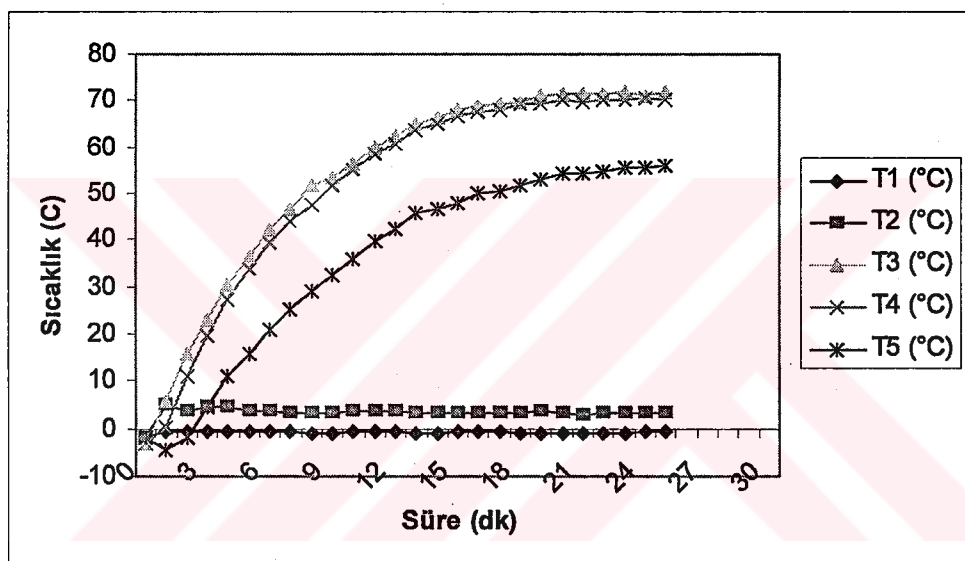


Şekil 7.16. $-2\text{ }^{\circ}\text{C}$ çevre sıcaklığında ısıtma sistemi devrede değil iken yapılan deney eğrileri

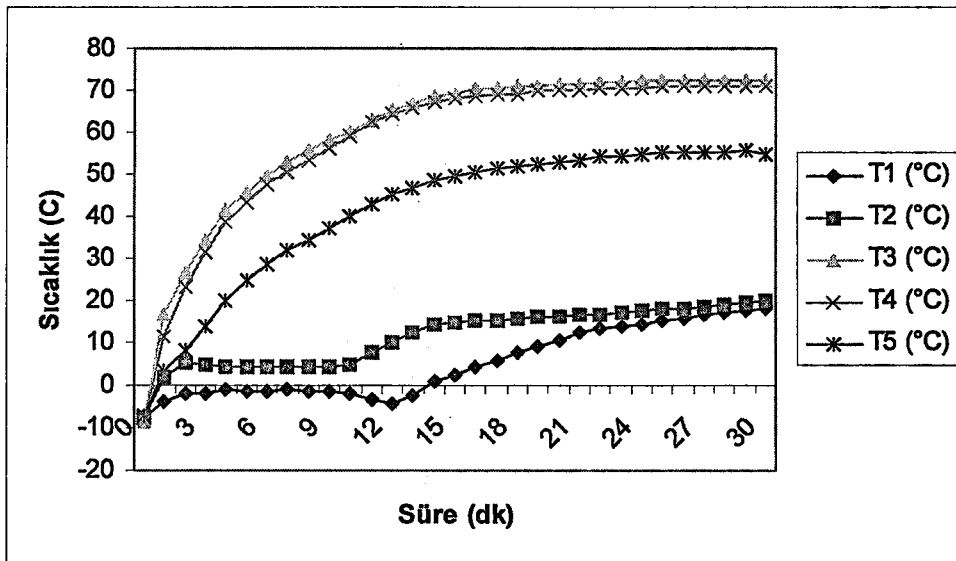
Şekil 7.15 ve şekil 7.16 bakır borunun ısı yalıtılmalzemesi ile kaplanmasıından sonra $-3.5\text{ }^{\circ}\text{C}$ ve $-2\text{ }^{\circ}\text{C}$ çevre sıcaklığında ısıtma sistemi devrede değil iken yapılan deneylere ait eğrilerdir. T_1 ve T_2 sıcaklık eğrilerinden de

görüleceği üzere bakır borunun ısı yalıtmalzemesi ile kaplanması ile oluşan kayıplar oldukça azalmış ve LPG'nin ısıtma sistemi giriş sıcaklığı, sabit bir değere getirilebilmektedir. -3.5°C ve -2°C çevre sıcaklığında yapılan deneylerin sonuçları EK-18 ve EK-19'da görülmektedir.

Yapılan bu 3 deney sonucunda deney şartlarından kaynaklanan olumsuzlukların giderildiği anlaşılmıştır. Aynı deney şartlarında ısıtma sistemi devrede iken -2.3°C ve -6°C başlangıç çevre sıcaklığı şartlarında 2 deney yapılmıştır.



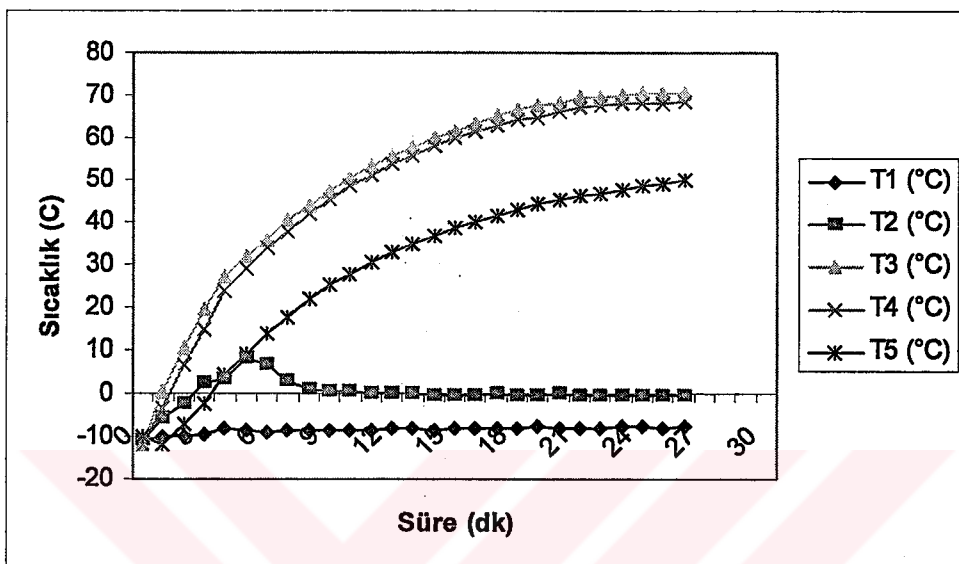
Şekil 7.17. -2.3°C çevre sıcaklığında ısıtma sistemi devrede iken yapılan deney eğrileri



Şekil 7.18. -6°C çevre sıcaklığında ısıtma sistemi devrede iken yapılan deney eğrileri

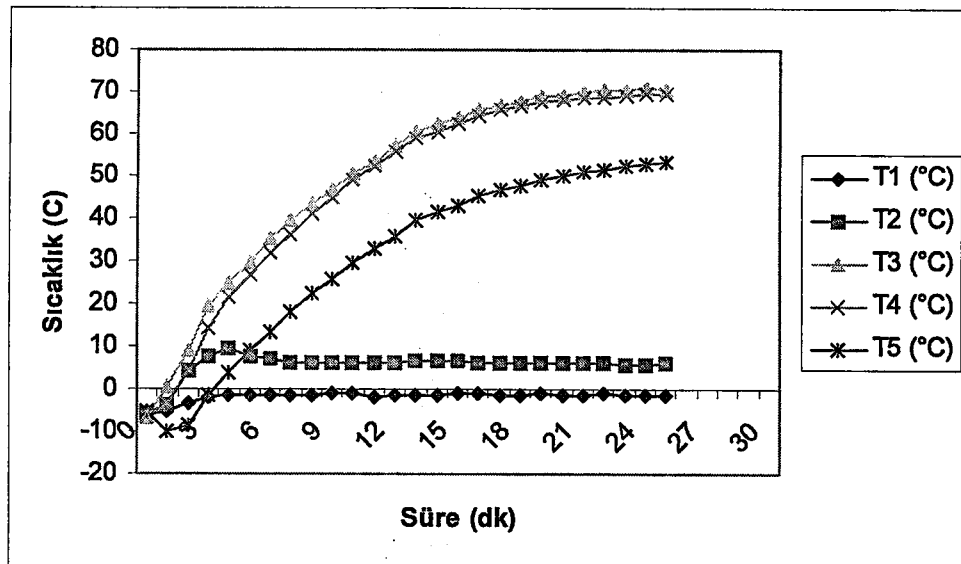
Şekil 7.17 ve şekil 7.18'deki eğrilerle ait deneyler sıcaklık kontrol cihazı 20°C 'ye ayarlıken yapılmıştır. Şekil 7.17 incelendiğinde T_2 sıcaklığı anı olarak maximum değerine çıkmakta ve sabitlenmektedir. Bu deney sonucuna göre ısıtma sistemi tarafından LPG'ye verilen sıcaklık değeri yaklaşık olarak 5°C olarak bulunmuştur. Motorun çalışma süresine bakıldığından 25 sn'de motorun çalıştığı gözlenmiştir. Şekil 7.18 incelendiğinde yine T_2 sıcaklığı anı olarak yükselmektedir. Fakat T_1 ve T_2 sıcaklık değerleri 10. dakikada artmaktadır. Bunun sebebi deney esnasında gaz telinin boşça çıkışından dolayı motor devrinin değişmesidir. Motor devrinin azalmasıyla birlikte ısıtma sistemi içerisinde geçen yakıtın debisi azalmakta buna paralel olarak T_2 değeri yükselmekte T_1 sıcaklığı önce azalıp sonra yavaşça yükselmektedir. Bunun sebebi LPG ısıtma sisteminden geçerken daha uzun süre kalmasından dolayı olabilir. Bu deney sonucunda motor çalışma süresine bakıldığından motorun ısıtma sistemiyle çalıştırılamadığı gözlenmiştir. -2.3°C ve -6°C çevre sıcaklığında yapılan deneylerin sonuçları EK-20 ve EK-21'de görülmektedir.

Yapılan bu deneyler sonucunda ısıtma sisteminin ilk çalışma esnasında yakıt gereklili olan ısıyı veremediği görülmüş deneylere ısıtma sisteminin sıcaklık kontrolünü yapan sıcaklık kontrol cihazının ayarının $20\text{ }^{\circ}\text{C}$ 'den kademeli olarak $10\text{ }^{\circ}\text{C}$ arttırılmasına karar verilmiştir.



Şekil 7.19. $-12\text{ }^{\circ}\text{C}$ çevre sıcaklığında sıcaklık kontrol cihazı $30\text{ }^{\circ}\text{C}$ 'ye ayarlı iken yapılan deney eğrileri

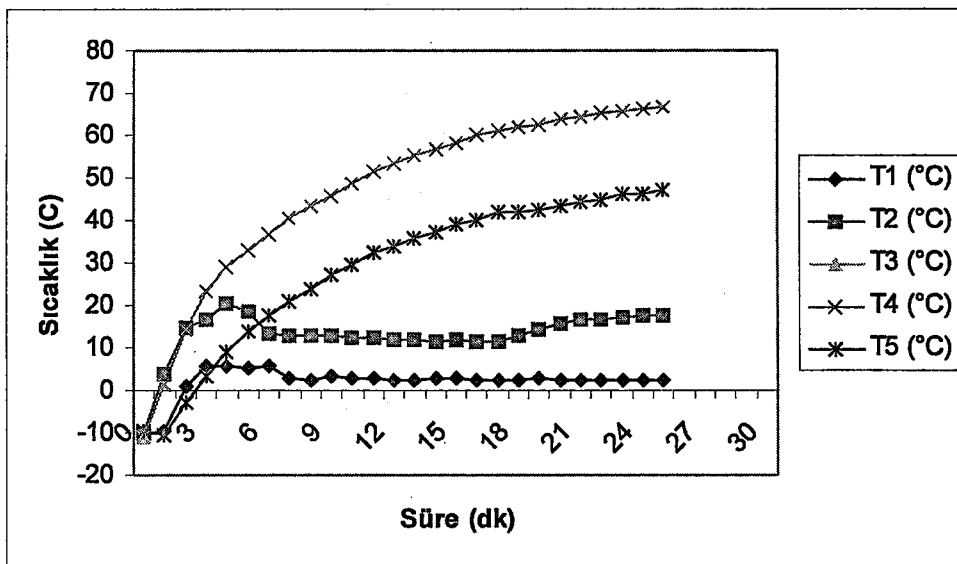
Şekil 7.19'daki eğrilere ait deneyde sıcaklık kontrol cihazının ayarı $30\text{ }^{\circ}\text{C}$ ye çıkarılmıştır. Böylelikle ısıtma sistemi üzerindeki termoelektrik modüller daha yüksek sıcaklıklara çıkacaktır. Eğriler incelendiğinde T_3 , T_4 ve T_5 eğrilerinin diğer deneylerdeki eğrilerle aynı olduğu görülmektedir. Fakat T_2 eğrisi başlangıçta ani olarak artmakta ve daha sonra azalarak sabitlenmektedir. Motor soğutma suyu sıcaklığının da çok hızlı bir şekilde artması bu deney esnasında görülen farklardan biridir. Motorun çalışma süresine bakıldığında motorun LPG ile 12 sn'de çalıştığı gözlenmiştir. $-12\text{ }^{\circ}\text{C}$ çevre sıcaklığında sıcaklık kontrol cihazı $30\text{ }^{\circ}\text{C}$ 'ye ayarlı iken yapılan deneyin sonuçları EK-22'de görülmektedir.



Şekil 7.20. $-5.8\text{ }^{\circ}\text{C}$ çevre sıcaklığında sıcaklık kontrol cihazı $40\text{ }^{\circ}\text{C}$ 'ye ayarlı iken yapılan deney eğrileri

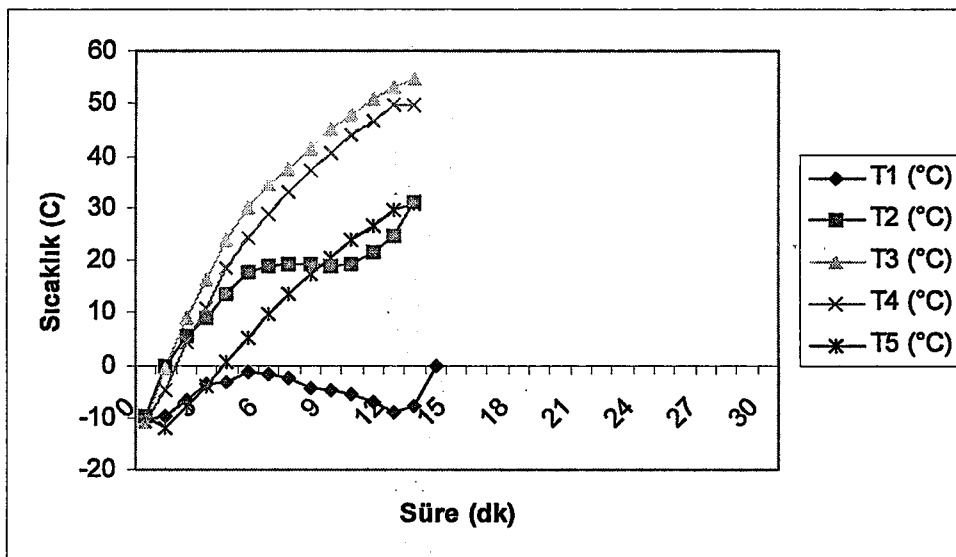
Şekil 7.20'deki eğrilere ait deneyde sıcaklık kontrol cihazının ayarı $40\text{ }^{\circ}\text{C}$ ye çıkarılmıştır. T_2 eğrisinde maximum noktanın bir önceki deneye göre yaklaşık $2\text{ }^{\circ}\text{C}$ arttığı görülmektedir. Ayrıca T_1 sıcaklığının da başlangıçta arttığı daha sonra sabitlendiği görülmektedir. Isıtma sisteminden geçen LPG'nin debisi az olduğundan ısıtma sisteminin girişindeki LPG'yi de ısıtmasıdır. Motorun çalışma süresinin 10 sn'ye düşüğü görülmektedir. $-5.8\text{ }^{\circ}\text{C}$ çevre sıcaklığında sıcaklık kontrol cihazı $40\text{ }^{\circ}\text{C}$ 'ye ayarlı iken yapılan deneyin sonuçları EK-23'de görülmektedir.

Sıcaklık kontrol cihazı $50\text{ }^{\circ}\text{C}$ 'ye ayarlandığı durumda 3 deney yapılmıştır. Bunun sebebi yapılan ilk deneyde T_3 sıcaklığını ölçen termokuplun arızalanması ve T_1 sıcaklığının ısıtma sisteminden dolayı kaynaklanan artışının çok fazla olmasıdır. Ayrıca ikinci deneyde de depodaki LPG'nin bitmiş ve yeni bir deneyin yapılması gerekmistiştir.



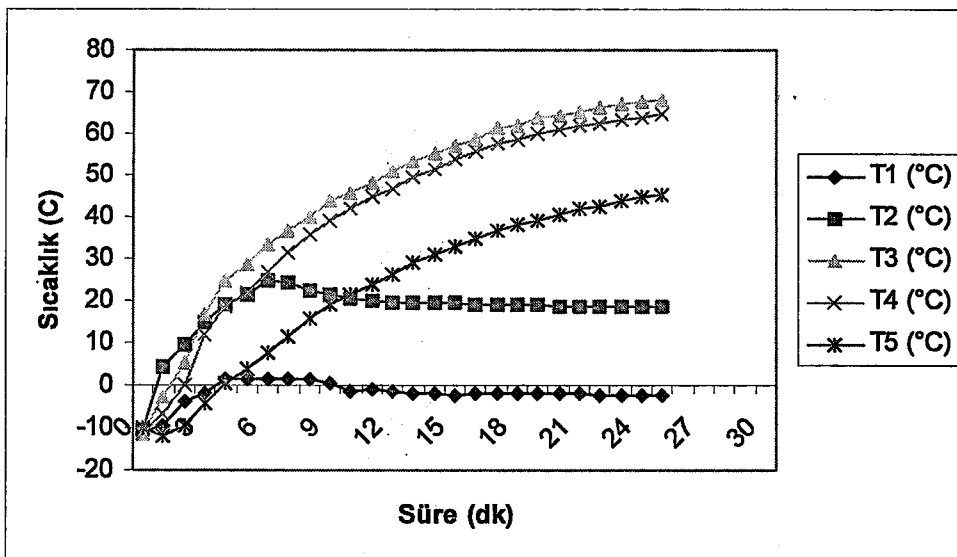
Şekil 7.21. $-8.8\text{ }^{\circ}\text{C}$ çevre sıcaklığında sıcaklık kontrol cihazı $50\text{ }^{\circ}\text{C}$ 'ye ayarlı iken yapılan deney eğrileri

Şekil 7.21, $-8.8\text{ }^{\circ}\text{C}$ çevre sıcaklığında sıcaklık kontrol cihazı $50\text{ }^{\circ}\text{C}$ 'ye ayarlı iken yapılan ilk deney sonucuna göre çizilen eğrilerdir. Şekil 7.21'de T_3 sıcaklığının eğrisi görülmemektedir. Bunun sebebi T_3 sıcaklığının ölçümünde kullanılan termokuplun arızalanmasıdır. Deneyin başlangıcında yaşanan bu arızaya rağmen deneye devam edilmiştir. T_1 eğrisi incelendiğinde, bir önceki deneyde ısıtma sisteminin debisinden dolayı kaynaklanan artışın bu deneyde daha fazla ve ani olarak arttığı görülmektedir. T_2 eğrisinin maximum noktası da diğer deneylerdeki sonuçlardan daha yüksek çıkmıştır. Motorun çalışma süresi de 5 sn'ye inmiştir. $-8.8\text{ }^{\circ}\text{C}$ çevre sıcaklığında sıcaklık kontrol cihazı $50\text{ }^{\circ}\text{C}$ 'ye ayarlı iken yapılan deneyin sonuçları EK-24'de görülmektedir.



Şekil 7.22. $-10.1\text{ }^{\circ}\text{C}$ çevre sıcaklığında sıcaklık kontrol cihazı $50\text{ }^{\circ}\text{C}$ 'ye ayarlı iken yapılan deney eğrileri

Şekil 7.22, $-10.1\text{ }^{\circ}\text{C}$ çevre sıcaklığında sıcaklık kontrol cihazı $50\text{ }^{\circ}\text{C}$ 'ye ayarlı iken yapılan ikinci deney sonucuna göre çizilen eğrilerdir. T_3 termokuplu değiştirilerek yapılan bu deney esnasında da 13. dakikada depodaki LPG bitmiş ve motor stop etmiştir. T_1 'deki artış bu deney sonucunda da görülmektedir. Fakat 7. dakikada basınç göstergelerinde basıncın düşüğü gözlenmiştir. Bu noktadan sonra T_1 sıcaklığı düşmekte T_2 sıcaklığı da yükselmektedir. Bu deneyden çıkarılan sonuç bize önemli bir noktayı göstermektedir. Isıtma sistemi depodaki LPG biterken halen çalıştırılmaya devam edilirse T_2 sıcaklığının çok yüksek değerlere çıkarmaktadır. Motor çalışma süresi bu deneyde de 5 sn olarak ölçülmüştür. $-10.1\text{ }^{\circ}\text{C}$ çevre sıcaklığında sıcaklık kontrol cihazı $50\text{ }^{\circ}\text{C}$ 'ye ayarlı iken yapılan deneyin sonuçları EK-25'de görülmektedir.



Şekil 7.23. $-11.1\text{ }^{\circ}\text{C}$ çevre sıcaklığında sıcaklık kontrol cihazı $50\text{ }^{\circ}\text{C}$ 'ye ayarlı iken yapılan deney eğrileri

Şekil 7.23, $-11.1\text{ }^{\circ}\text{C}$ çevre sıcaklığında sıcaklık kontrol cihazı $50\text{ }^{\circ}\text{C}$ 'ye ayarlı iken yapılan üçüncü deney sonucuna göre çizilen eğrilerdir. Sıcaklık kontrol cihazı $50\text{ }^{\circ}\text{C}$ 'ye ayarlı olduğu durumda yapılan 3. deneyde de T_1 sıcaklığındaki artışın yüksek olması, bu artışın normal olduğunu kanıtlamaktadır. Ayrıca sıcaklık kontrol cihazı $50\text{ }^{\circ}\text{C}$ 'ye ayarlı iken T_2 sıcaklığındaki maximum nokta biraz daha yükselterek $24.7\text{ }^{\circ}\text{C}$ 'ye çıkmıştır. Motor çalışma süresi de 8 sn olarak ölçülmüştür. $-11.1\text{ }^{\circ}\text{C}$ çevre sıcaklığında sıcaklık kontrol cihazı $50\text{ }^{\circ}\text{C}$ 'ye ayarlı iken yapılan deneyin sonuçları EK-26'da görülmektedir.

8. TASARLANAN İSİTMA SİSTEMİ

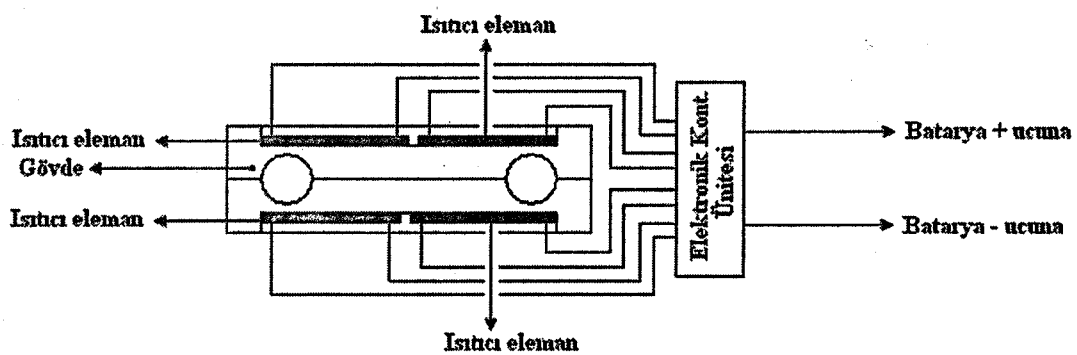
Tasarlanan “LPG’yi yakıt olarak kullanan taşıtların soğukta ilk hareketini kolaylaştırıcı sistem” laboratuar şartlarında üretilmiştir ve bu tezde anlatılan seri deneylere tabi tutulmuştur. Tasarlanan ısıtma sisteminin endüstriyel tasarımını yapılarak taşıtlara bit kit olarak takılabilcek duruma getirilecektir. Isıtma sistemi temel olarak 3 ana bölümden oluşmaktadır. Bunlar;

- Isıtıcı eleman
- Gövde
- Elektronik kontrol ünitesidir.

Isıtıcı elemanın görevi aküden aldığı elektrik akımını ısıya çevirmektedir. Elektronik kontrol ünitesinin görevi ise çevre hava sıcaklığını ölçerek ısıtıcı eleman üzerine gönderilecek olan akımın süresini ayırmak suretiyle ısıtma sisteminin sıcaklığını kontrol etmektir. Yapılan deneylerin sonucuna göre elektronik kontrol ünitesinin hesaplamada kullanacağı formül şu şekilde olmalıdır.

$$X = 35 - Y$$

Bu formülde X ısıtıcı elemanın üreteceği sıcaklık değerini, Y ise çevre sıcaklığını belirtmektedir. X ve Y sıcaklık değerleri elektronik kontrol ünitesi tarafından sürekli olarak ölçülecektir. Bu yüzden ısıtma sisteminde 2 termokopl kullanılacaktır. Tasarlanan ısıtma sisteminin şematik görünüşü şekil 8.1'de görülmektedir.



Şekil 8.1. Tasarlanan ısıtma sisteminin şematik görünüşü

9. SONUÇ ve ÖNERİLER

Bu çalışmada LPG'yi yakıt olarak kullanan taşıtların soğukta ilk hareketini kolaylaştırıcı sistemin tasarımını ve imalatı yapılmıştır. Ayrıca sistem gerçek bir motorda denenerek sonuçlar elde edilmiştir.

Benzinle çalışan içten yanmalı motor LPG ile çalışabilecek şekilde dönüşümü yapılmış ve tasarlanan ısıtma sistemi LPG selenoid valfi ile regülatör arasına yerleştirilmiştir. Çevre sıcaklığı değerleri değiştirilerek motorun ilk harekete geçme süreleri ile tasarlanan ısıtma sisteminin LPG sisteminde dolaşan gazın 5 noktadaki sıcaklık değişimleri incelenmiştir.

Deneysel sabit devirde (1000 dev/dak) farklı çevre sıcaklıklarında ısıtma sistemi devrede ve devrede değil iken olmak üzere 2 tipte yapılmıştır. Kontağıın açılmasıyla birlikte devreye giren ısıtma sistemi 30 sn çalışıktan sonra mars butonuna basılmaktadır. Mars butonuna basıldıktan sonra geçen süre ölçülmektedir.

Motorun ilk harekete geçiş süreleri incelendiğinde ısıtma sistemi devrede değilken +10 ve +5 °C sıcaklık değerlerinde motorun LPG yakımı ilk harekete geçtiği, 0 °C, -5 °C ve -10 °C çevre sıcaklığı şartlarında ise motorun ilk harekete geçmediği gözlenmiştir. Isıtma sistemi devrede ve sıcaklık kontrol cihazı 20 °C'ye ayarlı iken 0 °C çevre sıcaklığında motorun ilk harekete geçiş süresi 40 sn olarak gözlenmiştir. Fakat -5 °C ve -10 °C çevre sıcaklığı şartlarında motorun LPG ile ilk harekete geçmediği gözlenmiştir. Sıfırın altındaki çevre sıcaklıklarında motorun LPG ile ilk harekete geçmesini sağlamak için sıcaklık kontrol cihazının ayarı 30 °C, 40 °C ve 50 °C'ye çıkarılmasıyla motorun ilk harekete geçiş sürelerinin azaldığı görülmüştür. -10 °C çevre sıcaklığında sıcaklık kontrol cihazı 50 °C'ye ayarlı iken motorun ilk harekete geçiş süresi 5 sn olarak görülmüştür.

LPG sistemi üzerinde ölçüm yapılan 5 noktadan elde edilen sıcaklık değerlerindeki değişimler incelendiğinde, ısıtma sistemi devrede iken LPG'nin

regülatöre giriş sıcaklığı 2 dakika gibi kısa bir sürede arttırılabilir. Ayrıca ısıtma sistemi devrede iken motor soğutma suyundan daha az ısı alınmaktadır. Isıtma sisteminin çıkışındaki sıcaklık 3 dakikalık bir sürede maximum değerine ulaşmakta ve daha sonra bir miktar azalarak sabit bir sıcaklık değerinde regülatöre girmektedir. Sıcaklık kontrol cihazı 50 °C'ye ayarlı olduğu durumda yapılan deneylerde bu sonuç açıkça görülebilmektedir.

Yapılan deneyler sonucunda tasarlanan ısıtma sisteminin kontrolünü yapacak olan elektronik devrenin çevre sıcaklığına bağlı olarak, sıcaklık kontrolünü yapması uygun görülmüştür. Yapılan deneylerde sıcaklık kontrol cihazının 20 °C'ye ayarlı olduğu durumda 5 °C çevre sıcaklığındaki motorun ilk harekete geçişini kolaylaştırdığı, 30 °C'ye ayarlı olduğunda sıfırın altındaki çevre sıcaklığı değerlerinde motorun ilk harekete geçişini kolaylaştırdığı, sıcaklık kontrol cihazının ayarını 40 °C ve 50 °C'ye çıkarıldığında ise motorun ilk harekete geçiş süresinin daha da kısalığı görülmüştür.

Isıtma sistemi ilk 5-6 dakikalık zaman da çalıştırılmalı daha sonra devreden çıkarılmalıdır. Çünkü motor soğutma suyu bu süre sonun da LPG'nin karbüratöre giriş sıcaklığından yüksek bir değere çıkabilemektedir. Böylelikle LPG'nin ihtiyaç duyduğu ısı motor soğutma suyundan karşılanabilir.

Bundan sonraki çalışmalarda tasarlanan ısıtma sistemi bir taşıt üzerinde dış çevre ortamının düşük olduğu bölgelerde denenebilir. Değişik motor devirlerinde ısıtma sisteminin davranışları araştırılabilir. Tasarlanan ısıtma sisteminin motorların ilk hareket esnasında oluşan egzoz emisyonu değerleri üzerine etkisi olup olmadığı araştırılabilir.

10. KAYNAKLAR

- Aktay, İ., 2002. Otto Motorlarında LPG Kullanımının Motor Performansına ve Egzoz Emisyonlarına Etkisinin İrdelenmesi, Dumlupınar Üniversitesi Fen Bilimleri Enstitüsü Yüksek Lisans Tezi, Kütahya.
- Anonim 2000. Araçlarda LPG Dönüşümü Mühendis El Kitabı., Makine Mühendisleri Odası Yayın No: 217/2, Ankara.
- Anonymous a, 2005. www.lpga.co.uk
- Anonymous b, 2005. www.autogas.nl
- Aydın F., Kaştaş Y. 1999. İçten Yanmalı Motorlarda Sıvılaştırılmış Petrol Gazının Kullanımı-Emisyonlara ve Motor Performansına Etkisi, Gazi Üniversitesi Teknik Eğitim Fakültesi Makine Eğitimi Bölümü Otomotiv Öğretmenliği Anabilimdalı Bitirme Projesi, Ankara.
- Aydın K., Gizir Ö., 1995. Alternatif Yakıtların Otto Motorlarında Kullanılabilirliğinin, Motor Performansına ve Egzoz Emisyonlarına Etkilerinin Araştırılması, 10.Uluslararası İleri Bilimler ve Teknoloji Kongresi, Ankara.
- Ayhaner, M., 1995. Araçlarda LPG ve CNG Uygulaması, Mühendis ve Makine Dergisi, Cilt:36, Sayı:423, Nisan, Ankara.
- Başer A., 1998. Benzin Motorlarında Kısmi Gaz Kelebek Açıklığında LPG Kullanımı Üzerine Araştırma, GÜ. Fen Bilimleri Enstitüsü Yüksek Lisans Tezi, Ankara.
- Bayındır H., İlkılıç C., Sarsılmaz C., 1997. Yerli Otomobillerde LPG Kullanımı, 1. Uluslararası Katılımlı Otomotiv Teknolojisi Kongresi, Adana.
- Bayraktar, H., Durgun, O., 2004. Buji ile ateşlemeli Motorlar İçin Alternatif Yakıtların Teorik Değerlendirilmesi ve Pratik Uygunluk, Mühendis ve Makine Dergisi, Cilt:45, Sayı:533, Haziran, Ankara.
- Chen Z., Konno M., Goto S., 2001. Study on Homogenous premixed charge CI Engine fueled with LPG, JSME Review, 22: 265-270.
- Ciniviz M., 2001. Dizel Motorlarında Dizel Yakıtı + LPG Kullanımının Performans ve Emisyon Etkisi, SÜ. Fen Bilimleri Enstitüsü Yüksek Lisans Tezi, Konya.

Çelik, V., Akay, M.E., 2000. Taşıtlarda LPG uygulamasının Ekonomik Açıdan İncelenmesi, LPG Otogaz Sempozyumu, MMO yayın no: E/2001/257, Aralık, İstanbul.

Cetinkaya S., 1998. Taşıtlarda LPG Kullanımı, Selçuk Üniversitesi Teknik Eğitim Fakültesi Paneli, Konya.

Demirbaş A., 2002. Fuel Properties of Hydrogen, Liquefied Petroleum Gas (LPG), and Compressed Natural Gas (CNG) for Transportation, Energy Sources, 24: 601-610.

Dinler N., 2001. Benzinli Motorlarda Yakıt Olarak LPG Kullanılması ve Katalitik Konvertör Uygulamasının Motor Performansı ve Egzoz Emisyonlarına Olan Etkisinin İncelenmesi, G.Ü. Fen Bilimleri Enstitüsü Yüksek Lisans Tezi, Ankara.

Dinler, N., Yücel, N., 2002. Alternatif Yakıt Olarak LPG Kullanan İki Motorun Performansının Deneysel İncelenmesi, LPG ve CNG Uygulamaları Sempozyumu, MMO Yayın No:E/2003/315, Aralık, Ankara.

Emen M., 2000. Benzin ve Motorin Yakıtlı Motorlarda LPG Kullanımı, M.Ü. Fen Bilimleri Enstitüsü Yüksek lisans Tezi, İstanbul.

İçingür, Y., Salman, M.S., Batmaz, İ., 1998. Taşıtlarda LPG Kullanımı, Selçuk Üniversitesi Teknik Eğitim Fakültesi Paneli, Konya.

Polat, İ., 1999. Benzin Motorunun LPG ile Çalışacak Şekilde Dönüşümü Yapılarak, Farklı Ateşleme Avansı Değerlerinde Performans ve Emisyon Davranışının İncelenmesi, Gazi Üniversitesi Fen Bilimleri Enstitüsü Yüksek Lisans Tezi, Ankara.

Price P., Guo S., Hirschmann M., 2004. Performance of an evaporator for a LPG powered vehicle, Applied Thermal Engineering, 24:1179-1194.

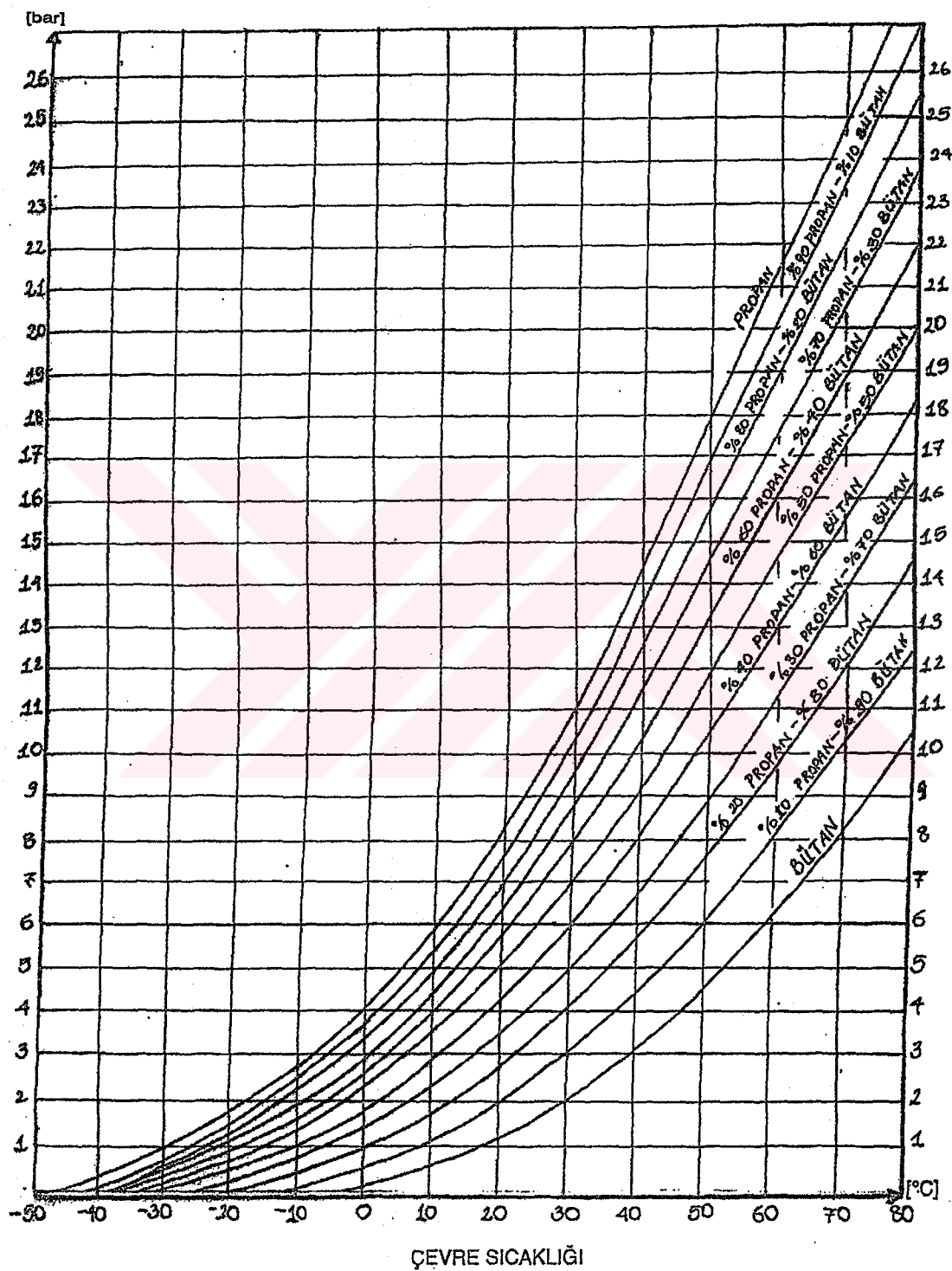
Salman, M. S., Batmaz, İ., İçingür, Y., 1998. LPG Dönüşümü Yapılan Taşıtlarda Performans Emisyonlar, Selçuk Üniversitesi Teknik Eğitim Fakültesi Paneli, Konya.

Schoenmaker, P., 1996. LPG: Alternative to Urban Public Transportation in the Future, 1. Ulusal Ulaşım Sempozyumu, İstanbul.

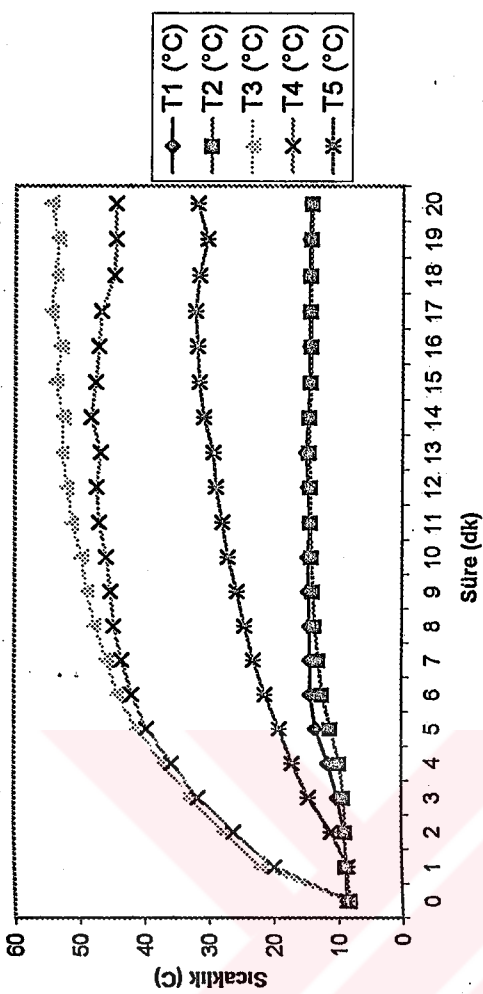
Selim M.Y.E., 2005. Effect of Engine Parameters and Gaseous Fuel Type on the Cyclic Variability of Dual Fuel Engines, Fuel, 84: 961-971.

- Soruşbay C., 2002. Taşıtlardaki LPG Kullanımının Teknolojik ve Ekonomik Açılarından Değerlendirilmesi, LPG ve CNG Uygulamaları Sempozyumu, Ankara
- Van Wylen G. J., Sonntag R. E., 1986. Fundamentals of Classical Thermodynamics, John Wiley&Sons Inc., 3rd Edition, New York, syf: 686.
- Vasiliev L. L., Burak V. S., Kulakov A. G., Mishkinis D. A., Bohan P. V., 1999. Heat Storage Device for Pre-heating Internal Combustion Engines at Start-up, Int. J. Therm. Sci., 38: 98-104.
- Weilenmann M., Soltic P., Sacher C., Forss A. M., Heeb N., 2005. Regulated and Nonregulated Diesel and Gasoline Cold Start Emissions at Different Temperatures, Atmospheric Environment, 39: 2433-3441.
- Yamin J. A., Badran O. O., 2002. Analytical Study to Minimise the Heat Losses From a Propane Powered 4-Stroke Spark Ignition Engine, Renewable Energy, 27: 463-478.
- Yoong A. P. F., Watkins A. P., 2004. Modelling of Liquefied Petroleum Gas Spray Development, Evaporation and Combustion, Int. J. Engine Res., Vol:5- No:6.
- Yücel N., Dinler N., 2000. LPG Dönüşümü Yapılan Bir Motorda Katalitik Konvertörün Motor Performansına ve Egzoz Emisyonlarına Etkisi, LPG Oto Gaz Sempozyumu, İstanbul.

EK-1: Propan ve bütan karışımlarının sıcaklığına bağlı buharlaşma basınç değişim eğrileri [Anonim 2000]



| Süre (Dakika) | T1 (°C) | T2 (°C) | T3 (°C) | T4 (°C) | T5 (°C) |
|---------------|---------|---------|---------|---------|---------|
| 0 | 8,7 | 8,2 | 8,5 | 8,5 | 8,7 |
| 1 | 8,7 | 8,8 | 21,8 | 19,8 | 8,5 |
| 2 | 9 | 8,8 | 27,5 | 26 | 11 |
| 3 | 10 | 9,1 | 32,8 | 31,5 | 14,5 |
| 4 | 11,5 | 9,7 | 37 | 35,6 | 17 |
| 5 | 13,4 | 11,1 | 41 | 39,5 | 19 |
| 6 | 14,2 | 12,4 | 44 | 41,8 | 21,2 |
| 7 | 14,3 | 13 | 45,8 | 43,4 | 23 |
| 8 | 14,4 | 13,6 | 47,6 | 44,7 | 24,4 |
| 9 | 14,6 | 13,9 | 48,9 | 45,2 | 25,6 |
| 10 | 14,7 | 14,1 | 49,8 | 45,9 | 27 |
| 11 | 14,5 | 14,3 | 51,2 | 47 | 27,9 |
| 12 | 14,7 | 14,3 | 52 | 47,4 | 28,9 |
| 13 | 15 | 14,5 | 52,8 | 46,8 | 29,3 |
| 14 | 14,7 | 14,5 | 52,7 | 48,3 | 30,8 |
| 15 | 14,5 | 14,3 | 53,8 | 47,6 | 31,5 |
| 16 | 14,5 | 14,2 | 53 | 47,1 | 31,8 |
| 17 | 14,5 | 14,3 | 54,5 | 46,7 | 32,1 |
| 18 | 14,5 | 14,3 | 53,9 | 44,7 | 31,5 |
| 19 | 14,5 | 14,2 | 53,5 | 44,5 | 30,3 |
| 20 | 14,3 | 14,1 | 54,5 | 44,5 | 31,8 |

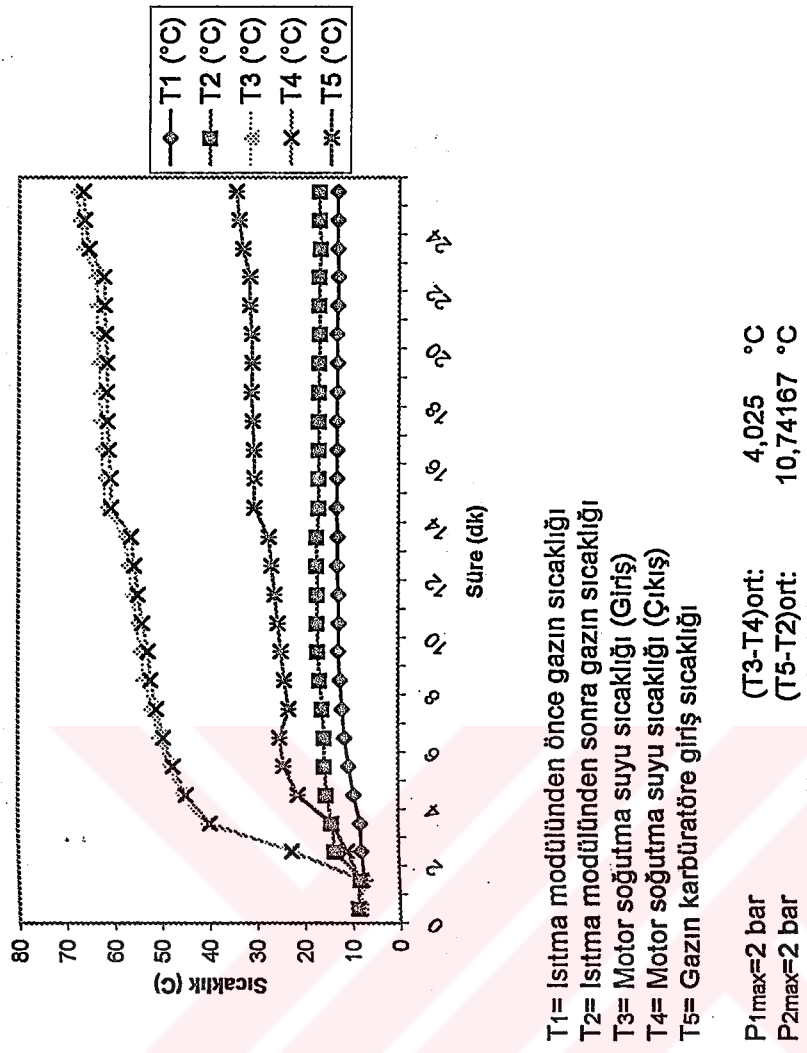


T₁= Isıtma modülünden önce gazın sıcaklığı
T₂= Isıtma modülünden sonra gazın sıcaklığı
T₃= Motor soğutma suyu sıcaklığı (Giriş)
T₄= Motor soğutma suyu sıcaklığı (Çıkış)
T₅= Gazın karbüratöre giriş sıcaklığı

P_{1max}=2 bar
P_{2max}=2 bar
Motor Devri = ~1000 dəvər/dək.

EK-2. 8,5 °C çevre sıcaklığında ısıtıcı modül kapalı iken yapılan deney sonuçları

| Süre (Dakika) | T1 (°C) | T2 (°C) | T3 (°C) | T4 (°C) | T5 (°C) |
|---------------|---------|---------|---------|---------|---------|
| 0 | 8,5 | 8,4 | 8,3 | 8,7 | 8,8 |
| 1 | 7,4 | 8,1 | 7,5 | 8 | 8,3 |
| 2 | 7,9 | 13,5 | 22,5 | 22,5 | 10,9 |
| 3 | 8,1 | 14 | 40,5 | 39,5 | 14 |
| 4 | 9,4 | 15,1 | 45,5 | 44,5 | 21,1 |
| 5 | 10,5 | 15,5 | 48,3 | 47,3 | 24,1 |
| 6 | 11,3 | 15,5 | 50,2 | 49,4 | 25 |
| 7 | 11,8 | 16 | 51,8 | 50,8 | 23,1 |
| 8 | 12,2 | 16,5 | 53,4 | 52 | 24 |
| 9 | 12,7 | 16,9 | 54,1 | 52,6 | 24,6 |
| 10 | 12,5 | 17 | 55,2 | 53,8 | 25,4 |
| 11 | 12,7 | 17,1 | 56 | 54,8 | 26 |
| 12 | 12,9 | 17,2 | 57 | 55,6 | 26,7 |
| 13 | 12,8 | 17,2 | 57,7 | 56,3 | 27,2 |
| 14 | 13,1 | 16,8 | 61,8 | 60,5 | 30,2 |
| 15 | 13 | 16,8 | 62,2 | 60,7 | 30,2 |
| 16 | 13 | 16,7 | 62,6 | 61,1 | 30,4 |
| 17 | 13,1 | 16,7 | 62,7 | 61,3 | 30,7 |
| 18 | 13 | 16,8 | 62,9 | 61,5 | 30,9 |
| 19 | 12,9 | 16,7 | 63,2 | 61,5 | 30,8 |
| 20 | 13,1 | 16,6 | 63,4 | 61,7 | 31 |
| 21 | 12,9 | 16,8 | 63,7 | 62 | 31,3 |
| 22 | 12,8 | 16,7 | 63,9 | 62,2 | 31,4 |
| 23 | 13 | 16,5 | 66,4 | 65,3 | 32,8 |
| 24 | 13 | 16,8 | 67,2 | 66,2 | 33,7 |
| 25 | 13 | 16,7 | 68 | 66,5 | 34,2 |

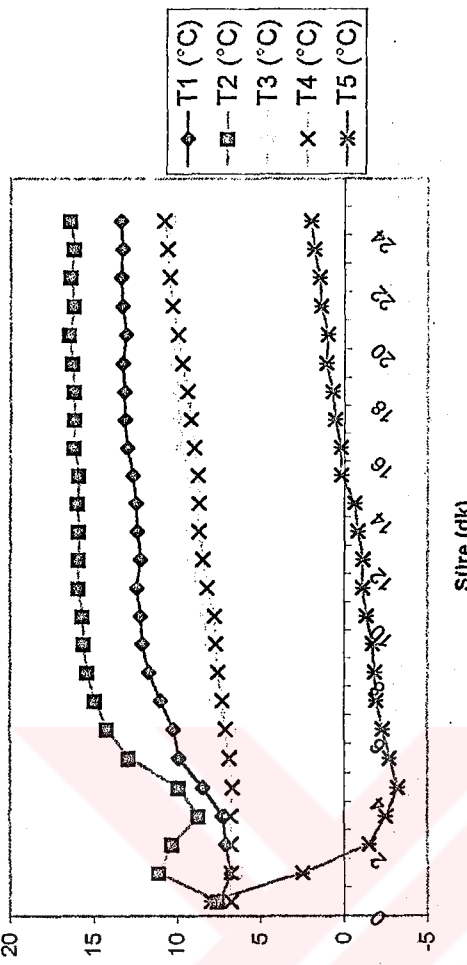


T_1 = Isıtma modülüünden önce gazın sıcaklığı
 T_2 = Isıtma modülüünden sonra gazın sıcaklığı
 T_3 = Motor soğutma suyu sıcaklığı (Giriş)
 T_4 = Motor soğutma suyu sıcaklığı (Çıkış)
 T_5 = Gazın karbüratöre giriş sıcaklığı

$P_{1\max} = 2 \text{ bar}$ $(T_3 - T_4)_{\text{ort}} = 4,025 \text{ }^{\circ}\text{C}$
 $P_{2\max} = 2 \text{ bar}$ $(T_5 - T_2)_{\text{ort}} = 10,74167 \text{ }^{\circ}\text{C}$
 Motor Devri (Yaklaşık) = 850 devir/dak.
 Not: Sıcaklık Kontrol Cihazı 20 °Cye ayarlıdır.

EKİ-3. 6,5 °C çevre sıcaklığında ısıtıcı modül devrede İken yapılan deney sonuçları

| Süre (Dakika) | T1 (°C) | T2 (°C) | T3 (°C) | T4 (°C) | T5 (°C) |
|---------------|---------|---------|---------|---------|---------|
| 0 | 7,5 | 7,6 | 6,8 | 6,8 | 8 |
| 1 | 6,8 | 11,1 | 6,5 | 6,8 | 2,5 |
| 2 | 7,1 | 10,3 | 6,5 | 6,8 | -1,5 |
| 3 | 7,3 | 8,7 | 6,8 | 6,8 | -2,5 |
| 4 | 8,5 | 9,9 | 6,7 | 6,7 | -3,2 |
| 5 | 9,9 | 12,9 | 6,9 | 6,9 | -2,7 |
| 6 | 10,2 | 14,2 | 6,9 | 7,1 | -2,3 |
| 7 | 11 | 14,9 | 7,7 | 7,3 | -1,9 |
| 8 | 11,7 | 15,4 | 7,9 | 7,6 | -1,8 |
| 9 | 12,1 | 15,6 | 8,1 | 7,7 | -1,7 |
| 10 | 12,2 | 15,7 | 8,4 | 7,8 | -1,3 |
| 11 | 12,4 | 15,9 | 8,8 | 8,2 | -1,1 |
| 12 | 12,2 | 15,9 | 9 | 8,5 | -1,1 |
| 13 | 12,4 | 15,9 | 9,1 | 8,7 | -0,8 |
| 14 | 12,5 | 16 | 9,2 | 8,7 | -0,6 |
| 15 | 12,7 | 15,9 | 9,2 | 8,8 | 0,2 |
| 16 | 13 | 16,2 | 9,7 | 9 | 0,2 |
| 17 | 13,2 | 16,2 | 9,9 | 9,2 | 0,6 |
| 18 | 13,2 | 16,2 | 9,9 | 9,4 | 0,7 |
| 19 | 13,3 | 16,3 | 10,1 | 9,7 | 1,1 |
| 20 | 13,1 | 16,5 | 10,2 | 10 | 1 |
| 21 | 13,3 | 16,2 | 10,5 | 10,3 | 1,4 |
| 22 | 13,4 | 16,4 | 10,4 | 10,5 | 1,5 |
| 23 | 13,3 | 16,2 | 10,4 | 10,6 | 1,8 |
| 24 | 13,4 | 16,4 | 10,6 | 10,8 | 2 |
| 25 | | | | | |



T₁= Isıtma modülüünden önce gazın sıcaklığı
 T₂= Isıtma modülüünden sonra gazın sıcaklığı
 T₃= Motor soğutma suyu sıcaklığı (Giriş)
 T₄= Motor soğutma suyu sıcaklığı (Çıkış)
 T₅= Gazın karbüratöre giriş sıcaklığı

(T₃-T₄)_{ort:} 0,23913 °C
 (T₅-T₂)_{ort:} -15,8435 °C
 Motor Devri = ~1000 devirdik.

Not: Sıcaklık Kontrol Cihazı 20 °Cye ayarlıdır. T₃ ve T₄ sıcaklıklarından da anlaşılıcagı üzere soğutma suyu regülatör içerisinde dolaşmamaktadır.

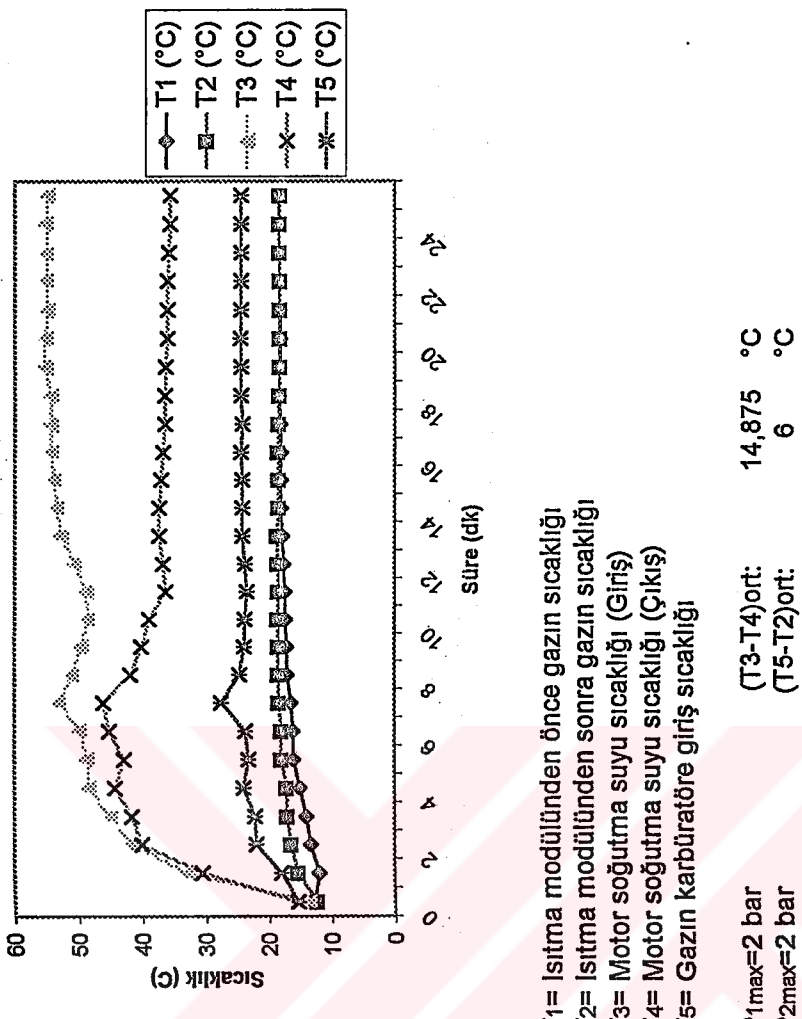
EK-4. 8 °C çevre sıcaklığında ısıtıcı modül devrede iken yapılan deney sonuçları

| Süre (Dakika) | T1 (°C) | T2 (°C) | T3 (°C) | T4 (°C) | T5 (°C) |
|---------------|---------|---------|---------|---------|---------|
| 0 | 12,7 | 12,4 | 13,5 | 15,4 | 15,3 |
| 1 | 12 | 15,3 | 32,9 | 30,5 | 18 |
| 2 | 13,3 | 16,5 | 41,5 | 40 | 22 |
| 3 | 14 | 17,1 | 45 | 41,6 | 22,2 |
| 4 | 15 | 17,2 | 48,5 | 44,3 | 24 |
| 5 | 16 | 18 | 48,7 | 42,8 | 23,2 |
| 6 | 16,1 | 18 | 49,8 | 45,2 | 23,7 |
| 7 | 16,5 | 18,4 | 53,1 | 46,1 | 27,5 |
| 8 | 17,1 | 18,5 | 51,1 | 41,8 | 24,6 |
| 9 | 17,2 | 18,5 | 49,7 | 40,1 | 23,9 |
| 10 | 17,4 | 18,6 | 48,6 | 38,8 | 23,8 |
| 11 | 17,5 | 18,5 | 48,9 | 36,3 | 23,5 |
| 12 | 17,7 | 18,6 | 50,6 | 36,7 | 23,8 |
| 13 | 17,9 | 18,7 | 52,8 | 37,3 | 24,2 |
| 14 | 18,1 | 18,5 | 53,5 | 37,3 | 24,2 |
| 15 | 18,1 | 18,5 | 53,9 | 37 | 24,2 |
| 16 | 18,1 | 18,6 | 54,4 | 36,7 | 24,4 |
| 17 | 18,2 | 18,5 | 54,4 | 36,4 | 24,2 |
| 18 | 18,4 | 18,4 | 54,5 | 36,4 | 24,4 |
| 19 | 18,3 | 18,3 | 55,3 | 36,3 | 24,4 |
| 20 | 18,2 | 18,3 | 55,3 | 36 | 24,5 |
| 21 | 18,3 | 18,3 | 55 | 36 | 24,4 |
| 22 | 18,3 | 18,3 | 55,2 | 36 | 24,4 |
| 23 | 18,4 | 18,4 | 55,1 | 35,8 | 24,4 |
| 24 | 18,4 | 18,4 | 55,2 | 35,6 | 24,4 |
| 25 | 18,5 | 18,3 | 55 | 35,6 | 24,4 |

T1= Isıtma modülünden önce gazın sıcaklığı
 T2= Isıtma modülünden sonra gazın sıcaklığı
 T3= Motor soğutma suyu sıcaklığı (Giriş)
 T4= Motor soğutma suyu sıcaklığı (Çıktı)
 T5= Gazın karbüratöre giriş sıcaklığı

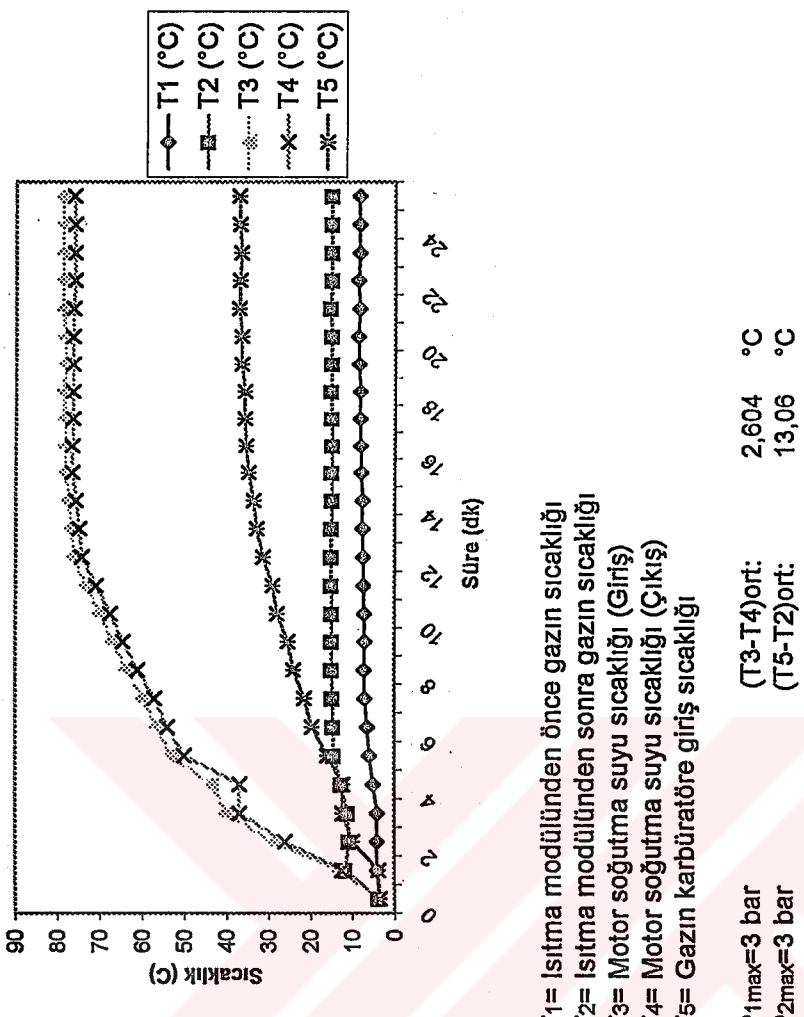
P1max=2 bar
 P2max=2 bar
 Motor Devri = ~1000 devir/dak.

Not: Sıcaklık Kontrol Cihazı 20 °C'ye ayarlıdır.



EK-5. 12 °C çevre sıcaklığında ısıtıcı modülü devrede iken yapılan deney sonuçları

| Süre (Dakika) | T1 (°C) | T2 (°C) | T3 (°C) | T4 (°C) | T5 (°C) |
|---------------|---------|---------|---------|---------|---------|
| 0 | 3,5 | 3,9 | 3,6 | 3,5 | 3,5 |
| 1 | 4,2 | 11,6 | 13 | 12,4 | 3,9 |
| 2 | 4,1 | 10,8 | 29 | 26 | 9,9 |
| 3 | 4,2 | 11 | 40 | 37 | 12,3 |
| 4 | 5 | 12,5 | 43,6 | 37 | 12,3 |
| 5 | 6 | 14,4 | 53 | 50 | 16 |
| 6 | 6,5 | 14,5 | 56,4 | 53,9 | 19,6 |
| 7 | 7 | 14,7 | 60 | 57 | 21,5 |
| 8 | 7,2 | 14,9 | 63,7 | 61 | 24,1 |
| 9 | 7,1 | 14,9 | 67 | 64,5 | 25,4 |
| 10 | 7,2 | 14,9 | 70 | 67,6 | 28 |
| 11 | 7,3 | 15 | 73,5 | 71 | 29,2 |
| 12 | 7,5 | 15,1 | 76,4 | 74,3 | 31,5 |
| 13 | 7,6 | 15 | 77 | 75 | 33 |
| 14 | 7,7 | 14,9 | 77,4 | 75,8 | 33,8 |
| 15 | 7,9 | 15 | 78,4 | 76,6 | 35 |
| 16 | 8,1 | 14,9 | 78,4 | 76,6 | 35,6 |
| 17 | 8,3 | 15,1 | 78,5 | 76,5 | 35,9 |
| 18 | 8,3 | 15,2 | 78,6 | 76,5 | 35,9 |
| 19 | 8,6 | 15,1 | 78,3 | 76,5 | 36,7 |
| 20 | 8,7 | 15,1 | 78,3 | 76,5 | 36,7 |
| 21 | 8,5 | 15,3 | 78,8 | 76,3 | 37,2 |
| 22 | 8,7 | 15,1 | 78,8 | 76,1 | 37,1 |
| 23 | 8,5 | 15,1 | 78,8 | 76,1 | 36,8 |
| 24 | 8,4 | 15 | 78,8 | 76,1 | 37,1 |
| 25 | 8,4 | 15,1 | 78,9 | 76,2 | 37,2 |
| 26 | 8,6 | 15 | 79 | 76 | 37,3 |



T₁= Isıtma modülüünden önce gazın sıcaklığı
T₂= Isıtma modülüünden sonra gazın sıcaklığı

T₃= Motor soğutma suyu sıcaklığı (Giriş)

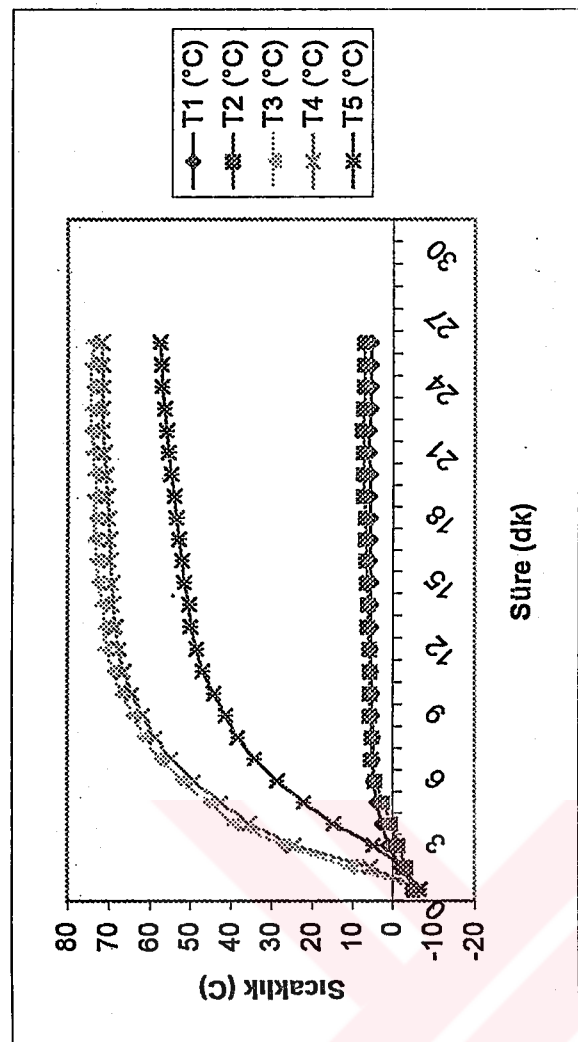
T₄= Motor soğutma suyu sıcaklığı (Çıkış)

T₅= Gazın karbüratöre giriş sıcaklığı

P_{1max}=3 bar $(T_3-T_4)_{ort}$: 2,604 °C
P_{2max}=3 bar $(T_5-T_2)_{ort}$: 13,06 °C
Motor Devri (Yaklaşık) = 850 devin/dak.

Note: Sicaklık Kontrol Cihazı 20 °C'ye ayarıdır.

EK-6. 3 °C çevre sıcaklığında istici modül devrede iken yapılan deney sonuçları



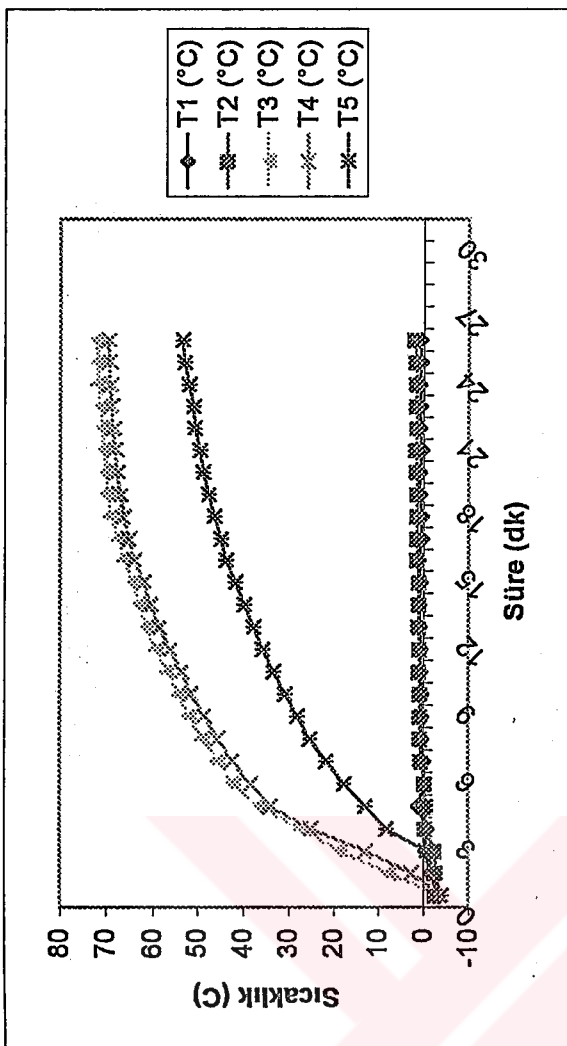
T1= Isıtma modülüünden önce gazın sıcaklığı
T2= Isıtma modülüünden sonra gazın sıcaklığı
T3= Motor soğutma suyu sıcaklığı (Giriş)
T4= Motor soğutma suyu sıcaklığı (Çıkış)
T5= Gazın karbüratöre giriş sıcaklığı

P1max=2 bar (T3-T4)ort: 3,0625 °C
P2max=2 bar (T5-T2)ort: 39,5375 °C
Motor Devri = ~1000 devir/dak.

Not: Sıcaklıklı Kontrol Cihazı kapalıdır. Motor LPG yakığı ile çalışmıyor

| Süre (Dakika) | T1 (°C) | T2 (°C) | T3 (°C) | T4 (°C) | T5 (°C) | Ortam Soğutucu |
|---------------|---------|---------|---------|---------|---------|----------------|
| 0 | -5,9 | -5 | -6,5 | -6,7 | -6,5 | -5,3 |
| 1 | -1,9 | -3,3 | 10,4 | 5,7 | -2,3 | -1,2 |
| 2 | -1,2 | -1,3 | 27,2 | 24,6 | 4,9 | -1,5 |
| 3 | 2,7 | 0,5 | 39,4 | 35,4 | 14,7 | 3,5 |
| 4 | 4,1 | 2,5 | 45,4 | 42,5 | 22 | 6,4 |
| 5 | 4,8 | 4,3 | 52,2 | 49,2 | 28,6 | 8,1 |
| 6 | 5 | 5,3 | 57,9 | 54,7 | 34,2 | 9,9 |
| 7 | 4,8 | 5,2 | 61,4 | 58,8 | 38,4 | 10,9 |
| 8 | 5,2 | 5,6 | 64,3 | 61,9 | 41,3 | 12,6 |
| 9 | 5,2 | 5,6 | 67 | 64,5 | 44,3 | 13,7 |
| 10 | 5,4 | 5,7 | 69,2 | 66,6 | 47,1 | 15,7 |
| 11 | 5,6 | 5,8 | 70,7 | 67,8 | 48,7 | 17,7 |
| 12 | 5,5 | 6,3 | 71,3 | 68,5 | 50 | 19,1 |
| 13 | 5,4 | 6,1 | 71,6 | 69 | 50,4 | 19,4 |
| 14 | 5,4 | 6,4 | 72,7 | 69,4 | 51,7 | 21,8 |
| 15 | 5,8 | 6,6 | 73,1 | 69,7 | 52,2 | 24,1 |
| 16 | 5,6 | 6,8 | 73,4 | 69,8 | 52,9 | 24,6 |
| 17 | 5,7 | 6,8 | 73,4 | 70,1 | 53,5 | 26,6 |
| 18 | 5,8 | 7,2 | 73,5 | 70,4 | 54 | 27,2 |
| 19 | 5,7 | 7,2 | 73,3 | 70,8 | 54,9 | 28 |
| 20 | 6 | 7,2 | 74 | 71,3 | 55,4 | 30,3 |
| 21 | 5,9 | 7,5 | 74,2 | 71,5 | 56 | 31 |
| 22 | 5,4 | 7,2 | 74,2 | 71,5 | 56,4 | 32,1 |
| 23 | 5,5 | 7 | 74,2 | 71,6 | 57 | 33,1 |
| 24 | 5,4 | 7 | 74,2 | 71,7 | 57,3 | 33,5 |
| 25 | 5,4 | 7 | 74 | 71,7 | 57,5 | 33,8 |
| 26 | | | | | | -10,2 |
| 27 | | | | | | |
| 28 | | | | | | |
| 29 | | | | | | |
| 30 | | | | | | |

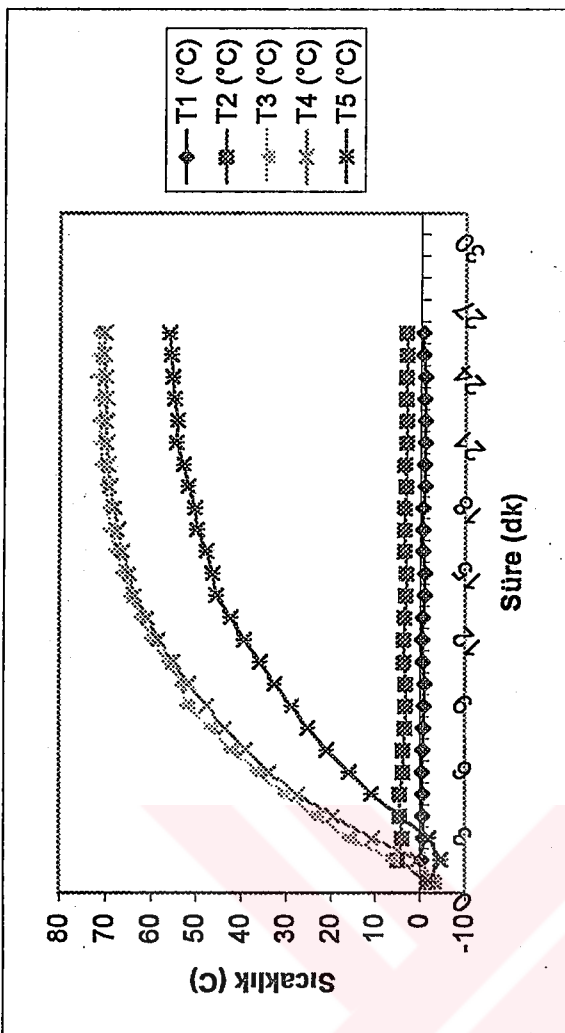
EK-17. -5,3 °C çevre sıcaklığında ısıtıcı modül devrede değilken yapılan deney sonuçları



T_1 = Isıtma modülünden önce gazın sıcaklığı
 T_2 = Isıtma modülünden sonra gazın sıcaklığı
 T_3 = Motor soğutma suyu sıcaklığı (Giriş)
 T_4 = Motor soğutma suyu sıcaklığı (Çıkış)
 T_5 = Gazın karbüratöre giriş sıcaklığı

P_{1max}=0,5 bar (T₃-T₄)_{ort.}: 2,95 °C
 P_{2max}=0,5 bar (T₅-T₂)_{ort.}: 35,5625 °C
 Motor Devri = ~1000 devir/dak.
 Not: Sıcaklık Kontrol Cihazı kapalıdır. Motor LPG yakutu ile çalışmıyor

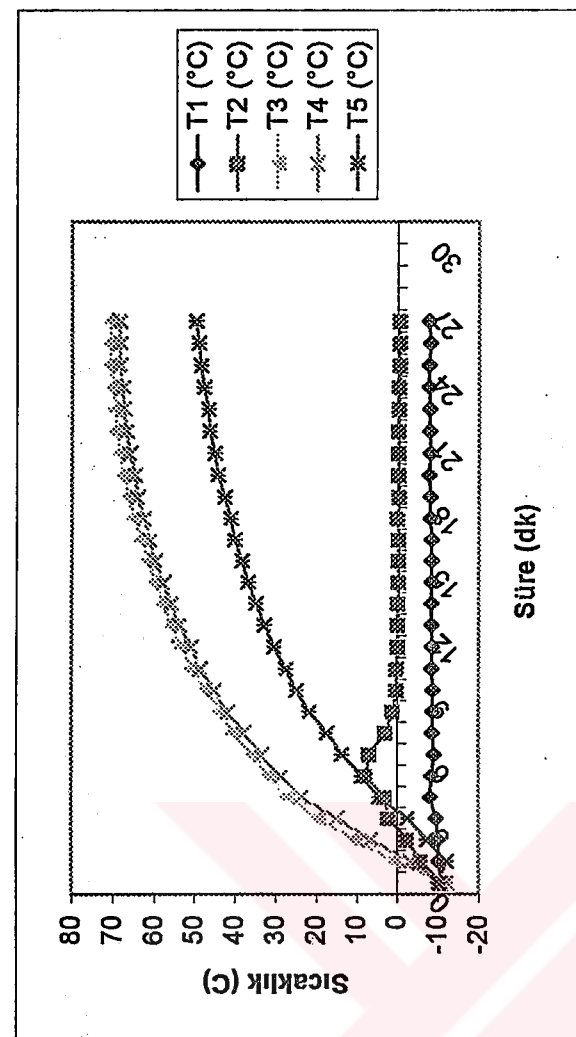
EK-18. -3,5 °C çevre sıcaklığında ısıtıcı modül devrede değil iken yapılan deney sonuçları



| Süre (Dakika) | T1 ($^{\circ}$ C) | T2 ($^{\circ}$ C) | T3 ($^{\circ}$ C) | T4 ($^{\circ}$ C) | T5 ($^{\circ}$ C) | Oritam | Soğutucu |
|---------------|--------------------|--------------------|--------------------|--------------------|--------------------|--------|----------|
| 0 | -2 | -1,7 | -3,2 | -3 | -1,8 | -2,3 | -8,6 |
| 1 | -0,4 | 4,9 | 6 | 0,5 | -4,5 | -1,3 | -8,4 |
| 2 | -0,7 | 3,9 | 15,9 | 10,8 | -1,9 | -0,5 | -9,6 |
| 3 | -0,5 | 4,5 | 23,2 | 19,7 | 4,6 | 0,2 | -10,9 |
| 4 | -0,5 | 4,5 | 30,4 | 27,5 | 10,9 | 0,9 | -11,8 |
| 5 | -0,4 | 3,7 | 36,5 | 33,9 | 15,9 | 1,4 | -12,3 |
| 6 | -0,6 | 3,7 | 42,2 | 39,1 | 20,9 | 2,1 | -12,8 |
| 7 | -0,7 | 3,3 | 46,4 | 43,8 | 25,2 | 2,9 | -12,8 |
| 8 | -0,8 | 3,2 | 51,9 | 47,6 | 28,9 | 3,9 | -13 |
| 9 | -0,9 | 3,2 | 53,4 | 51,6 | 32,5 | 5,7 | -13,1 |
| 10 | -0,6 | 3,6 | 56,3 | 55,1 | 35,9 | 7,8 | -13,4 |
| 11 | -0,4 | 3,6 | 59,9 | 58,5 | 39,5 | 8,4 | -13,9 |
| 12 | -0,5 | 3,5 | 62,5 | 60,9 | 42,4 | 9,9 | -13,5 |
| 13 | -0,9 | 3,2 | 64,8 | 63,9 | 45,6 | 10,9 | -14,1 |
| 14 | -0,9 | 3,1 | 66,4 | 64,9 | 46,4 | 11,8 | -14 |
| 15 | -0,5 | 3,4 | 67,9 | 66,6 | 47,8 | 13 | -13,5 |
| 16 | -0,5 | 3,4 | 68,9 | 67,6 | 49,9 | 13,7 | -13,1 |
| 17 | -0,6 | 3,4 | 69,5 | 68,2 | 50,4 | 15 | -13,1 |
| 18 | -0,9 | 3,2 | 69,9 | 69,2 | 51,7 | 16,7 | -13,2 |
| 19 | -0,8 | 3,5 | 70,8 | 69,5 | 52,9 | 18,9 | -13,1 |
| 20 | -0,9 | 3,1 | 71,3 | 70 | 54,5 | 19,9 | -13,5 |
| 21 | -1 | 3 | 71,3 | 69,9 | 54,2 | 22,5 | -13,5 |
| 22 | -0,8 | 3,2 | 71,5 | 70 | 54,9 | 23,4 | -13,1 |
| 23 | -0,9 | 3,2 | 71,9 | 70,2 | 55,4 | 24,7 | -13,2 |
| 24 | -0,6 | 3,1 | 71,1 | 70,5 | 55,7 | 25,2 | -13,8 |
| 25 | -0,6 | 3,2 | 71,9 | 70,2 | 56,1 | 26,1 | -13,5 |
| 26 | | | | | | | |
| 27 | | | | | | | |
| 28 | | | | | | | |
| 29 | | | | | | | |
| 30 | | | | | | | |

$P_{1\max}=1,2 \text{ bar}$ $(T_3-T_4)\text{ort}: 2,170833 \text{ } ^{\circ}\text{C}$
 $P_{2\max}=1,2 \text{ bar}$ $(T_5-T_2)\text{ort}: 34,925 \text{ } ^{\circ}\text{C}$
 Motor Devri = $\sim 1000 \text{ devir/dak.}$
 Not: Sıcaklık Kontrol Cihazı $20 \text{ } ^{\circ}\text{C}'ye$ ayarlıdır. Isıtıcı modülü 30 sn çalıştırınca sonra
 25 sn 'de motor ilk harekete geçti.

EK-20. $-2,3 \text{ } ^{\circ}\text{C}$ çevre sıcaklığında ısıtıcı modül devrede iken yapılan deney sonuçları



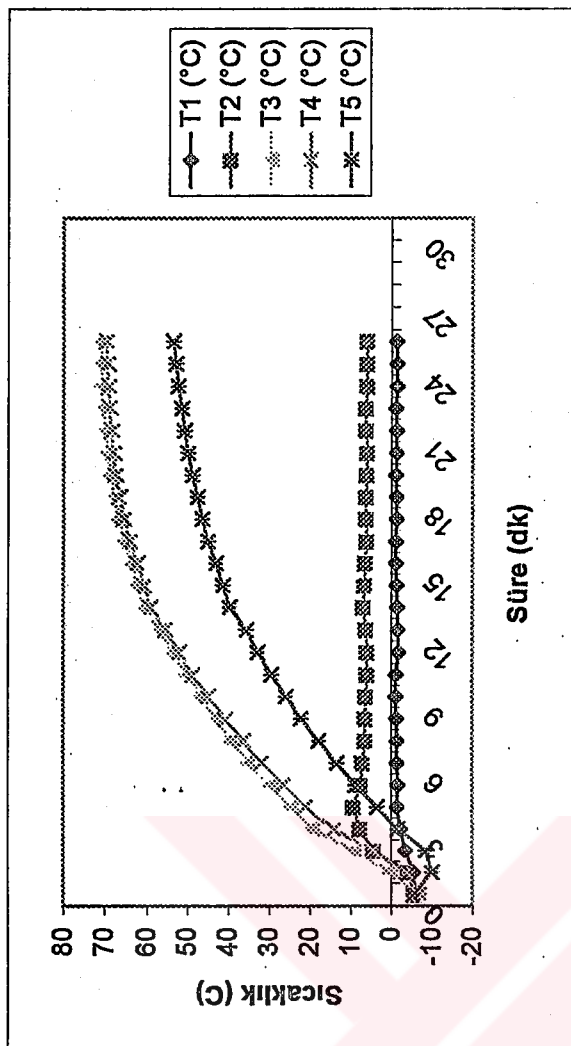
| Süre (Dakika) | T1 (°C) | T2 (°C) | T3 (°C) | T4 (°C) | T5 (°C) | Ortam Soğutucu | |
|---------------|---------|---------|---------|---------|---------|----------------|-------|
| 0 | -10,8 | -10,8 | -12,1 | -12 | -10 | -12,1 | -13,3 |
| 1 | -10,2 | -5,6 | 0,7 | -3,3 | -12,1 | -11,1 | -13 |
| 2 | -10 | -2,3 | 10,6 | 6,7 | -7,2 | -11,3 | -13,5 |
| 3 | -9,5 | 2,2 | 19,6 | 14,9 | -2,3 | -10,2 | -14 |
| 4 | -8,1 | 3,1 | 27 | 23,9 | 4,5 | -9,9 | -14,2 |
| 5 | -8,4 | 7,9 | 31,8 | 28,9 | 8,9 | -8,6 | -14,1 |
| 6 | -9 | 6,9 | 35,5 | 33,7 | 13,7 | -8,3 | -14,2 |
| 7 | -8,6 | 3 | 40,5 | 37,8 | 17,4 | -7,1 | -14 |
| 8 | -8,7 | 1,1 | 43,6 | 41,9 | 21,9 | -6,1 | -13,6 |
| 9 | -8,7 | 0,3 | 47,2 | 45,3 | 25,1 | -5,1 | -13,9 |
| 10 | -8,4 | 0,3 | 50,5 | 48,8 | 27,6 | -4 | -13,4 |
| 11 | -8,5 | -0,1 | 53,3 | 50,9 | 30,4 | -3,1 | -13,4 |
| 12 | -8,3 | -0,1 | 55,9 | 53,9 | 32,9 | -2,3 | -13,2 |
| 13 | -8,3 | -0,1 | 57,8 | 55,9 | 34,9 | -1,6 | -13,2 |
| 14 | -8,4 | -0,3 | 60 | 57,9 | 36,9 | 0,4 | -13 |
| 15 | -8,3 | -0,3 | 61,5 | 59,9 | 38,5 | 0,8 | -12,7 |
| 16 | -8,3 | -0,3 | 63,4 | 61,4 | 40,2 | 1,4 | -12,7 |
| 17 | -8,1 | 0 | 65,1 | 62,7 | 41,2 | 2,1 | -11,8 |
| 18 | -8 | -0,4 | 66,5 | 64,3 | 42,7 | 2,7 | -12 |
| 19 | -7,8 | -0,3 | 67,6 | 64,9 | 44,3 | 3,5 | -12 |
| 20 | -8 | -0,2 | 68,3 | 66,1 | 45,2 | 4,1 | -11,6 |
| 21 | -7,9 | -0,3 | 69,3 | 67 | 46,4 | 5,1 | -11 |
| 22 | -7,9 | -0,4 | 69,5 | 67,6 | 46,7 | 5,5 | -11,4 |
| 23 | -7,8 | -0,4 | 69,9 | 67,9 | 47,8 | 6 | -11,3 |
| 24 | -7,8 | -0,5 | 70,7 | 68,3 | 48,6 | 7,1 | -11,7 |
| 25 | -8 | -0,5 | 70,4 | 68,3 | 49,1 | 8,5 | -12,2 |
| 26 | -7,7 | -0,5 | 70,6 | 68,5 | 49,8 | 9,1 | -12,4 |
| 27 | | | | | | | |
| 28 | | | | | | | |
| 29 | | | | | | | |
| 30 | | | | | | | |

T1= Isıtma modülünden önce gazın sıcaklığı
T2= Isıtma modülünden sonra gazın sıcaklığı
T3= Motor soğutma suyu sıcaklığı (Giriş)
T4= Motor soğutma suyu sıcaklığı (Çıkış)
T5= Gazın karbüratöre giriş sıcaklığı

P_{1max}=0,5 bar (T3-T4)ort: 2,503 °C
P_{2max}=0,5 bar (T5-T2)ort: 30,436 °C
Motor Devri = ~1000 devir/dak.

Not: Sıcaklık Kontrol Cihazi 30 °C'ye ayarlıdır. Isıtıcı modülü 30 sn çalıştırıldıktan sonra 12 sn.'de motor ilk harekete geçti.

EK-22. -12 °C şevre sıcaklığında sıcaklık kontrol cihazı 30 °C'ye ayarlı iken yapılan deney sonuçları

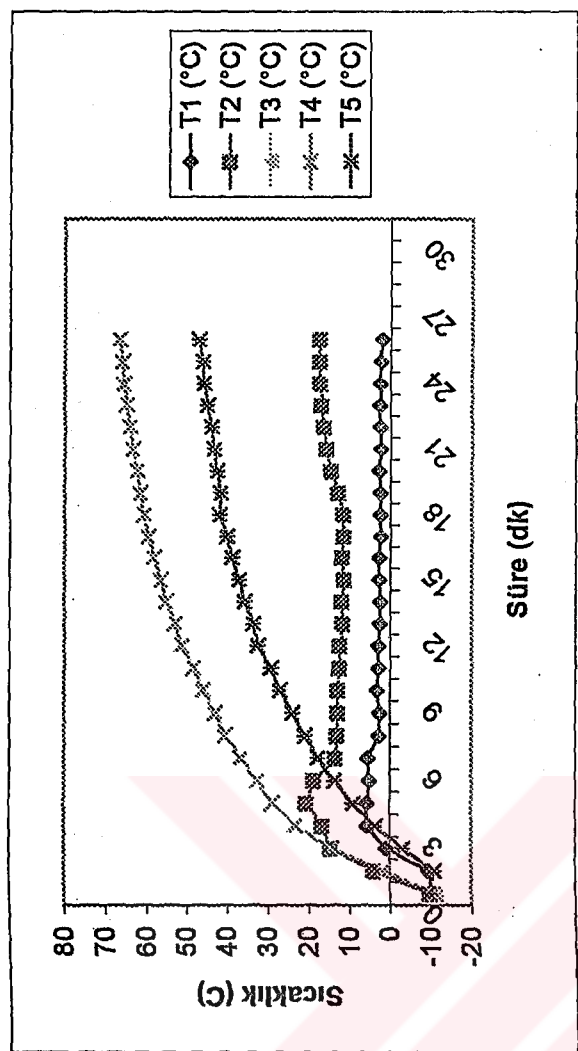


T1= Isıtma modülüünden önce gazın sıcaklığı
 T2= Isıtma modülüünden sonra gazın sıcaklığı
 T3= Motor soğutma suyu sıcaklığı (Giriş)
 T4= Motor soğutma suyu sıcaklığı (Çıkış)
 T5= Gazın karbüratöre giriş sıcaklığı

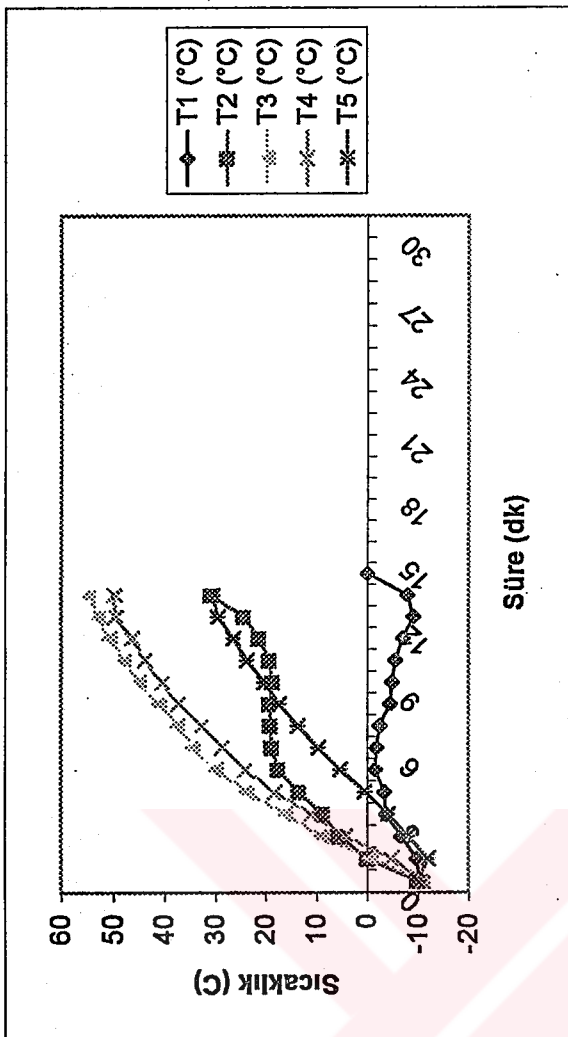
P1max=1 bar (T3-T4)ort: 2,179167 °C
 P2max=1 bar (T5-T2)ort: 26,825 °C
 Motor Devri = ~1000 devir/dak.
 Not: Sıcaklık Kontrol Cihazı 40 °C'ye ayarlıdır. Isıtıcı modülü 30 sn çalıştırıldıktan sonra
 10 sn.'de motor ilk harekete geçti.

EK-23. -5,8 °C çevre sıcaklığında sıcaklık kontrol cihazı 40 °C'ye ayarlı iken yapılan deney sonuçları

| Süre (Dakika) | T1 (°C) | T2 (°C) | T3 (°C) | T4 (°C) | T5 (°C) | Ortam | Soğutucu |
|---------------|---------|---------|---------|---------|---------|-------|--|
| 0 | -10,6 | -9,8 | -11,1 | -11 | -9,5 | -8,8 | -1,7 |
| 1 | -9,4 | 4 | 1,6 | -10,7 | -8,8 | -3,2 | |
| 2 | 1 | 14,6 | 14,4 | -3 | -8,8 | -6,3 | |
| 3 | 5,6 | 16,6 | 23,4 | 3,5 | -7,7 | -8,2 | |
| 4 | 5,7 | 20,5 | 28,9 | 9,1 | -7,1 | -8,9 | |
| 5 | 5,1 | 18,7 | 32,9 | 13,7 | -6,6 | -9,2 | |
| 6 | 5,5 | 13,4 | 36,7 | 17,7 | -6,4 | -9,6 | |
| 7 | 2,7 | 12,9 | 40,5 | 20,9 | -5,7 | -9,3 | |
| 8 | 2,6 | 12,8 | 43,1 | 23,9 | -5,1 | -9,7 | |
| 9 | 3,2 | 12,8 | 45,9 | 27 | -4,1 | -10,5 | |
| 10 | 2,9 | 12,5 | 48,5 | 29,4 | -3,5 | -9,6 | |
| 11 | 2,9 | 12,3 | 51,5 | 32,5 | -2,7 | -10,9 | |
| 12 | 2,6 | 11,7 | 53,1 | 33,7 | -2,4 | -10,2 | |
| 13 | 2,5 | 11,9 | 55,1 | 35,7 | -2 | -10,8 | |
| 14 | 2,8 | 11,4 | 56,6 | 37,2 | -1,2 | -10,7 | |
| 15 | 2,7 | 11,8 | 58,2 | 38,9 | -0,6 | -11 | |
| 16 | 2,5 | 11,5 | 59,8 | 40,2 | 0 | -11 | |
| 17 | 2,4 | 11,5 | 60,9 | 42 | 0,7 | -10,5 | |
| 18 | 2,5 | 12,8 | 61,7 | 41,8 | 1,3 | -10,4 | |
| 19 | 2,8 | 14,5 | 62,5 | 42,6 | 1,7 | -10,2 | |
| 20 | 2,5 | 15,9 | 63,6 | 43,5 | 2,8 | -9,6 | |
| 21 | 2,6 | 16,5 | 64,4 | 44,2 | 2,6 | -9,5 | |
| 22 | 2,6 | 16,9 | 65,1 | 44,9 | 4,2 | -9 | |
| 23 | 2,4 | 17,2 | 65,6 | 46 | 4,4 | -9 | |
| 24 | 2,4 | 17,4 | 66,2 | 46,3 | 5,2 | -9,1 | |
| 25 | 2,2 | 17,5 | 66,8 | 47,2 | 6 | -8,8 | |
| 26 | | | | | | | P _{1max} =1 bar (T ₃ -T ₄) _{ort} : |
| 27 | | | | | | | P _{2max} =1 bar (T ₅ -T ₂) _{ort} : |
| 28 | | | | | | | Motor Devri = ~1000 devir/dak. |
| 29 | | | | | | | Not: Sıcaklık Kontrol Cihazı 50 °C'ye ayarlıdır. Isıtıcı modülü 30 sn çalıştırın sonra |
| 30 | | | | | | | 5 sn. 'de motor ilk harekete geçti. |



EK-24. -8,8 °C çevre sıcaklığında sıcaklık kontrol cihazı 50 °C'ye ayarlı iken yapılan deney sonuçları

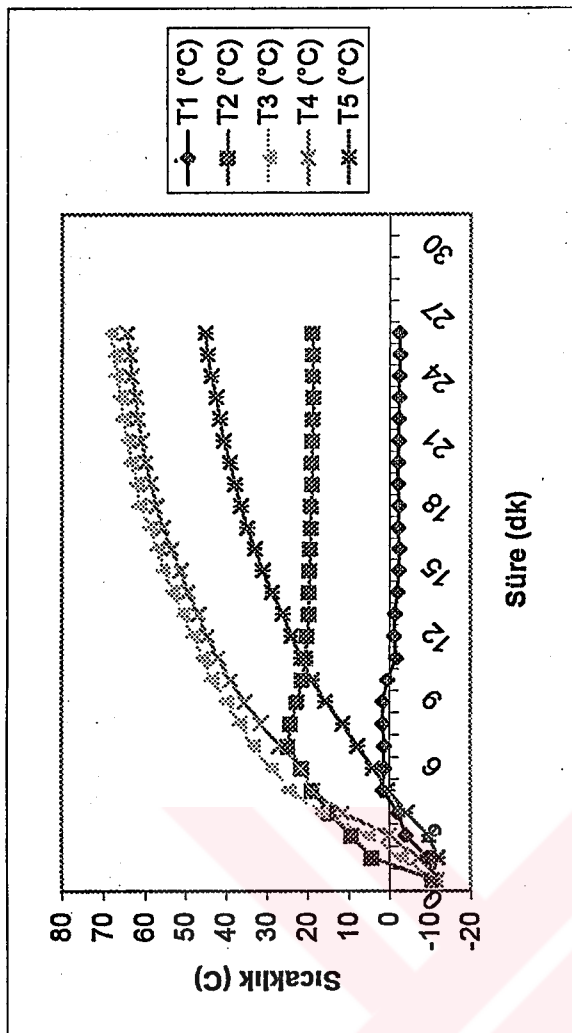


T1= Isıtma modülüünden önce gazın sıcaklığı
 T2= Isıtma modülüünden sonra gazın sıcaklığı
 T3= Motor soğutma suyu sıcaklığı (Giriş)
 T4= Motor soğutma suyu sıcaklığı (Çıkış)
 T5= Gazın karbüratöre giriş sıcaklığı

P_{1max}=1 bar
 P_{2max}=1 bar
 Motor Devri = ~1000 devir/dak.
 Not: Sıcaklık Kontrol Cihazı 50 °C'ye ayarlıdır. Isıtıcı modülü 30 sn çalıştırıldıktan sonra
 5 sn.'de motor ilk harekete geçti.

| LPG BITTİ MOTOR STOP ETTİ | | | | | | | | | |
|---------------------------|---------|---------|---------|---------|---------|-------|----------|--|--|
| süre (Dakika) | T1 (°C) | T2 (°C) | T3 (°C) | T4 (°C) | T5 (°C) | Ortam | Sogutucu | | |
| 0 | -10,3 | -9,8 | -10,8 | -11 | -9,9 | -10,1 | -10 | | |
| 1 | -9,7 | 0 | -0,6 | -4,8 | -12 | -10 | -11,3 | | |
| 2 | -6,6 | 5,7 | 9,1 | 4,5 | -7,9 | -9,5 | -11 | | |
| 3 | -3,7 | 8,8 | 16,2 | 10,9 | -4,1 | -8,8 | -11,4 | | |
| 4 | -3,3 | 13,5 | 23,7 | 18,4 | 0,5 | -8,4 | -12 | | |
| 5 | -1,5 | 17,6 | 29,8 | 24,2 | 5,3 | -7,7 | -11,6 | | |
| 6 | -1,8 | 18,9 | 34,4 | 28,7 | 9,7 | -7 | -11,7 | | |
| 7 | -2,4 | 19,1 | 37,6 | 32,9 | 13,7 | -6 | -11,7 | | |
| 8 | -4,5 | 19,2 | 41,2 | 37,3 | 17,5 | -5,1 | -11,5 | | |
| 9 | -4,8 | 18,7 | 45 | 40,6 | 20,4 | -4,1 | -11,8 | | |
| 10 | -5,5 | 19,4 | 48 | 43,9 | 23,8 | -3,5 | -11,7 | | |
| 11 | -7 | 21,4 | 50,8 | 46,5 | 26,5 | -2,6 | -11,4 | | |
| 12 | -9,1 | 24,4 | 53 | 49,7 | 29,5 | -1,1 | -11,2 | | |
| 13 | -7,9 | 30,9 | 54,7 | 49,9 | 30,6 | 0,2 | -10,9 | | |
| 14 | | | | | | | | | |
| 15 | | | | | | | | | |
| 16 | | | | | | | | | |
| 17 | | | | | | | | | |
| 18 | | | | | | | | | |
| 19 | | | | | | | | | |
| 20 | | | | | | | | | |
| 21 | | | | | | | | | |
| 22 | | | | | | | | | |
| 23 | | | | | | | | | |
| 24 | | | | | | | | | |
| 25 | | | | | | | | | |
| 26 | | | | | | | | | |
| 27 | | | | | | | | | |
| 28 | | | | | | | | | |
| 29 | | | | | | | | | |
| 30 | | | | | | | | | |

EK-25. -10,1 °C çevre sıcaklığında sıcaklık kontrol cihazı 50 °C'ye ayarlı iken yapılan deney sonuçları



T₁= Isıtma modülüünden önce gazın sıcaklığı
T₂= Isıtma modülüünden sonra gazın sıcaklığı
T₃= Motor soğutma suyu sıcaklığı (Giriş)
T₄= Motor soğutma suyu sıcaklığı (Çıkış)
T₅= Gazın karbüratöre giriş sıcaklığı

P_{1max}=0,5 bar (T₃-T₄)ort: 4,4125 °C
P_{2max}=1 bar (T₅-T₂)ort: 5,654167 °C
Motor Devri = ~1000 devir/dak.
Not: Sıcaklık Kontrol Cihazı 50 °C'ye ayarlıdır. İstici modülü 30 sn çalıştırıldan sonra
8 sn. 'de motor ilk harekete geçti.

EK-26. -11,1 °C çevre sıcaklığında sıcaklık kontrol cihazı 50 °C'ye ayarlı iken yapılan deney sonuçları